

بِسْمِ اللّٰهِ الرَّحْمٰنِ الرَّحِيْمِ



دانشگاه صنعتی شهرود

دانشکده مهندسی مکانیک

گروه سیالات

بررسی بهبود وضعیت انرژی در کارخانه سیمان شاهرود با نگرش اگزرسی و پینج

دانشجو: امیر مسعود اخیانی

استاد راهنما:

دکتر سید مجید هاشمیان

پایان نامه جهت اخذ درجه کارشناسی ارشد

ماه و سال انتشار: شهریور ۱۳۹۲



مدیریت تحصیلات تکمیلی
فرم شماره (۶)

شماره: ۱۹۲/۳۹۲/۳۵

تاریخ: ۹۲/۸/۳

ویرایش:

با اسمه تعالیٰ

مدیریت تحصیلات تکمیلی

فرم شماره (۶)

فرم صورت جلسه دفاع از پایان نامه تحصیلی دوره کارشناسی ارشد

با تأییدات خداوند متعال و با استعانت از حضرت ولی عصر (عج) نتیجه ارزیابی جلسه دفاع از پایان نامه کارشناسی ارشد خانم / آقای امیر مسعود اخیانی رئیس مکانیک گرایشمندی سیستم‌های انرژی تحت عنوان بررسی بهبود وضعیت انرژی در کارخانه سیمان شاهروд با نگرش اگررژی و پینچ که در تاریخ ۹۲/۶/۲۵ با حضور هیأت محترم داوران در دانشگاه صنعتی شاهروド برگزار گردید به شرح ذیل اعلام می‌گردد:

<input type="checkbox"/> محدود	<input checked="" type="checkbox"/> دفاع مجدد	قبول (با درجه: خوب امتیاز خوب)
--------------------------------	---	---

۱۷/۸۵

۲- سپار خوب (۱۸ - ۱۸/۹۹)

۱- عالی (۱۹ - ۲۰)

۴- قابل قبول (۱۵/۹۹ - ۱۴)

۳- خوب (۱۶ - ۱۷/۹۹)

۵- نمره کمتر از ۱۴ غیر قابل قبول

عنوان هیأت داوران	نام و نام خانوادگی	مرتبه علمی	امضاء
۱- استاد اهلمنا	سید مجید همایون	دکتر	
۲- استاد مشاور			
۳- نماینده شورای تحصیلات تکمیلی	احمد هریرا	دکتر	
۴- استاد ممتحن	علی همایون	دکتر	
۵- استاد ممتحن	محمد حسن شاهزاد دافیتار	دکتر	

رئیس دانشکده:



تقدیم به برترین های زندگیم
پدر بزرگوارم

که سخن خطه زیستنم را در سایه بزرگواری و دانایی اش آسودم وجود پر افتخار ش سایه ایست
جاودانه بر فراز سر بلندی های من

و

مادر محبا نم
که مفهوم بی دریغ محبا نی و صداقت است.

با سپاس فراوان و مشکر و پیره از همکاری ارزشمند دوستان گرامی آقایان مهندس کریمی مدیر محترم بهره بوداری کارخانه سیمان شهرود،
مهندس ریاضی مدیر عامل محترم شرکت کاهنبرا، اعضای محترم پژوهشگاه علوم و فناوری از رئیس شریف و کاد محترم از رئیسی و مکانیک
کارخانه سیمان شهرود.

تعهد نامه

اینجانب امیرمسعود اخیانی دانشجوی دوره کارشناسی ارشد رشته مهندسی سیستم‌های انرژی دانشکده مکانیک دانشگاه صنعتی شاهرود نویسنده پایان نامه بررسی بهبود وضعیت انرژی در کارخانه سیمان شاهرود با نگرش اگزرژی و پینچ تحت راهنمائی دکتر سید مجید هاشمیان... متعهد می‌شوم.

- تحقیقات در این پایان‌نامه توسط اینجانب انجام شده است و از صحت و اصالت برخوردار است.
- در استفاده از نتایج پژوهش‌های محققان دیگر به مرجع مورد استفاده استناد شده است.
- مطلوب مندرج در پایان‌نامه تاکنون توسط خود یا فرد دیگری برای دریافت هیچ نوع مدرک یا امتیازی در هیچ جا ارائه نشده است.
- کلیه حقوق معنوی این اثر متعلق به دانشگاه صنعتی شاهرود می‌باشد و مقالات مستخرج با نام «دانشگاه صنعتی شاهرود» و یا «Shahrood University of Technology» به چاپ خواهد رسید.
- حقوق معنوی تمام افرادی که در به دست آمدن نتایج اصلی پایان‌نامه تأثیرگذار بوده‌اند در مقالات مستخرج از پایان‌نامه رعایت می‌گردد.
- در کلیه مراحل انجام این پایان‌نامه، در مواردی که از موجود زنده (یا بافت‌های آنها) استفاده شده است ضوابط و اصول اخلاقی رعایت شده است.
- در کلیه مراحل انجام این پایان‌نامه، در مواردی که به حوزه اطلاعات شخصی افراد دسترسی یافته یا استفاده شده است اصل رازداری، ضوابط و اصول اخلاق انسانی رعایت شده است

تاریخ

امضای دانشجو

مالکیت نتایج و حق نشر

- کلیه حقوق معنوی این اثر و محصولات آن (مقالات مستخرج، کتاب، برنامه‌های رایانه‌ای، نرم افزارها و تجهیزات ساخته شده است) متعلق به دانشگاه صنعتی شاهرود می‌باشد. این مطلب باید به نحو مقتضی در تولیدات علمی مربوطه ذکر شود.

چکیده:

امروزه مصرف سیمان به عنوان یکی از مهم‌ترین مصالح ساختمانی در سطح وسیعی از جوامع گسترش یافته است. از این لحاظ امروزه میزان مصرف سیمان یکی از شاخص‌های مهم توسعه یافتگی بهویژه در کشورهای در حال توسعه بشمار می‌رود.

هدف در این پژوهه آن است تا فناوری‌های صنعت سیمان در کنار فناوری سیستم‌های بازیابی حرارتی به کمک تحلیل انرژی و اگزرژی ارزیابی گردد. در این گفتار، پس از ارائه روش بحث و بسط روابط، شماتیک تولید کلینکر در کارخانه سیمان توضیح داده شده و سپس با استفاده از روابط ذکر شده، به تجزیه و تحلیل انرژی و اگزرژی در هر یک از تجهیزات کارخانه سیمان پرداخته خواهد شد. با استفاده از آنالیز انرژی و اگزرژی، بازده قوانین اول و دوم ترمودینامیک در تجهیزات مختلف بدست آمده و سپس بازده کلی انرژی و اگزرژی کارخانه محاسبه خواهد شد. در ادامه تحلیل حساسیت در تجهیزات مختلف صورت گرفته و با توجه به آن پارامترهای حساس انرژی و اگزرژی در هر یک از تجهیزات بدست خواهد آمد. در ادامه کوشیده تا روند بهبود فناوری‌های صنعت سیمان به خصوص فناوری سیستم‌های بازیابی حرارتی را به کمک تحلیل انرژی و اگزرژی ارزیابی نماید. در این بحث با استفاده از گرمای گازهای خروجی دودکش خنک کن و گرمای اتلافی از جداره کوره که پتانسیل بالایی به منظور تولید الکتریسیته دارا می‌باشد به بازیافت حرارتی پرداخته. برای این منظور با توجه به راندمان حرارتی بالای چرخه بخار با تبخیر ناگهانی و در نظر گرفتن ملاحظات هزینه‌ای، فناورانه و زیست محیطی، چرخه بخار با تبخیر ناگهانی برای شبیه سازی بازیافت حرارتی از جداره کوره و هوای داغ خروجی از خنک کن در طرح مذکور انتخاب شده است. از محاسبات مربوط به این بخش مشاهده می‌گردد چرخه قادر است به میزان 6955 kW از برق مورد نیاز کارخانه را تأمین نماید.

واژه‌های کلیدی: ۱- صنعت سیمان ۲- سیستم‌های بازیاب حرارتی ۳- بازده ۴- اگزرژی

فهرست‌ها

۱	فصل اول: مقدمه
۲	۱-۱ مقدمه
۳	۱-۲-۱ شناخت صنعت سیمان در ایران
۴	۱-۲-۱-۱ تاریخچه مختصری در مورد سیمان
۵	۱-۲-۱-۲ چگونگی توسعه صنعت سیمان در ایران
۶	۱-۳ ضرورت انجام پژوهش
۷	۱-۳-۱ مصرف انرژی در صنعت سیمان کشور
۹	۱-۴ اهداف پژوهش
۱۰	۱-۵ تاریخچه انجام پژوهش
۱۱	۱-۵-۱ تحلیل انرژی و اگزرزی صنعت سیمان
۱۲	۱-۵-۲ بررسی سیستم‌های بازیافت انرژی در صنعت سیمان
۱۳	۱-۶ معرفی سیمان شاهروд
۱۴	فصل دوم: تئوری اگزرزی و پینچ
۱۵	۱-۲ مقدمه
۱۶	۱-۲-۱ قانون اول ترمودینامیک
۱۷	۱-۲-۱-۱ بررسی قانون اول ترمودینامیک در سیستم‌های بسته
۱۸	۱-۲-۱-۲ بررسی قانون اول در سیستم‌های حجم کنترل (باز)
۱۹	۱-۲-۱-۳ فرایند جریان پایدار

۱۹.....	۲-۳-قانون دوم ترمودینامیک
۱۹	۲-۳-۱-نامساوی کلزیوس
۱۹	۲-۳-۲-آنتروپی
۲۰	۲-۳-۳-اصل افزایش آنتروپی
۲۰.....	۴-موازنه آنتروپی برای سیستم‌های بسته
۲۱	۴-۱-موازنه آنتروپی برای حجم‌های کنترل
۲۲	۴-۲-تغییر آنتروپی مواد خالص
۲۲	۴-۳-تغییر آنتروپی جامدات و مایعات
۲۲	۴-۴-تغییر آنتروپی یک گاز کامل
۲۳.....	۵-قابلیت انجام کار (اگزرژی) و مفاهیم اگزرژی
۲۳	۵-۱-مقدمه
۲۳	۵-۲-تعریف اگزرژی
۲۷	۵-۳-انتقال اگزرژی همراه تبادل کار و حرارت
۲۷.....	۶-تحلیل اگزرژی
۲۷	۶-۱-تحلیل اگزرژی سیستم‌های بسته
۳۰	۶-۲-تحلیل اگزرژی سیستم‌های باز
۳۱	۶-۳-موازنه اگزرژی برای یک حجم کنترل
۳۵	۷-تکنولوژی پینج
۳۷	۷-۱-مفاهیم اولیه پینج
۳۷	۷-۲-منحنی‌های ترکیبی
۴۰	۷-۳-منحنی‌های ترکیبی جامع
۴۱	فصل سوم: بررسی و تحلیل اگزرژی کارخانه سیمان

۴۲	۳-۱- مقدمه
۴۳	۳-۲- کولر
۴۴	۳-۲-۱- تحلیل انرژی و اگزرزی کولر
۴۶	۳-۲-۲- مطالعه موردی سیستم کولر
۴۸	۳-۲-۳- تحلیل سیستم کولر
۵۰	۳-۲-۴- تحلیل حساسیت در سیستم کولر
۵۶	۳-۳- کوره
۵۶	۳-۳-۱- تحلیل اگزرزی سیستم کوره
۵۹	۳-۳-۲- مطالعه موردی سیستم کوره
۶۱	۳-۳-۳- تحلیل نتایج کوره
۶۲	۳-۳-۴- تحلیل حساسیت در سیستم کوره
۶۷	۳-۴- سیکلون شماره ۱
۶۸	۳-۴-۱- تحلیل انرژی و اگزرزی
۷۰	۳-۴-۲- مطالعه موردی سیستم سیکلون
۷۲	۳-۴-۳- تحلیل سیکلون اول
۷۵	۳-۴-۴- تحلیل حساسیت در سیکلون اول
۷۸	۳-۵- سیکلون شماره ۲:
۷۸	۳-۵-۱- مطالعه موردی
۸۱	۳-۵-۲- تحلیل سیکلون دوم
۸۳	۳-۵-۳- تحلیل حساسیت در سیکلون دوم
۸۶	۳-۶- سیکلون شماره ۳:
۸۶	۳-۶-۱- مطالعه موردی

۸۸	۲-۶-۲- تحلیل سیکلون سوم
۹۱	۳-۶-۳- تحلیل حساسیت در سیکلون شماره ۳
۹۴	۳-۷-۳- سیکلون شماره ۴
۹۴	۳-۷-۱- مطالعه موردی
۹۶	۳-۷-۲- تحلیل سیکلون چهارم
۹۸	۳-۷-۳- تحلیل حساسیت در سیکلون شماره ۴
۱۰۱	۳-۷-۴- جمع بندی رفتار سیکلون‌ها
۱۰۲	۳-۸- بازده کلی انرژی و اگزرزی
۱۰۴	فصل چهارم: بررسی فرایندهای بازیافت
۱۰۵	۴-۱- مقدمه:
۱۰۵	۴-۱-۱- بررسی مطالعات گذشته
۱۰۶	۴-۱-۲- محاسبه میزان گرمای اتلافی
۱۰۶	۴-۱-۲-۱- گرمای اتلافی از جداره کوره
۱۰۷	۴-۱-۲-۲- گرمای اتلافی از کولر
۱۰۷	۴-۲- بررسی سیستم‌های بازیافت
۱۰۹	۴-۳-۱- چرخه بخار همراه با تبخیر ناگهانی
۱۱۲	۴-۳-۲- چرخه بخار دو فشاری
۱۱۵	۴-۳-۳- چرخه کالینا
۱۱۸	۴-۳-۴- چرخه رانکین با سیال عامل آبی
۱۱۹	۴-۴- نتیجه‌گیری و انتخاب سیکل مناسب

۱۲۱	فصل پنجم: جمع بندی و نتیجه گیری
۱۲۲	۵-۱- جمع بندی
۱۲۳	۵-۲- پیشنهادها
۱۲۵	۶- پیوست‌ها
۱۲۶	الف-۱- شرح فرآیند تولید سیمان
۱۲۹	الف-۱-۱- بررسی فعل و انفعالات شیمیایی در کوره سیمان
۱۳۱	الف-۱-۲- روش‌های پخت سیمان
۱۳۸	الف-۱-۳- شرح تجهیزات مورد استفاده در خط تولید سیمان
۱۴۹	الف-۲- بررسی صنعت سیمان از نقطه نظر مصرف انرژی
۱۴۹	الف-۲-۱- الگوهای نمونه مصرف انرژی

فهرست شکل‌ها

شکل (۱-۱): روند ظرفیتسازی سیمان کشور (۹۰-۱۳۵۰).....	۲۴
شکل (۲-۱): سهم درصدی صنعت سیمان و سایر بخش‌ها از مصرف انرژی انرژی نهائی کشور (۹۰-۱۳۹۰).....	۸
شکل (۱-۲): مثال برای اگزرزی.....	۲۴
شکل (۲-۲): نحوه ترسیم نمودارهای ترکیبی جریان‌های گرم [35].....	۳۸
شکل (۳-۲): نحوه ترسیم نمودارهای ترکیبی جریان‌های سرد [35].....	۳۸
شکل (۴-۲): شماتیک یک نمونه منحنی ترکیبی جریان‌های گرم و سرد [35].....	۳۹
شکل (۵-۲): نحوه ترسیم نمودار ترکیبی جامع [35].....	۴۰
شکل (۱-۳): جریان‌های ورودی و خروجی سیستم کولر.....	۴۴
شکل (۲-۳): جریان‌های ورودی و خروجی سیستم کوره.....	۵۷
شکل (۳-۳): جریان‌های ورودی و خروجی سیستم سیکلون.....	۶۸
شکل (۴-۳): جریان‌های ورودی و خروجی سیستم سیکلون ۲.....	۷۸
شکل (۱-۴): منحنی جریان‌های گرم حاصل از بازیافت.....	۱۰۸
شکل (۲-۴): نمونه‌ای از منحنی ترکیبی برای سیکل رانکین ساده.....	۱۰۹
شکل (۳-۴): ساختار سیکل بخار تک مرحله با تبخیر ناگهانی پیشنهاد.....	۱۱۰
شکل (۴-۴): منحنی‌های ترکیبی سیکل تبخیر ناگهانی.....	۱۱۰
شکل (۵-۴): ساختار سیکل بخار دو فشاره پیشنهادی.....	۱۱۲
شکل (۶-۴): منحنی‌های ترکیبی سیکل بخار دو فشاری پیشنهادی.....	۱۱۳
شکل (۷-۴): ساختار سیکل کالینا پیشنهادی.....	۱۱۵
شکل (۸-۴): منحنی‌های ترکیبی سیکل کالینا پیشنهادی.....	۱۱۵
شکل (الف-۱): مراحل مختلف تولید سیمان پرتلند (فرایند خشک).....	۱۲۸
شکل (۲-۶): تولید سیمان به روش فرایند مرطوب.....	۱۳۲
شکل (الف-۳): فرایتد تولید سیمان (فرایند نیمه مرطوب).....	۱۳۳
شکل (الف-۴): دپارتمان پخت در فرآیند خشک شامل یک سیستم پیش‌گرمایش معلق.....	۱۳۵

فهرست جداول

۴۶	جدول (۱-۳): جدول مشخصات کولر
۴۷	جدول (۲-۳): جدول نتایج قانون اول
۴۷	جدول (۳-۳): جدول نتایج تحلیل اگزرزی
۴۸	جدول (۴-۳): جدول نتایج بازده اول و دوم کولر
۴۸	جدول (۵-۳): تحلیل انرژی سیستم کولر
۴۹	جدول (۶-۳): تحلیل اگزرزی سیستم کولر
۵۰	جدول (۷-۳): تاثیر تغییرات دمای محیط بر بازگشت ناپذیری‌ها، بازده‌های اول و دوم
۵۱	جدول (۸-۳): تاثیر تغییرات دمای هوای خروجی از دودکش بر بازگشت ناپذیری‌ها، بازده‌های اول و دوم
۵۱	جدول (۹-۳): تاثیر تغییرات دمای کلینکر خروجی بر بازگشت ناپذیری‌ها، بازده‌های اول و دوم
۵۳	جدول (۱۰-۳): تاثیر تغییرات دمای هوای خروجی از دودکش بر آنتالبی هوای خروجی و آنتالبی کل
۵۵	جدول (۱۱-۳): جمع بندی سیستم کولر
۵۹	جدول (۱۲-۳): مشخصات کوره
۶۰	جدول (۱۳-۳): قانون بقای انرژی در سیستم کوره
۶۰	جدول (۱۴-۳): تحلیل قانون دوم در سیستم کوره
۶۰	جدول (۱۵-۳): تحلیل بازده سیستم کوره
۶۱	جدول (۱۶-۳): تحلیل انرژی سیستم کوره
۶۲	جدول (۱۷-۳): تحلیل اگزرزی سیستم کوره
۶۳	جدول (۱۸-۳): تاثیر تغییرات دمای محیط بر بازگشت ناپذیری‌ها، بازده‌های اول و دوم
۶۳	جدول (۱۹-۳): تاثیر دمای هوای ثانویه بر تغییرات بازگشت ناپذیری، بازده قانون اول و دوم
۶۴	جدول (۲۰-۳): تاثیر دمای مواد اولیه ورودی بر تغییرات بازگشت ناپذیری، بازده قانون اول و دوم
۶۵	جدول (۲۱-۳): جمع بندی سیستم کوره
۶۶	جدول (۲۲-۳): نسبت افزایش آنتالبی و اگزرزی مواد ورودی را به کل آنتالبی و اگزرزی ورودی
۷۰	جدول (۲۳-۳): مشخصات سیکلون اول

جدول (۲۴-۳): بقای انرژی سیکلون اول	۷۱
جدول (۲۵-۳): قانون دوم ترمودینامیک در سیکلون اول	۷۲
جدول (۲۶-۳): تحلیل بازده سیکلون اول	۷۲
جدول (۲۷-۳): تحلیل انرژی سیستم سیکلون اول	۷۳
جدول (۲۸-۳): تحلیل اگزرژی سیستم سیکلون اول	۷۴
جدول (۲۹-۳): تاثیر دمای محیط بر تغییرات بازگشتناپذیری، بازده قانون اول و دوم	۷۵
جدول (۳۰-۳): تاثیر دمای گرم ورودی بر تغییرات بازگشتناپذیری، بازده قانون اول و دوم	۷۵
جدول (۳۱-۳): تاثیر دمای مواد اولیه خروجی بر تغییرات بازگشتناپذیری، بازده قانون اول و دوم	۷۶
جدول (۳۲-۳): جمع بندی سیکلون اول	۷۷
جدول (۳۳-۳): مشخصات سیکلون دوم	۷۸
جدول (۳۴-۳): بقای انرژی سیکلون دوم	۸۰
جدول (۳۵-۳): تحلیل قانون دوم ترمودینامیک در سیکلون دوم	۸۰
جدول (۳۶-۳): تحلیل بازده سیکلون دوم	۸۰
جدول (۳۷-۳): تحلیل انرژی سیستم سیکلون دوم	۸۱
جدول (۳۸-۳): تحلیل اگزرژی سیستم سیکلون دوم	۸۲
جدول (۳۹-۳): تاثیر دمای محیط بر تغییرات بازگشتناپذیری، بازده قانون اول و دوم	۸۳
جدول (۴۰-۳): تاثیر دمای هوای گرم ورودی بر تغییرات بازگشتناپذیری، بازده قانون اول و دوم	۸۴
جدول (۴۱-۳): تاثیر دمای مواد اولیه خروجی بر تغییرات بازگشتناپذیری، بازده قانون اول و دوم	۸۴
جدول (۴۲-۳): جمع بندی سیکلون دوم	۸۵
جدول (۴۳-۳): مشخصات سیکلون سوم	۸۶
جدول (۴۴-۳): بقای انرژی در سیکلون سوم	۸۸
جدول (۴۵-۳): تحلیل قانون دوم در سیکلون سوم	۸۸
جدول (۴۶-۳): تحلیل بازده در سیکلون سوم	۸۸
جدول (۴۷-۳): تحلیل انرژی سیستم سیکلون سوم	۸۹
جدول (۴۸-۳): تحلیل اگزرژی سیستم سیکلون سوم	۸۹

جدول (۴۹-۳): تاثیر دمای محیط بر تغییرات بازگشتناپذیری، بازده قانون اول و دوم.....	۹۱
جدول (۵۰-۳): تاثیر دمای هوای گرم ورودی بر تغییرات بازگشتناپذیری، بازده قانون اول و دوم.....	۹۱
جدول (۵۱-۳): تاثیر دمای مواد اولیه خروجی بر تغییرات بازگشتناپذیری، بازده قانون اول و دوم.....	۹۲
جدول (۵۲-۳): جمع بندی سیکلون سوم.....	۹۳
جدول (۵۳-۳): مشخصات سیکلون چهارم.....	۹۴
جدول (۵۴-۳): بقای انرژی در سیکلون چهارم.....	۹۵
جدول (۵۵-۳): تحلیل قانون دوم در سیستم سیکلون چهارم.....	۹۵
جدول (۵۶-۳): تحلیل بازده سیکلون چهارم.....	۹۶
جدول (۵۷-۳): تحلیل انرژی سیستم سیکلون چهارم.....	۹۶
جدول (۵۸-۳): تحلیل اگزرزی سیستم سیکلون چهارم.....	۹۷
جدول (۵۹-۳): تاثیر دمای محیط بر تغییرات بازگشتناپذیری، بازده قانون اول و دوم.....	۹۸
جدول (۶۰-۳): تاثیر دمای هوای گرم ورودی بر تغییرات بازگشتناپذیری، بازده قانون اول و دوم.....	۹۹
جدول (۶۱-۳): تاثیر دمای مواد اولیه خروجی بر تغییرات بازگشتناپذیری، بازده قانون اول و دوم.....	۹۹
جدول (۶۲-۳): جمع بندی سیکلون چهارم.....	۱۰۰
جدول (۶۳-۳): جمع بندی رفتار سیکلونها.....	۱۰۱
جدول (۶۴-۳): اختلاف دماها در سیکلونها.....	۱۰۲
جدول (۶۵-۳): بازده کلی قانون اول در کارخانه.....	۱۰۲
جدول (۶۶-۳): بازده کلی قانون دوم در کارخانه.....	۱۰۳
جدول (۱-۴): توزیع دما در نقاط مختلف کوره.....	۱۰۶
جدول (۲-۴): میزان گرمای اتلافی از کوره.....	۱۰۶
جدول (۳-۴): ثابت‌های عملیاتی برای سیکل‌های مختلف.....	۱۰۹
جدول (۴-۴): شرایط عملیاتی در بخش‌های مختلف سیکل بخار همراه با تبخیر ناگهانی.....	۱۱۱
جدول (۵-۴): جزئیات عملکرد سیکل بخار همراه با تبخیر ناگهانی.....	۱۱۱
جدول (۶-۴): میزان اگزرزی ورودی خروجی و تخریب اگزرزی در اجزای مختلف سیکل بخار همراه با تبخیر ناگهانی.....	۱۱۲

جدول (۷-۴): شرایط عملیاتی در بخش‌های مختلف سیکل بخار دو فشاری.....	۱۱۳
جدول (۸-۴): جزئیات عملکرد سیکل بخار دو فشاری.....	۱۱۴
جدول (۹-۴): میزان اگزرسی ورودی خروجی و تخریب اگزرسی در اجزای مختلف سیکل بخار دو فشاری.....	۱۱۴
جدول (۱۰-۴): شرایط عملیاتی در بخش‌های مختلف سیکل کالینا.....	۱۱۶
جدول (۱۱-۴): جزئیات عملکرد سیکل کالینا.....	۱۱۷
جدول (۱۲-۴): میزان اگزرسی ورودی خروجی و تخریب اگزرسی در اجزای مختلف سیکل کالینا.....	۱۱۷
جدول (۱۳-۴): هزینه سرمایه گذاری اولیه سیستم‌های بازیافت حرارت [34]	۱۲۰
جدول (۱۴-۶): ترکیبات کلینکر سیمان پرتلند	۱۲۷
جدول (۲-۶): مصرف ویژه انرژی مخصوص حرارتی و الکتریکی برای تولید سیمان.....	۱۴۹

فهرست علائم انگلیسی

فشار	p	مساحت	A
انرژی حرارتی	Q	صرفیت گرمای ویژه	C
رینولدز	Re	کلینکر	Cl
آنتروپی	S	قطر	D
دما	T	انرژی	E
زمان	t	آنالپی	h
انرژی داخلی	u	نخرب اگزرژی	I
حجم	V	انرژی جنبشی	K
حجم مخصوص	v	ضریب هدایت حرارتی	k
کار	W	کیلوگرم کلینکر	Kg-Cl
اگزرژی	X	دبی جرمی	m
کیفیت بخار	x	ناسلت	Nu
راندمان حرارتی کولر	Z	انرژی پتانسیل	P

فهرست علائم یونانی

ثابت استفان-بولتزمن	σ	دادا	Δ
بازده قانون دوم	ψ	ضریب صدور انرژی تشعی	ϵ
		بازده قانون اول	η

فهرست اندیس‌ها

وروودی	i	حالت مرده	0
حداقل	min	حالت اولیه	1
خروجی	o	حالت ثانویه	2
انتقال حرارت	Q	تغییرات از حالت اول به حالت دوم	12
بازگشت پذیری	rev	مرز انتقال حرارت	b
سیستم	sys	حجم کنترل	CV
کل	total	کلینکر	Cl
مفید	u	خروجی	e
کار	W	جريان	f
		تولیدی	gen

ق

فصل اول: مقدمه

۱-۱ مقدمه

امروزه مولفه‌ی بهای انرژی مصرفی در قیمت تمام شده محصول نقش بسزایی دارد. هر قدر مقدار انرژی مصرفی به ازای واحد کالای تولید شده کمتر باشد یا به عبارتی هر قدر سرانه انرژی مصرفی در تولید هر واحد کالا کمتر باشد، آن کالا ارزش افزوده بیشتر و زمان بازگشت سرمایه سریعتری خواهد داشت. مصرف انرژی در صنایع انرژی‌بر، از جهات مختلف حائز اهمیت است نکته اول آنکه با عنایت به قیمت نسبتاً بالای نفت خام باید انرژی حاصل صرف تولید کالایی گردد که ارزش افزوده‌ای بیشتر از قیمت نفت داشته باشد. دوم اینکه محدودیت انرژی در کشورها باعث می‌گردد تا مقوله بهره‌وری انرژی اهمیت پیدا کند. این محدودیت صنایع را وادار به کاهش انرژی مصرفی خود نموده و دولتها نیز درصدد وضع قوانینی جهت اعمال این محدودیت در صنایع می‌باشند.

نکته مهمتر اینکه دنیای امروز دنیای رقابتی است. در نتیجه صنایعی پایدار و پویا خواهند ماند که هزینه تمام شده تولید کمتری داشته باشند در غیر اینصورت خودبه‌خود از گردونه رقابت حذف خواهند شد و صنعت سیمان در کشورهای مختلف نیز بعنوان یک صنعت مادر از این قاعده مستثنی نیست.

بعلاوه نیاز روزافزون بشر به سیمان جهت ایجاد سرپناه و فراهم کردن زیرساخت‌های توسعه مدرن، در کنار شدت مصرف انرژی بالا و انتشار حجم زیاد آلینده زیست محیطی دی‌اکسیدکربن، صنعت سیمان را در کانون توجه تحلیل‌های انرژی و محیط زیست قرار داده است. با وجودی که شدت مصرف انرژی این صنعت پایین‌تر از صنایعی چون صنعت فولاد است اما حجم بالای تولید سیمان، اهمیت تحلیل انرژی در این صنعت را افزایش داده است [1].

۱-۲ شناخت صنعت سیمان در ایران

۱-۲-۱ تاریخچه مختصری در مورد سیمان

از نظر نوع مواد ، سیمان‌ها مواد چسبنده‌ای هستند که قابلیت چسبانیدن ذرات به یکدیگر و ایجاد جسمی یکپارچه از ذرات متشكله را دارند . مطابق با این تعریف سیمان‌ها بطور جامع شامل انواع چسب‌ها از جمله چسب‌های مایع برای چسبانیدن قطعات سنگ و یا فلزات خواهند شد.

اما بطور کلی منظور از سیمان (Cement) را می‌توان آن نوع از سیمان‌هایی دانست که دارای ریشه آهکی می‌باشند به عبارت دیگر سیمان‌هایی که ماده اصلی تشکیل دهنده آن‌ها آهک و ماده اولیه اصلی آن‌ها سنگ آهک است . بر این مبنا سیمان ترکیبی از اکسید کلسیم (آهک) و سایر اکسیدها نظیر اکسید آلومینیم، اکسید سیلیسیم، اکسید آهن ، اکسید منیزیوم و اکسیدهای قلیایی است که میل ترکیبی با آب داشته و در مجاورت هوا و در زیر آب به مرور سخت و دارای مقاومت می‌شوند.

به این ترتیب سیمان جزء ملات‌های آبی محسوب می‌شود این ملات‌ها از زمان‌های قدیم شناخته شده بودند نمونه‌ای از این ملات‌ها آهک است که رومی‌ها و یونانی‌ها با مخلوط کردن آن با خاکستر آتشفشاری ، خاک آجر و آب ، به نوعی آهک آبی دست می‌یافتند که خاصیت سخت شدن و فشار پذیری داشته است . با بکار بردن این ملات رومی‌ها توانستند ساختمان‌های عظیمی بسازند که بقایای آن‌ها هنوز قابل مشاهده است.

در ایران نیز از زمان‌های دور در مناطق مرطوب (سواحل شمالی خلیج فارس) از نوعی ساروج استفاده شده که دارای خواص هیدرولیکی جالب و مقاومت فشاری بالا بوده است معروفترین این ساروج‌ها، ساروج خمیر است که در بندر خمیر تهیه می‌گردیده و هنوز در تأسیسات بندری بجای مانده می‌توان این نوع ملات را یافت.

در سال ۱۸۲۴ با رفع نقیصه‌های سیمان موجود، سیمان پرتلند امروزی کشف و ثبت گردید. و پس از ملاحظه خواص سیمان تقاضا برای مصرف آن فزونی یافت و در نتیجه صنعت سیمان به آنچنان رشدی رسید که بعنوان یک صنعت معتبر و گسترشده در آمد. برای اولین بار در تاریخ تولید صنعتی سیمان، در کشور آلمان در سال ۱۸۷۷ اولین مؤسسه استاندارد سیمان توسط تولید کنندگان سیمان بوجود آمد و پس از آن موسسه استاندارد در انگلستان و آمریکا ایجاد و استانداردهای سیمان تدوین گردید.

ورود سیمان در ایران ابتدا توسط خارجیان و برای ساخت بناهای مربوط به ایشان صورت گرفت اما با شروع پیشرفت‌های صنعتی در اوایل قرن جاری ضرورت استفاده از سیمان برای ساخت پل‌ها، تونل‌ها و خطوط راه آهن محسوس گردید.

تا قبل از سال ۱۳۱۴ ایران وارد کننده سیمان بود اما به دلیل آنکه سیمان کالایی ارزان، سنگین و آسیب پذیر بوده و هزینه حمل و نقل آن نیز در مقایسه با قیمت سیمان بسیار بالا می‌باشد فکر تأسیس کارخانه تولید سیمان در ایران همzمان با شروع طرح‌های عمرانی پای گرفت. بطوریکه نهایتاً پس از انجام مطالعات بر روی مواد اولیه که از سال ۱۳۰۷ آغاز شده بود در سال ۱۳۱۰ قراردادی بین دولت ایران و شرکت ایران و سوئد جهت خرید یک کارخانه سیمان با ظرفیت ۱۰۰ تن در روز از شرکت اف. ال. اسمیت^۱ دانمارک بسته شد. کارخانه مذکور در ۸ کیلومتری جنوب تهران و در امتداد کوه‌های بی بی شهر بانو احداث گردید و در سال ۱۳۱۲ رسماً افتتاح شد. این کارخانه به نام کارخانه سیمان ری نامیده شد. و بدین ترتیب سیمان در کشور برای نخستین بار تولید شد[۱].

^۱ F.L. Smith

۲-۲-۱ چگونگی توسعه صنعت سیمان در ایران

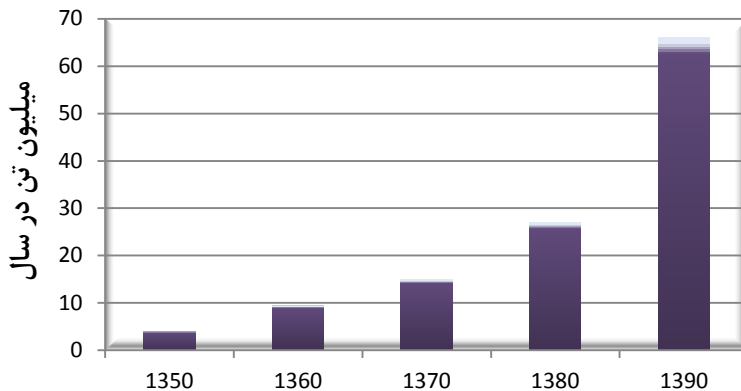
از سال ۱۳۱۲ تا سال ۱۳۱۵ ظرفیت تولیدی سیمان کشور ۱۰۰ تن در روز بود و سپس به دلیل رشد تقاضا و نیاز به مصرف سیمان با خرید خط دوم تولید سیمان با ظرفیت ۲۰۰ تن در روز از شرکت پولیزیوس^۱ آلمان و راه اندازی آن در سال ۱۳۱۶ به ۳۰۰ تن در روز افزایش یافت. این ظرفیت تا سال ۱۳۳۴ ثابت و سپس بتدريج با راه اندازی واحد سوم سیمان ری در آن سال و همچنان احداث و راه اندازی واحدهای سیمان مشهد، شمال، فارس، اصفهان، دورود و لوشان، ظرفیت روزانه تولید سیمان در سال ۱۳۳۹ به ۳۴۰۰ تن در روز رسید.

در طول سال‌های ۱۳۴۴ تا ۱۳۵۷ واحدهای جدید دیگری از جمله سیمان صوفیان ، کرمان ، آبیک ، غرب، سپاهان و بهبهان به تولید رسیدند و نیز در برخی از واحدهای موجود برنامه های توسعه مکرراً اجرا گردید بطوری که ظرفیت تولید سیمان در کشور به بیش از ۳۹۰۰۰ تن در روز رسید که سالانه بالغ بر ۱۲/۲ میلیون تن می شد.

لازم به ذکر است که از سال ۱۳۵۷ به بعد بتدريج خطوط قدیمی تولید سیمان از قبیل ری کوره شماره ۱ شیراز، کوره صفر اصفهان، کوره‌های عمودی شرق و کوره های مرطوب ۱ و ۲ سیمان دورود متوقف شدند [1].

شكل (۱-۱) روند ظرفیت سازی برای تولید سیمان کشور را در ۴۰ سال اخیر نشان می‌هد.
چنانچه ملاحظه می‌گردد، میزان تولید سیمان کشور تنها در یک دهه اخیر ۲/۵ برابر شده است.

^۱ polysius



شکل (۱-۱): روند ظرفیتسازی سیمان کشور (۱۳۵۰-۹۰) [۲]

کشور ایران در پایان سال ۲۰۱۱ میلادی، با حجم تولید سالانه ۶۱ میلیون تن سیمان در رده پنجم کشورهای تولید کننده سیمان قرار گرفته است. در همین سال جایگاه ایران در مصرف سیمان نیز جایگاه مشابهی است و با مصرف ۵۶ میلیون تن سیمان در سال، پس از کشورهای چین، هند، آمریکا و برباد، در رده پنجم قرار گرفته است [۳].

سهم این صنعت در تولید ناخالص ملی کشور نیز در سالهای اخیر همواره در حال رشد بوده و در سال ۱۳۹۱ به ۲/۵٪ بر اساس قیمت‌های مصوب داخلی و حدود ۴٪ بر اساس قیمت‌های خارجی رسیده است [۲].

انتظار آن می‌رود که در سال‌های آتی نیز، روند افزایش ظرفیت تولید سیمان و مشارکت بیشتر این صنعت در تولید ناخالص ملی کشور با توجه به روند ساخت و ساز داخل کشور و کمبود عرضه این محصول در کشورهای همسایه چون عراق و افغانستان ادامه یابد. در واقع، وجود بازارهای مصرف سیمان در کشورهای همسایه و امکان صادرات این محصول یکی از انگیزه‌های توسعه صنعت سیمان در کشور جمهوری اسلامی ایران به شمار می‌رود.

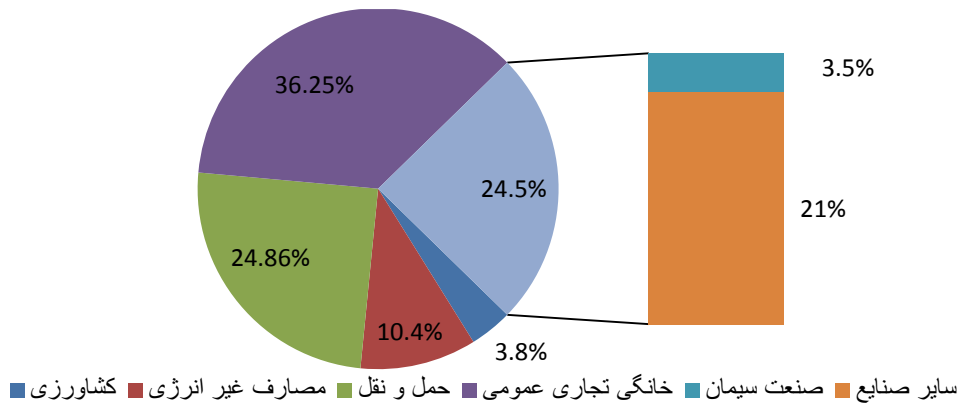
۱-۳ ضرورت انجام پژوهش

در کشور ما به دلیل قیمت نسبی کمتر انرژی در مقایسه با سایر عوامل تولید در صنعت و نبود یا

عدم اجرای معیارها و ضوابط لازم برای تغییر نرخ‌ها و تعریفه‌های تشویقی مصرف و نیز بی‌توجهی به شیوه‌های مصرف، پویایی در استفاده بهینه انرژی در بخش‌های مختلف و بخصوص در بخش صنعت حاصل نشده است. در حال حاضر، زمینه موجود برای بهینه‌سازی مصرف انرژی در کلیه بخش‌های مصرف کننده کشور مشهود است. انجام مطالعات لازم برای تعیین الگوی صحیح مصرف انرژی توسط مصرف کنندگان مختلف و از جمله بخش صنعت امکان پذیر شده و انتظار می‌رود تا با تعیین ضوابط ومعیارهای مصرف، گام‌هایی بلند در راستای کلارایی و استفاده صحیح تراز انرژی برداشته شود. از طرفی همکاری مشترک وزارت‌خانه‌های نفت، نیرو، صنایع و معادن و سازمان برنامه ریزی و مدیریت کشور مبنی بر اهمیت مسئله مدیریت مصرف انرژی منجر به تصویب تبصره ۱۹ قانون برنامه دوم با تأکید بر تأسیس واحد مدیریت انرژی در صنایع پر مصرف انرژی و همچنین ماده ۱۲۱ قانون برنامه سوم توسعه با موضوع تدوین معیار مصرف انرژی، شده است.

۱-۳-۱ مصرف انرژی در صنعت سیمان کشور

صنعت سیمان در جمهوری اسلامی ایران، بعد از صنعت فولاد بالاترین میزان مصرف انرژی را به خود اختصاص داده است [1]. محاسبات اولیه نشان می‌دهد که در سال ۱۳۹۰، حدود ۴۰ میلیون بشکه معادل نفت خام به مصرف صنعت سیمان کشور رسیده است. به عبارت دیگر، صنعت سیمان کشور در همین سال حدود ۱۴/۵٪ از انرژی نهایی مصرفی بخش صنعت و ۳/۵٪ از کل مصرف انرژی نهایی کشور جمهوری اسلامی ایران را به خود اختصاص داده است. شکل (۲-۱) سهم صنعت سیمان را در کنار سهم سایر بخش‌ها از مصرف انرژی نهایی کشور را نشان می‌دهد [4] و [5].



شکل (۲-۱): سهم درصدی صنعت سیمان و سایر بخش‌ها از مصرف انرژی نهایی (سال ۱۳۹۰) کشور [۵]

انرژی مصرفی در صنعت سیمان به دو شکل انرژی حرارتی ناشی از واکنش سوختن و انرژی الکتریکی است. شدت مصرف انرژی حرارتی و الکتریکی صنعت سیمان کشور در سال ۱۳۹۰ به ترتیب برابر $3/76$ گیگاژول بر تن کلینکر و 105 کیلووات ساعت بر تن سیمان است. این در حالی است که بهترین فناوری‌های جهانی موجود^۱ در صنعت سیمان، شدت مصرف انرژی حرارتی و الکتریکی به ترتیب معادل با $2/9 - 3/3$ گیگاژول بر تن کلینکر و $95 - 100$ کیلووات ساعت بر تن سیمان دارد [۴]، [۶] و [۷].

تفاوت فناوری موجود در صنعت سیمان کشور با بهترین فناوری‌های موجود در سطح جهانی از دیدگاه شدت مصرف انرژی، نشانگر اهمیت فراوران بهبود فناوری در این صنعت می‌باشد.

چنانچه بررسی شد، حدود 90% از انرژی مورد نیاز برای تولید سیمان، انرژی گرمائی ناشی از سوخت است که صرف تولید کلینکر در کوره می‌شود، 10% باقی انرژی مورد نیاز نیز انرژی الکتریکی است که به صورت عمدۀ در واحدهای سنگ شکن مواد اولیه و افزودنی‌های سیمان، آسیاب مواد خام،

^۱ Best Available Techniques

کوره، خنک‌کن و آسیاب سیمان به مصرف می‌رسد.

در فرایند تولید کلینکر در کوره، سهم چشمگیری از انرژی گرمایی حاصل از سوختن سوخت، به صورت گرمای گازهای خروجی از فرایند به محیط اطراف آزاد می‌شود. گازهای خروجی شامل گازهای ناشی از احتراق و گاز دی‌اکسیدکربن محصول واکنش تولید کلینکر (کلسیناسیون) در کوره است. این میزان انرژی هدررفت از نظر کمی قابل توجه بوده و به همین جهت، بازیابی حرارتی در صنعت سیمان و بهبود فناوری امری ضروری می‌نماید.

در واقع، بهره‌گیری از فناوری‌های جدید چون فناوری بازیابی حرارتی در کارخانه‌های سیمان جدیدالحداد و بهینه سازی عملکرد واحدهای تولید فعلی، از شدت مصرف انرژی کاسته و بدین ترتیب، هزینه انرژی تولید سیمان را کاهش می‌دهد. در عین حال، بواسطه بهبود فناوری در این صنعت، حجم انتشار دی‌اکسیدکربن نیز کاهش خواهد یافت.

۱-۴-۱ اهداف پژوهش

بنابر گزارش آژانس بین‌المللی انرژی، کاهش شدت مصرف انرژی حرارتی و الکتریکی صنعت سیمان به کمک:

الف) فناوری‌های مختلفی چون سیستم تولید توان از گرمای اتلافی و سایر فناوری‌های بازیابی انرژی.

ب) جایگزینی کلینکر و کاهش نسبت کلینکر به سیمان.

ج) استفاده از سوختهای جایگزین به ویژه پسماندها.

د) بهره‌برداری از فناوری جذب و ذخیره‌سازی کربن از اولویت‌های توسعه فناوری در صنعت سیمان به شمار می‌روند [8].

تاریخچه راهکارهای بهینه‌سازی مصرف انرژی نشان می‌هد که در هر صنعت فرایندی این راهکارها به سه دسته عمده تقسیم می‌شود: راهکارهای کوتاه‌مدت، میان‌مدت و بلندمدت [9].

راهکارهای کوتاه مدت همچون بازرگانی‌های مداوم جهت تشویق به صرفه جوئی در مصرف انرژی و برنامه‌های مهارت آموزی نیروی انسانی برای کار با تجهیزات به شدت انرژی بر، روش‌هایی هستند که به سرمایه گذاری نیازی ندارد و بیشتر به صورت تمهیدات مدیریتی هستند.

راهکارهای میان مدت، حرکت به سوی فناوری‌های جدید و کارآتر هستند. هدف این روش‌ها، کاهش مصرف انرژی بدون نیاز به سرمایه گذاری قابل توجه است. بهبود تکنیک‌های عملیات و نگهداری، پیوسته کردن فرایند و بالا بردن بازده تولید محصول، از جمله این راهکارها هستند.

بر خلاف دو راهکار قبلی (کوتاه مدت و میان مدت)، راهکارهای بهینه‌سازی بلند مدت سرمایه‌گذاری قابل توجه و نوآوری پیشرفته‌ای را می‌طلبند. ترکیبی از موارد زیر به عنوان راهکارهای بلند مدت در بهینه‌سازی مصرف انرژی مطرح می‌باشد:

۱. مدیریت و برقراری ارتباط بین نیازهای مختلف واحد (همچون تولید همزمان)
۲. بهینه کردن اتصالات بین تجهیزات جهت بهره‌برداری کارا از مواد و حامل‌های انرژی واسط
۳. استفاده از سیستم اتوماسیون مرکزی و به هم پیوسته
۴. اصلاح یا باز طراحی فرایند (فناوری‌های جدید جایگزین فناوری‌های قبلی می‌شود)

با توجه به حجم بالای انرژی حرارتی اتلافی در واحدهای تولید سیمان، سیستم‌های بازیافت انرژی حرارتی و تولید برق به عنوان راهکاری بلند مدت برای بهینه‌سازی مصرف انرژی در صنعت سیمان مورد توجه قرار گرفته و یکی از فناوری‌های شاخص در این زمینه به شمار می‌رود.

هدف انجام این پروژه فراهم ساختن روشی برای اعمال قانونهای اول و دوم ترمودینامیک در

آنالیز یک کارخانه سیمان می‌باشد. در این گفتار، پس از ارائه روش بحث و بسط روابط، شماتیک تولید کلینکر در کارخانه سیمان توضیح داده شده و سپس با استفاده از روابط ذکر شده، به تجزیه و تحلیل انرژی و اگزرژی در هر یک از تجهیزات کارخانه سیمان پرداخته خواهد شد. با استفاده از آنالیز انرژی و اگزرژی، بازده قوانین اول و دوم ترمودینامیک در تجهیزات مختلف بدست آمده و سپس بازده کلی انرژی و اگزرژی کارخانه محاسبه خواهد شد. در ادامه تحلیل حساسیت در تجهیزات مختلف صورت گرفته و با توجه به آن پارامترهای حساس انرژی و اگزرژی در هر یک از تجهیزات خواهد آمد. در ادامه کوشیده تا روند بهبود فناوری‌های صنعت سیمان به خصوص فناوری سیستم‌های بازیابی حرارتی را به کمک تحلیل انرژی و اگزرژی ارزیابی نماید. به عبارت دیگر، تأثیر بهبود فناوری‌های صنعت سیمان با تأکید ویژه بر سیستم‌های بازیابی حرارتی، مورد ارزیابی قرار می‌گیرد.

یکی از مؤثرترین روش‌های بازیابی حرارتی در صنعت سیمان، تولید برق در واحدهای تولید از منبع حرارت اتلافی گازهای خروجی است که از یک سو، با کاهش وابستگی به برق شبکه، انرژی الکتریکی مورد نیاز واحد را تا حدود ۴۵-۳۰٪ میزان تقاضای خط تولید سیمان تأمین می‌کند و از سوی دیگر، به طور غیرمستقیم از پدیده آلودگی گرمایی و انتشار گازهای گلخانه‌ای جلوگیری می‌نماید [10].

در حالی که بویلهای بازیابی حرارتی برای تولید برق در واحدهای تولید سیمان کشورهای ژاپن و چین به طور گسترده به کار می‌روند، انتظار آن می‌رود که در سایر نقاط جهان نیز، از این امکان به نهاد احسن بهره‌برداری گردد [10]. قیمت در حال افزایش برق تحويلی به صنعت سیمان (پس از اجرای قانون هدفمندسازی یارانه‌ها) در کنار هزینه اولیه سرمایه‌گذاری در حال کاهش واحدهای بازیابی، محرک‌های اصلی توسعه این سیستم‌ها در کشور جمهوری اسلامی ایران خواهند بود.

حذف یارانه حامل‌های انرژی با عنایت به سهم بالای هزینه انرژی از کل هزینه تولید سیمان،

حاشیه سود خالص تولید سیمان را در سال‌های آتی نیز تهدید می‌کند. لذا، بهبود فناوری و کاهش شدت مصرف انرژی حرارتی و الکتریکی در واحدهای تولید سیمان اجتناب ناپذیر است و لزوم برنامه‌ریزی برای توسعه فناوری‌های کم انرژی‌بر در صنعت سیمان بیش از پیش احساس می‌شود.

۱-۵ تاریخچه انجام پژوهش

مدلسازی انرژی و اگزرژی برای اولین بار توسط Reistad^۱ در سال ۱۹۷۵ در کشور امریکا انجام شد این تکنیک پس از آن در کشورهای دیگری نظریه سوئد در سال ۱۹۸۶ و سال‌های بعد از آن، ژاپن در سال ۱۹۸۵ و بعد از آن، ایتالیا در سال ۹۰، ازبکستان در سال ۱۹۹۳، چین در سال ۱۹۹۷، قرقیزستان در سال ۱۹۹۹ و تعداد زیادی از کشورهای دیگر بکارگرفته شده است و آمار حاکی از آن است که در بسیاری از این کشورها رشد چشمگیری در بازده انرژی مشاهده شده است [11].

در ایران نیز تاکنون فعالیت‌هایی در زمینه مدلسازی انرژی و اگزرژی در موارد خاص نظری نیروگاه‌ها، سیستم‌های سرمایشی، برج‌های تقطیر و ساختمان‌ها انجام شده است [12].

۱-۵-۱ تحلیل انرژی و اگزرژی صنعت سیمان

تحلیل انرژی و اکسرژی به کمک موازنۀ جرم، انرژی و اکسرژی انجام می‌گیرد و اغلب مطالعات این حوزه به صورت بررسی موردنی بوده است. از این بین، میتوان به مطالعات در مورد واحدهای تولید سیمان کشورهای اندونزی، ترکیه، هند، ایران و ... اشاره کرد [9] و [13-18] با ارزیابی میزان مصرف انرژی و اکسرژی است که فرصت‌ها یا پتانسیل بهبود کارایی انرژی به کمک مقایسه نتایج ارزیابی‌ها با فناوری‌های به روز^۲ مشخص می‌گردد.

¹ Reistad

² state of art technology

برای تعیین پتانسیل بهبود کارایی انرژی در صنعت سیمان علاوه بر روش فوق، برخی معیارهای دیگر چون هزینه انرژی صرفه جویی شده^۱ نیز استفاده شده است [19] و [20]. یکی از مطالعات مهم در این زمینه که به کرات مورد استناد قرار گرفته است، مقاله آقای وارل و همکاران تحت عنوان (پتانسیل‌های بهبود بازده انرژی در صنعت سیمان امریکا) است [19].

آقای وارل و همکاران در این مقاله به تحلیل عمیق صنعت سیمان امریکا پرداخته و روش‌های مقرن به صرفه بهبود بازده انرژی را بررسی کرده‌اند. این تحلیل در سه مرحله صورت گرفته است. ابتدا روند پایه سال ۱۹۹۴ مصرف انرژی و مواد اولیه استخراج شده است. سپس فناوری‌های بهبود بازده انرژی و تأثیر به کار بردن این فناوری‌ها بررسی گردیده و در مرحله آخر، مقرن به صرفه بودن روش‌های مختلف بهبود. بازده انرژی به کمک منحنی عرضه بهینه‌سازی^۲ مصرف انرژی ارزیابی شده است. فرض اساسی این تحلیل به کارگیری اقتصادی ترین فناوری است.

۱-۵-۲- بررسی سیستم‌های بازیافت انرژی در صنعت سیمان

بنابر مطالعات کتابخانه‌ای صورت گرفته، بازیابی حرارتی در صنعت سیمان برای اولین بار در لنگفورت^۳ آلمان به سال ۱۹۹۸ انجام گرفته است. آقای لگمن با بررسی چرخه رانکین با سیال عامل آلی به کار رفته در این واحد ۱/۵ مگاواتی (با بازیابی انرژی ۸/۲ مگاواتی از خنک‌کن کلینکر) نشان داده است که این فرایند در عین انعطاف‌پذیری در شرایط عملیاتی مختلف، هیچ گونه مشکلی برای فرایند تولید سیمان ایجاد نمی‌کند [21].

البته در یکی از بررسیهای محدود انجام گرفته در باب مقایسه چرخه‌های توانی بازیافت حرارتی،

¹ cost of conserved energy

² energy conservation supply curve

³ Lengfurt

آقای وانگ و همکاران [22] سیستم‌های مختلف تولید برق از گازهای خروجی در یک واحد سیمان ۵۰۰۰ تنی در روز را به کمک بهینه‌یابی پارامتریک مقدار بازده اکسرژی با الگوریتم ژنتیک تحلیل کرده‌اند. چرخه بخار با تبخیر ناگهانی، چرخه بخار دو فشاری، چرخه رانکین با سیال عامل آلی و چرخه کالینا در این مطالعه مورد بررسی قرار گرفته‌اند.

لازم به ذکر است در این تحقیق بازیافت حرارتی از کوره دوار صورت نگرفته و بازیافت حرارتی تنها از خنک‌کن کلینکر و خروجی پیشگرم انجام گرفته است.

وجه تمایز تحقیق حاضر با سایر کارهای انجام گرفته بررسی بازیافت حرارت اتلافی از جدازه کوره دوار به همراه گازهای داغ خروجی از خنک‌کن کلینکر و ارائه سیکل توان مناسب به منظور تولید الکتریسیته با نگرش اگزرژی و پینچ می‌باشد.

۱-۶ معرفی سیمان شاهروд

کارخانه سیمان شاهرود با ظرفیت نامی ۲۶۰۰ تن کلینکر در روز در خط تولید شماره ۱ و ۳۳۰۰ تن کلینکر در روز خط تولید شماره ۲، در ۱۰ کیلومتری شهرستان شاهرود واقع شده است. که خط تولید شماره ۲ تولید سیمان این کارخانه به عنوان نمومه برای انجام محاسبات مورد بررسی قرار گرفته است.

علل اصلی انتخاب خط ۲ تولید سیمان شاهرود به عنوان مبنای مدلسازی همکاری نزدیک با تیم تحقیقاتی کارخانه و امکان دسترسی به نتایج ممیزی‌های انجام شده از یک سو و رایج بودن فناوری سازنده غالب تجهیزات واحد سیمان شاهرود در بین سایر واحدهای تولید سیمان در کشور از سوی دیگر می‌باشد.

لازم به ذکر است به جهت پیوستگی مطالب و رعایت انسجام پایان‌نامه، توضیحات مربوط به

شناسایی و بررسی فرآیندهای مختلف در تولید سیمان در پیوست (الف) پایان نامه آورده شده است. در صورت عدم برخورداری از اطلاعات کافی در این زمینه، مطالعه‌ی این بخش نیز توصیه می‌گردد.

فصل دوم: تئورى اگزرزى و پىنچ

۱-۲ مقدمه

موازنۀ انرژی معادل با قانون بقای انرژی (قانون اول ترمودینامیک) می‌باشد. اما موازنۀ اگزرزی بیانگر افت کیفیت انرژی (ترکیب قوانین اول و دوم ترمودینامیک) می‌باشد. افت کیفیت انرژی یا تخریب اگزرزی نیز به دلیل بازگشت ناپذیری فرایندهای واقعی اتفاق می‌افتد. تحلیل انرژی یا برقراری موازنۀ انرژی به تنها قابلی شناسایی عدم کارایی‌های ترمودینامیک واقعی نیست. در حقیقت تحلیل انرژی یک سیستم تنها منجر به شناسایی انتقال یا هدر رفت انرژی از سیستم به بیرون می‌گردد بنابراین تحلیل انرژی برخی کج‌فهمی‌ها به دنبال خواهد داشت چرا که به دنبال شناسایی عدم کارایی‌های درونی سیستم نیست. این در حالی است که بسیاری از عدم کارایی‌ها در درون سیستم رخ می‌دهد.

قانون دوم ترمودینامیک به کیفیت انرژی می‌پردازد این قانون بیشتر به تجزیه و تحلیل انرژی در خلال یک فرایند، آنتروپی تولید شده و هدر رفتن فرصت‌ها و مجال‌های انجام کار می‌پردازد و میدان وسیعی برای اصلاح و توسعه پیشنهاد می‌کند. در این فصل پس از توضیحاتی پیرامون قوانین ترمودینامیکی حاکم بر فرایندهای مختلف به تعریف و بررسی مفاهیم اگزرزی می‌پردازیم.

۲-۱ قانون اول ترمودینامیک

قانون اول ترمودینامیک بیانی است از قانون بقای انرژی و بر حسب تعریف سیستم‌های بسته و باز می‌توان به فرموله نمودن این قانون پرداخت.

۱-۲-۱ بررسی قانون اول ترمودینامیک در سیستم‌های بسته

این قانون در سیستم‌های بسته بصورت زیر است:

[افزایش (یا کاهش) خالص انرژی کل سیستم] = [انرژی خالصی که بصورت کار یا حرارت به (یا از)

سیستم منتقل می شود] .

$$Q-W = \Delta E \quad (1-2)$$

که تغییرات انرژی کل حاصل جمع تغییرات انرژی درونی، انرژی جنبشی و پتانسیل است.

$$\Delta E = \Delta U + \Delta K + \Delta P \quad (2-2)$$

با صرف نظر کردن از انرژی جنبشی و پتانسیل در سیستم‌های بسته داریم:

$$Q-W = \Delta U \quad (3-2)$$

۲-۲-۲ بررسی قانون اول در سیستم‌های حجم کنترل (باز)

اصول حاکم بر قانون اول در سیستم‌های حجم کنترل (باز) به شرح زیر می‌باشد.

$$\sum m_i - \sum m_o = \Delta m_{cv} \quad \text{اصل بقای جرم:}$$

$$Q-W + \sum E_{in} - \sum E_{out} = \Delta E_{cv} \quad \text{اصل بقای انرژی:}$$

۳-۲-۲ فرایند جریان پایدار

تعداد زیادی از وسائل مهندسی مانند توربین‌ها، کمپرسورها و شیپورهای تحت شرایط یکسانی برای مدت زمان طولانی کار می‌کنند و بعنوان وسائل جریان پایدار طبقه بندی می‌شوند. فرایندهای مربوط به جریان پایدار، می‌توانند بطور معقولی با یک فرایند تا حدی ایده آل به نام فرایند جریان پایدار بیان گردند. یک فرایند جریان پایدار عبارتست از فرایندی که طی آن یک سیال از میان یک حجم کنترل بصورت پایدار جریان می‌یابد. یعنی خواص سیال می‌تواند از نقطه‌ای به نقطه دیگر در داخل حجم کنترل تغییر کند اما در تمام طول فرایند ثابت می‌ماند.

در حالت جریان پایدار قانون اول برای حجم کنترل بصورت زیر است:

$$\sum \dot{m}_i = \sum \dot{m}_e \quad (4-2)$$

$$\dot{Q} - \dot{W} = \sum \dot{m}_e \left(h_e + \frac{V_e^2}{2} + gz_e \right) - \sum \dot{m}_i \left(h_i + \frac{V_i^2}{2} + gz_i \right) \quad (5-2)$$

۳-۲ قانون دوم ترمودینامیک

قانون دوم ترمودینامیک مشخص می‌کند که انرژی همانند کمیت دارای کیفیت نیز می‌باشد. یک تحول، بدون ارضاء قوانین اول و دوم انجام پذیر نمی‌باشد. بر مبنای قانون دوم مفهوم آنتروپی توضیح داده می‌شود. آنتروپی یک خاصیت بدون بقا بوده و چیزی به نام قانون بقای آنتروپی وجود ندارد.

۱-۳-۲ نامساوی کلازیوس

قانون دوم ترمودینامیک غالباً به روابطی که دارای علامت نامساوی هستند منجر می‌شود.

نامساوی کلازیوس بصورت زیر بیان شده است:

$$\phi \left(\frac{\delta Q}{T} \right) \leq 0 \quad (6-2)$$

این نامساوی برای تمامی چرخه‌های برگشت‌پذیر و برگشت‌ناپذیر صادق است.

در چرخه‌های برگشت‌پذیر داخلی داریم:

$$\phi \left(\frac{\delta Q}{T} \right)_{\text{int,rev}} = 0 \quad (7-2)$$

۲-۳-۲ آنتروپی

آنتروپی را بصورت زیر تعریف می‌کنند:

$$ds = \phi \left(\frac{\delta Q}{T} \right)_{\text{int,rev}} \quad (8-2)$$

تغییر آنتروپی یک سیستم طی یک فرایند برگشت‌پذیر را می‌توان به وسیله انتگرال گیری از این

رابطه، بین حالات ابتدایی و انتهایی بدست آورد:

$$\Delta S = S_2 - S_1 = \int_1^2 \left(\frac{\delta Q}{T} \right)_{\text{int,rev}} \quad (9-2)$$

برای بدست آوردن تغییرات آنتروپی بایستی رابطه بین انتقال حرارت و دما را در طی یک فرایند داشته باشید. این رابطه اغلب قابل دستیابی نمی‌باشد و این انتگرال تنها برای بعضی حالات قابل استفاده است. یکی از این حالات خاص حالتی است که انتقال حرارت بصورت برگشت‌پذیر داخلی و در دمای ثابت صورت می‌پذیرد. در این صورت:

$$\Delta S = \frac{Q}{T_0} \quad (10-2)$$

۳-۳-۲ اصل افزایش آنتروپی

هر سیستم و محیط اطراف آن را می‌توان بعنوان دو سیستم جزئی از یک سیستم ایزوله در نظر گرفت و تغییرات آنتروپی در این سیستم عایق شده در یک فرآیند را می‌توان مجموع تغییرات آنتروپی همان سیستم عایق شده و محیط اطراف آن دانست. این مقدار را تغییرات کلی آنتروپی S_{total} یا تولید آنتروپی S_{gen} می‌نامند و اصل افزایش آنتروپی را می‌توان بصورت زیر نوشت:

$$S_{\text{gen}} = \Delta S_{\text{total}} = \Delta S_{\text{sys}} + \Delta S_e \geq 0 \quad (11-2)$$

این معادله یک بیان عمومی از اصل افزایش آنتروپی است که هم در سیستم‌های بسته (جرم کنترل) و هم در سیستم‌های باز (حجم کنترل) بکار می‌رود. بطور خلاصه اصل افزایش آنتروپی را می‌توان بصورت زیر نشان داد:

$$S_{\text{gen}} = \Delta S_{\text{total}} \begin{cases} > 0 & \text{نایزدیر بازگشت فرایند} \\ = 0 & \text{پذیر بازگشت فرایند} \\ < 0 & \text{ممکن غیر فرایند} \end{cases}$$

۴-۲ موازن آنتروپی برای سیستم‌های بسته

در یک سیستم بسته هیچگونه جریان جرم عبوری از مرزها وجود ندارد و تغییر آنتروپی آن به

садگی از اختلاف بین مقادیر آنتروپی در حالت‌هایی ابتدایی و نهایی سیستم بدست می‌آید:

تغییرات آنتروپی = انتقال آنتروپی با حرارت + آنتروپی ایجاد شده در سیستم

$$S_2 - S_1 = \int_1^2 \frac{\delta Q}{T} + S_{\text{gen,sys}} \quad (12-2)$$

در این حالت اصل افزایش آنتروپی بصورت زیر در می‌آید.

$$S_{\text{gen}} = \Delta S_{\text{total}} = \Delta S_{\text{sys}} + \Delta S_e \geq 0 \quad (13-2)$$

که در آن:

$$\Delta S_{\text{sys}} = S_2 - S_1 = m(S_2 - S_1) \quad (14-2)$$

$$\Delta S_e = \sum \frac{Q_R}{T_R} \quad (15-2)$$

و علامت Q_R با توجه به منابع حرارتی تعیین می‌شود.

در این حالت فرض کردہ‌ایم که دمای مرزی که در آن انتقال حرارت با یک منبع حرارتی انجام می‌گیرد برابر با دمای محیط است. یعنی محیط را شامل منابع حرارتی تحت فرایندهای ایزوترم برگشت‌پذیر داخلی فرض کردہ‌ایم.

۱-۴-۲ موازنۀ آنتروپی برای حجم‌های کنترل

برای یک حجم کنترل داریم:

$$\frac{ds_{cv}}{dt} = \sum \frac{\dot{Q}_k}{T_k} + \sum \dot{m}_i s_i - \sum \dot{m}_e s_e + \dot{S}_{\text{gen,}cv} \quad (16-2)$$

بنابراین:

$$\dot{S}_{\text{gen,}cv} = \sum \dot{m}_e s_e - \sum \dot{m}_i s_i + \frac{dS_{cv}}{dt} + \sum \frac{\dot{Q}_R}{T_R} \quad (17-2)$$

علامت Q_R با توجه به منابع حرارتی تعیین می‌شود و i ، بیانگر ورودی e بیانگر خروجی سیستم

مورد نظر می‌باشد.

برای یک فرایند جریان پایدار این رابطه بصورت زیر خلاصه می‌شود.

$$\dot{S}_{\text{gen,}cv} = \sum \dot{m}_e s_e - \sum \dot{m}_i s_i + \frac{dS_{cv}}{dt} + \sum \frac{\dot{Q}_R}{T_R} \geq 0 \quad (18-2)$$

۲-۴-۲ تغییر آنتروپی مواد خالص

تغییر آنتروپی یک ماده خالص در یک فرایند به سادگی از اختلاف بین مقادیر آنتروپی در حالت نهایی و حالت ابتدایی بدست می‌آید.

$$\Delta S = S_2 - S_1 = m(s_2 - s_1) \quad (19-2)$$

۳-۴-۲ تغییر آنتروپی جامدات و مایعات

جامدات و مایعات می‌توانند مواد غیر قابل تراکم ایده‌آل در نظر گرفته شوند. برای مواد غیر قابل تراکم $C_p = C_v = C$ بوده و $dU = CdT$. بنابراین:

$$S_2 - S_1 = \int_1^2 C(T) \frac{dT}{T} = C_{av} \ln \left(\frac{T_2}{T_1} \right) \quad (20-2)$$

۴-۴-۲ تغییر آنتروپی یک گاز کامل

با استفاده از خواص گازهای کامل روابط زیر بدست می‌آیند:

$$dS = C_v \frac{dT}{T} + R \frac{dv}{v} \quad (21-2)$$

در نتیجه با انتگرال گیری بین حالت ابتدایی و انتهایی تحول:

$$S_2 - S_1 = \int_1^2 C_v(T) \frac{dT}{T} + R \ln \frac{v_2}{v_1} = \int_1^2 C_p(T) \frac{dT}{T} - R \ln \frac{P_2}{P_1} \quad (22-2)$$

۲-۵ قابلیت انجام کار (اگزرژی) و مفاهیم اگزرژی

۱-۵-۲ مقدمه

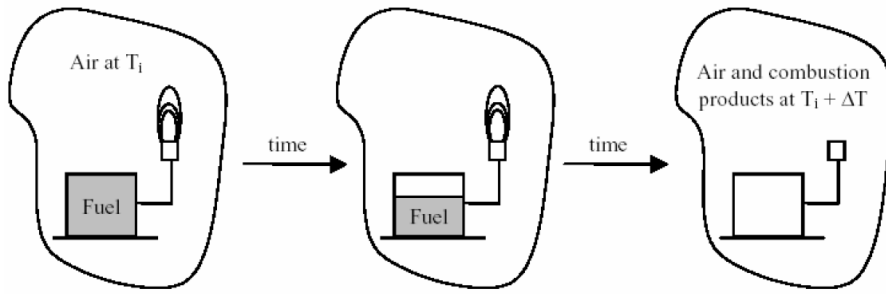
قابلیت انجام کار (اگزرژی) عبارتست از: ماکزیمم کار مفیدی که از یک سیستم در حالت معین می‌تواند تولید شود. برای این منظور محیط مرجع اگزرژی (حالت مرده) را تعریف می‌کنند که عبارت است از محیطی که در حالت تعادل ترمودینامیکی با اطراف خود باشد.

کار برگشت پذیر مقدار کار مفید حداکثری است که می‌تواند در یک سیستم در طی یک فرایند بین دو حالت معین ابتدایی و انتهایی تولید شود. این کار مفید خروجی (یا ورودی) وقتی بدست می‌آید که فرایند بین حالت ابتدایی و انتهایی کاملاً در یک حالت برگشت پذیر اتفاق بیفتد. وقتی که حالت نهایی حالت مرده باشد، کار برگشت پذیر برابر قابلیت انجام کار (اگزرژی) خواهد بود.

بدیهی است که طراحی سیستم‌های گرمایی پربازده که به خوبی از منابع تجدید ناپذیر انرژی استفاده می‌کنند، از اهمیت بسیاری برخوردار است. (تحلیل اگزرژی) ابزاری برای تعیین نوع، محل و مقادیر تلفات حرارتی. معین کردن و کمی سازی این تلفات، ما را قادر می‌سازد تا طراحی سیستم‌های ترمودینامیکی را ارزیابی کرده و سپس بهبود بخشیم.

۲-۵-۳ تعریف اگزرژی

سیستم ایزوله زیر را در نظر بگیرید. سیستم شامل یک مخزن کوچک سوخت و هوای اطراف آن است. با احتراق سوخت، انرژی شیمیایی به انرژی گرمایی تبدیل می‌شود و دمای هوا افزایش می‌یابد.



شکل (۱-۲): مثال برای اگزرزی

از آنجائیکه سیستم ایزوله است، مقدار کل انرژی ثابت باقی می‌ماند. گرچه مقدار انرژی ثابت باقی می‌ماند، ولی با گذشت زمان توانایی ما برای انجام کار کاهش می‌یابد. به عبارت دیگر، در حالت ابتدایی، انرژی سیستم پتانسیل بیشتری از حالت انتهایی دارد. به دلیل بازگشت ناپذیری‌های بوجود آمده در طول این فرایند، پتانسیل کاربری انرژی یا اگزرزی سیستم کاهش می‌یابد. اگزرزی را (حداکثر کارتئوری قابل حصول سیستم در اثر تعامل آن با محیط اطرافش و تا رسیدن به تعادل) تعریف می‌کنند. وقتی یک سیستم با محیط اطرافش در حال تعادل باشد، استفاده از انرژی برای تولید کار غیر ممکن است. اینجاست که می‌گوئیم، اگزرزی سیستم کاملاً از بین رفته است.

اگزرزی یک سیستم، حداکثر کاریست که می‌توان از آن سیستم بدست آورد. به منظور کمی کردن اگزرزی یک سیستم، ما باید هم سیستم و هم محیط را مشخص کنیم. (محیط مرجع اگزرزی) به منظور استاندارد کردن کمی سازی اگزرزی به کار می‌رود

حالاتی از مشخص از انرژی الکتریکی قابلیت تولید کار مفید با بازده ۱۰۰٪ را دارا می‌باشد اما تولید کار با بازده ۱۰۰٪ برای هر حالتی ممکن نیست و بازده تبدیل به کیفیت آن حالت انرژی بستگی دارد به عنوان مثال اگر دمای محیط را ۲۵ درجه سانتیگراد فرض کنیم هر یک کیلوژول انرژی حرارتی در دمای ۵۰۰ درجه سانتیگراد و تحت شرایط ایده‌آل می‌تواند معادل ۰/۶۱۴ کیلوژول کار تولید کند. این در حالی است که همان مقدار انرژی گرمایی در دمای ۱۰۰۰ درجه سانتیگراد

توان تولید ۰/۷۶۶ کیلو ژول کار را دارد به عبارت دیگر کیفیت انرژی در بازده تبدیل تاثیر گذار است و قابلیت تولید کار مفهومی است که به عنوان اگزرژی شناخته می‌شود اگزرژی بیشینه کار مفید نظری است که با به تعادل رسیدن ترمودینامیکی یک سیستم در حال تعامل با میحاط اطراف (فقط با محیط) خود به دست می‌آید.

محیط مرجع اگزرژی یا به سادگی (محیط) یک سیستم بزرگ، ساده و تراکم پذیر فرض می‌شود. دمای محیط در مقدار T_0 و فشار آن در مقدار P_0 یکنواخت فرض می‌شوند. همچنین، فرض می‌شود که خواص شدتی محیط با هر نوع فرایندی، تغییرات قابل ملاحظه‌ای ندارند. بنابراین محیط به عنوان یک مخزن گرمایی در دمای T_0 مدل می‌شود.

سیتم بسته‌ای را در نظر بگیرید که با محیط مرجع اگزرژی تعامل دارد. با به کارگیری قانون اول ترمودینامیک داریم:

$$Q - W = \Delta E \quad (23-2)$$

و از آنجائیکه محیط، مخزنی در دمای T_0 است، نتیجهٔ موازنۀ آنتروپی مطابق زیر است :

$$S_{gen} = \Delta S - \frac{Q}{T_0} \quad (24-2)$$

با جمع کردن قانون اول و موازنۀ آنتروپی و حل کردن آن به ازای کار خواهیم داشت:

$$W = -\Delta E + T_0 \Delta S - T_0 S_{gen} \quad (25-2)$$

همۀ کار تولید شده توسط سیتم را نمی‌توان به صورت مطلوب به کار برد. برای مثال، هنگامی که گاز درون سیلندر-پیستون منبسط می‌شود، مقداری از کار برای تراکم محیط مورد نیاز است. چون محیط یک سیتم تراکم پذیر ساده است و فشار آن ثابت است، کار محیط برابر می‌شود با:

$$W_e = P_0 \Delta V_e = P_0 \Delta V \quad (26-2)$$

کار مفید با کم کردن کار محیط بدست می آید:

$$W_u = W - W_e = -\Delta E + T_0 \Delta S - T_0 S_{gen} - P_0 \Delta V \quad (27-2)$$

$$W_e = (E_1 - E_2) + P_0(V_1 - V_2) - T_0(S_1 - S_2) - T_0 S_{gen} \quad (28-2)$$

اگر حالت دوم سیستم در تعادل با محیط باشد (حالت مرده)،

$$E_2 = U_0, V_2 = V_0, S_2 = S_0 \quad (29-2)$$

و کار مفید با رابطه زیر داده می شود:

$$W_u = (E - U_0) + P_0(V - V_0) - T_0(S - S_0) - T_0 S_{gen} \quad (30-2)$$

واضح است، هنگامی که فرایند بازگشت پذیر است و $S_{gen} = 0$ کار مفید بیشینه خواهد بود. حداکثر

کار مفیدی که می توان از یک سیستم در تعامل با محیط مرجع اگزرژی بدست آورد، همانا اگزرژی سیستم است.

$$X = (E - U_0) + P_0(V - V_0) - T_0(S - S_0) \quad (31-2)$$

یک سیستم ممکن است فرایندی را طی کند که در آن فرایند حالت نهایی، در تعادل با محیط نباشد. برای این فرایندها، تغییر اگزرژی سیستم با رابطه زیر داده می شود:

$$W_{rev} = X_2 - X_1 = (E_2 - E_1) + P_0(V_2 - V_1) - T_0(S_2 - S_1) \quad (32-2)$$

برای فرایندهایی که احتیاج به کار دارند، کار برگشت پذیر بیان کننده حداقل مقدار کار لازم برای انجام فرایند است. هر مقدار تفاوتی که بین کار برگشت پذیر W_{rev} و کار مفید W_u وجود داشته باشد، باعث پدید آمدن برگشت ناپذیری در طول فرایند می شود. این اختلاف برگشت ناپذیری (I) نامیده می شود.

$$I = W_{rev} - W_u \quad (33-2)$$

$$\dot{I} = \dot{W}_{rev} - \dot{W}_u \quad (34-2)$$

برای فرایندهای کاملا برگشت پذیر، عبارت‌های کار واقعی و کار برگشت‌پذیر یکی می‌باشد و بنابراین میزان بازگشت‌ناپذیری برابر با صفر می‌باشد. برای تمام فرایندهای واقعی (برگشت‌ناپذیر)، مقدار برگشت‌ناپذیری مثبت است. چون در وسایل تولید کننده کار عبارت کار مثبت و در نتیجه $(W_u < W_{rev})$.

۳-۵-۲ انتقال اگزرسی همراه تبادل کار و حرارت

اگزرسی حداکثر کاریست که می‌تواند از یک منبع در رسیدن به حالت مرده بدست آید. این مقدار برابر است با کاری که یک موتور حرارتی کارنو بین این منبع و محیط تولید می‌نماید. بازده کارنو $\eta_c = 1 - \frac{T_o}{T}$ بیانگر قسمت قابل حصول از انرژی این منبع حرارتی در دمای T می‌باشد. انتقال حرارت Q همیشه همراه با انتقال اگزرسی بوده و مقدار آن از رابطه زیر بدست می‌آید.

$$X_Q = \left(1 - \frac{T_o}{T}\right) * Q \quad (35-2)$$

وقتی که دمای T در محلی که انتقال حرارت اتفاق می‌افتد ثابت نباشد اگزرسی از رابطه زیر بدست می‌آید.

$$X_Q = \int \left(1 - \frac{T_o}{T}\right) * \delta Q \quad (36-2)$$

اگزرسی بواسطه انجام کار با X_w نشان داده می‌شود و همان کار مفید است.

$$X_w = W_u = \left\{ \begin{array}{l} W - P_0(V_2 - V_1) \\ W \end{array} \right\} \quad (37-2)$$

۶-۲ تحلیل اگزرسی

۱-۶-۲ تحلیل اگزرسی سیستم‌های بسته

یک سیستم بسته در عین اینکه با محیط اطرافش تبادل کار و گرما دارد، از یک حالت به حالت

دیگر می‌رود. چون حالت سیستم در طی تبادل کار و حرارت تغییر می‌کند، خواص سیستم، از جمله اگزرزی سیستم، نیز تغییر خواهد نمود. اگزرزی یک سیستم، با انتقال اگزرزی از مرز سیستم یا با از بین رفتن اگزرزی، تغییر خواهد کرد. مفاهیم تغییر اگزرزی، انتقال اگزرزی و از بین رفتن اگزرزی برای نوشتن موازنۀ اگزرزی به کار می‌روند. موازنۀ اگزرزی بر مبنای قوانین اول و دوم ترمودینامیک هستند و اساس (تحلیل اگزرزی) را فراهم می‌آورند. موازنۀ اگزرزی نیز مانند موازنۀ آنتروپی بیانی جایگزین برای قانون دوم است.

موازنۀ اگزرزی برای یک سیستم بسته، با در نظر گرفتن فرم دیفرانسیلی قانون اول برای سیستم بسته، بدست می‌آید.

$$dE = \delta Q - \delta W \quad (38-2)$$

یک موازنۀ آنتروپی نیز در نظر گرفته می‌شود.

$$dS = \frac{\delta Q}{T_b} + \delta S_{gen} \quad (39-2)$$

که در آن T_b بیانگر دمای مرز انتقال حرارت می‌باشد. موازنۀ آنتروپی را در دمای محیط T_0 ضرب می‌کنیم تا:

$$T_0 dS = T_0 \frac{\delta Q}{T_b} + T_0 \delta S_{gen} \quad (40-2)$$

با کم کردن این معادله از قانون اول خواهیم داشت:

$$dE - T_0 dS = \left(1 - \frac{T_0}{T_b}\right) \delta Q - \delta W - T_0 S_{gen} \quad (41-2)$$

انتگرال گیری از این معادله نتیجه می‌دهد:

$$E_2 - E_1 - T_0(S_2 - S_1) = \left(1 - \frac{T_0}{T_b}\right) Q_{12} - W_{12} - T_0 S_{gen} \quad (42-2)$$

سپس به هر طرف این معادله عبارت $(V_2 - V_1) - P_0$ را اضافه می‌کنیم تا موازنۀ اگزرزی برای یک

سیستم بسته را بدست آوریم:

$$E_2 - E_1 + P_0(V_2 - V_1) - T_0(S_2 - S_1) \quad (43-2)$$

$$= \left(1 - \frac{T_0}{T_b}\right) Q_{12} - |W_{12} - P_0(V_2 - V_1)| - T_0 S_{gen}$$

$$X_2 - X_1 = (E_2 - E_1) + P_0(V_2 - V_1) - T_0(S_2 - S_1) \quad (44-2)$$

$$= \left(1 - \frac{T_0}{T_b}\right) Q_{12} - [W_{12} - P_0(V_2 - V_1)] - T_0 S_{gen}$$

موازنۀ اگزرسی را بر اساس شدت جریان نیز می‌توان نوشت.

$$\frac{dx}{dt} - \sum_j \left(1 - \frac{T_0}{T_j}\right) Q_j - \left(\bar{W} - P_0 \frac{dV}{Vt}\right) - T_0 \bar{S}_{gen} \quad (45-2)$$

در نتیجه، با جمع بندی مطالب برای یک سیستم بسته داریم:

$$Q - W = U_1 - U_2 \quad \text{قانون اول}$$

$$S_{gen} = (S_2 - S_1)_{sys} + \frac{Q_e}{T_e} \quad \text{قانون دوم}$$

که در آن e بیانگر محیط می‌باشد. با حذف عبارت انتقال حرارت بین دو معادله داریم:

$$W = (U_1 - U_2) - T_0(S_1 - S_2) - T_0 S_{gen} \quad (46-2)$$

این کار، کل کار حقیقی انجام شده در طول فرایند است اگر حجم سیستم در طول فرایند تغییر

کند در آن صورت کار مفید بصورت زیر در می‌آید. در نتیجه

$$W_u = W - W_e = W - P_0(V_2 - V_1) \quad (47-2)$$

$$W_u = (U_1 - U_2) - T_0(S_1 - S_2) + P_0(V_2 - V_1) - T_0 S_{gen} \quad (48-2)$$

کار برگشت پذیر با مساوی صفر قرار دادن آنتروپی تولید شده بدست می‌آید:

$$W_{rev} = (U_1 - U_2) T_0(S_1 - S_2) + P_0(V_2 - V_1) \quad (49-2)$$

اگر بجای حالت ۲ حالت مرده را داشته باشیم در آن صورت اگزرسی سیستم بدست می‌آید:

$$X = (U_1 - U_0) - T_0(S_1 - S_0) + P_0(V_1 - V_0) \quad (50-2)$$

برای یک فرایند بین حالت‌های ۱ و ۲ داریم.

$$W_{rev} = X = X_1 - X_2 \quad (51-2)$$

$$I = X - W_u = T_0 S_{gen} \quad (52-2)$$

۲-۶-۲ تحلیل اگزرزی سیستم‌های باز

در هنگام بررسی سیستم‌های باز در نظر گرفتن انتقال اگزرزی با جریان جرمی و کار جریان اهمیت زیادی دارد. استفاده از مفهوم اگزرزی جریان، بهترین راه برای وارد نمودن این روش‌های انتقال اگزرزی در تحلیل اگزرزی یک جرم کنترل است. حالت نشان داده شده در شکل را در نظر بگیرید. منطقه هاشور خورده را به عنوان جرم کنترل فرض کنید.

در زمان t ، جرم کنترل و حجم کنترل منطقه یکسانی از فضا را اشغال می‌کنند. در زمان $t + \Delta t$ مقداری از جرم کنترل از حجم کنترل خارج می‌شود و منطقه e از فضا را پر می‌کند.

میزان انتقال اگزرزی از جرم کنترل انجام دهنده کار، با رابطه زیر بیان می‌شود:

$$\left[\begin{array}{l} \text{exergy transfer from the control} \\ \text{mass accompanying work} \end{array} \right] = W - P_0 \Delta V = W - m_e P_0 V_e \quad (53-2)$$

با تقسیم این عبارت بر Δt و با میل دادن Δt به سمت صفر، شدت انتقال اگزرزی از جرم کنترل

بدست می‌آید.

$$\left[\begin{array}{l} \text{Rate of exergy transfer from the control} \\ \text{mass accompanying work} \end{array} \right] \quad (54-2)$$

$$= \lim_{\Delta t \rightarrow 0} \left(\frac{W}{\Delta t} \right) - \lim_{\Delta t \rightarrow 0} \left(\frac{m_e}{\Delta t} \right) P_0 V_e$$

با میل کردن Δt به سمت صفر، مرزهای جرم کنترل و حجم کنترل بر هم منطبق می‌شوند.

بنابراین کار انجام شده توسط جرم کنترل مساوی کار انجام شده توسط حجم کنترل و به کلام

ساده‌تر برابر کار جریان در مورد مذکور است. لذا شدت انتقال اگزرزی از جرم کنترل برابر شدت انتقال اگزرزی از حجم کنترل است.

$$\left[\begin{array}{l} \text{Rate of exergy transfer from the control} \\ \text{volume accompanying flow work} \end{array} \right] = \dot{m}_e (P_e v_e - P_0 v_e) \quad (55-2)$$

تحلیلی مشابه در مورد ورودی به حجم کنترل نشان می‌دهد که شدت انتقال اگزرزی به حجم

کنترلی که کار انجام می‌دهد برابر است با:

$$\left[\begin{array}{l} \text{Rate of exergy transfer from the control} \\ \text{volume accompanying flow work} \end{array} \right] = \dot{m}_i (P_i v_i - P_0 v_i) \quad (56-2)$$

۳-۶-۲ موازنۀ اگزرزی برای یک حجم کنترل

موازنۀ اگزرزی برای یک حجم کنترل درست مانند روشی که موازنۀ انرژی را برای یک حجم کنترل می‌نویسیم، نوشته می‌شود. جرم کنترل m را در نظر بگیرید که در زمانهای t و $t + \Delta t$ مناطق مختلفی را اشغال می‌کند.

در زمان t کل اگزرزی در نظر گرفته شده با رابطه زیر داده می‌شود.

$$\begin{aligned} X(t) &= X_{cv}(t) + X_i \\ &= X_{cv}(t) + m_i [(e_i - u_0) + P_0(v_i - v_0) - T_0(S_i - S_0)] \end{aligned} \quad (57-2)$$

در طی بازۀ زمانی Δt کل جرم موجود در منطقه i به حجم کنترل وارد می‌شود و مقداری از جرم داخل حجم کنترل به منطقه e منتقل می‌گردد. در زمان $t + \Delta t$ کل اگزرزی در نظر گرفته شده برابر است با:

$$\begin{aligned} X(t + \Delta t) &= X_{cv}(t + \Delta t) + X_e \\ &= X_{cv}(t + \Delta t) + m_e [(e_i - u_0) + P_0(v_e - v_0) \\ &\quad - T_0(S_e - S_0)] \end{aligned} \quad (58-2)$$

با کم کردن $X(t + \Delta t)$ از $X(t)$ خواهیم داشت.

$$\begin{aligned}
X_{cv}(t + \Delta t) - X_{cv}(t) &= X(t + \Delta t) \\
&- m_e[(e_e - u_0) + P_0(v_e - v_0) - T_0(S_e - S_0)] - X(t) \\
&+ m_i[(e_i - u_0) + P_0(v_i - v_0) - T_0(S_i - S_0)]
\end{aligned} \tag{59-۲}$$

در طی این فرایند ممکن است تعامل کار و گرما رخ دهد، لذا انتقال اگررژی تعامل کار و گرما را به همراه خواهد داشت. گرچه جرم کنترل مورد نظر در زمان‌های مختلف مناطق مختلفی از فضا را اشغال می‌نماید، اما هنوز یک جرم کنترل یا یک سیستم بسته است. بنابراین، می‌توان موازنۀ اگررژی سیستم بسته را برای آن به کار برد.

$$X(t + \Delta t) - X(t) = \left(1 - \frac{T_0}{T_b}\right)Q - [W - P_0(V(t + \Delta t) - V(t)) - T_0S_{gen}] \tag{60-۲}$$

جمع کردن دو معادله اخیر نتیجه می‌دهد.

$$\begin{aligned}
X_{cv}(t + \Delta t) - X_{cv}(t) &= \left(1 - \frac{T_0}{T_b}\right)Q - [W - P_0(V(t + \Delta t) - V(t)) - T_0S_{gen}] \\
&+ m_i[(e_i - u_0) + P_0(v_i - v_0) - T_0(S_i - S_0)] \\
&- m_e[(e_e - u_0) + P_0(v_e - v_0) - T_0(S_e - S_0)]
\end{aligned} \tag{61-۲}$$

$$\begin{aligned}
X_{cv}(t + \Delta t) - X_{cv}(t) &= \left(1 - \frac{T_0}{T_b}\right)Q \\
&- [W - P_0(V_{cv}(t + \Delta t) + m_e v_e - v_{cv}(t) + m_i v_i)] \\
&- T_0 S_{gen} + m_i[(e_i - u_0) + P_u(v_i - v_0) - T_0(S_i - S_0)] \\
&- m_e[(e_e - u_0) + P_u(v_e - v_0) - T_0(S_e - S_0)]
\end{aligned} \tag{62-۲}$$

با تقسیم این عبارت بر Δt خواهیم داشت:

$$\frac{X_{cv}(T + \Delta T) - X_{cv}(T)}{\Delta T} \quad (63-2)$$

$$\begin{aligned}
&= \left(1 - \frac{T_a}{T_b}\right) \frac{Q}{\Delta T} \\
&- \left[\frac{W}{\Delta T} - P_0 \left(\frac{V_{cv}(T + \Delta T) - V_{cv}(T)}{\Delta T} \right) - \frac{m_e}{\Delta t} P_0 V_0 - \frac{m_i}{\Delta t} P_0 V_i \right] \\
&- T_0 \frac{S_{gen}}{\Delta t} + \frac{m_i}{\Delta t} [(e_i - u_0) + P_0(v_i - v_0) - V_0(S_i - S_0)] \\
&+ \frac{m_i}{\Delta t} [(e_i - u_0) + P_0(v_t - v_0) - t_0(S_i - S_0)]
\end{aligned}$$

با میل دادن Δt به سمت بینهایت عبارت نهایی تبدیل می‌گردد به

$$\begin{aligned}
\frac{dX_{cv}}{dt} &= \left(1 - \frac{T_0}{T_b}\right) \dot{Q} - \left[\dot{W} - P_0(\dot{m}_i v_i - \dot{m}_e v_e) - P_0 \left(\frac{dV_{cv}}{dt} \right) \right] \quad (64-2) \\
&- T_0 S_{gen} + \dot{m}_i [(e_i - u_i) + P_0(v_i - v_0) - T_0(S_i - S_0)] \\
&- m_e [(e_e - u_0) + P_0(v_e - v_0) - T_0(S_e - S_0)]
\end{aligned}$$

سپس فرض می‌شود که همه تعاملات گرمایی در مرز حجم کنترل انجام می‌گیرد، لذا:

$$\dot{Q} = \dot{Q}_{cv} \quad (65-2)$$

همچنین می‌دانیم که

$$\dot{W} = \dot{W}_{cv} + \dot{W}_f = \dot{W}_{cv} + \dot{m}_e P_e v_e - \dot{m}_i P_i v_i \quad (66-2)$$

$$e = u + \frac{V^2}{2} + gz \quad (67-2)$$

$$h = u + PV \quad (68-2)$$

با استفاده از این روابط، موازنۀ اگررژی به فرم زیر تبدیل می‌شود

$$\begin{aligned}
\frac{dX_{cv}}{dt} &= \left(1 - \frac{T_0}{T_b}\right) \dot{Q}_{cv} - \left[\dot{W}_{cv} - P_0 \left(\frac{dv_{cv}}{dt} \right) \right] \quad (69-2) \\
&- T_0 S_{gen} + \dot{m}_i [h_i - h_0 + \frac{V_i^2}{2} + gZ_i - T_0(S_i - S_0)]
\end{aligned}$$

$$-\dot{m}_e [h_e - h_0 + \frac{V_e^2}{2} + gZ_e - T_0(S_e - S_0)]$$

این معادله بهترین و مفیدترین شکل موازنۀ اگزرسی برای یک حجم کنترل یا یک سیستم باز است. سمت راست این معادله راه‌های مختلفی که از طریق آنها اگزرسی می‌تواند تغییر کند را نشان می‌دهد.

$$\left[\begin{array}{l} \text{Rate of exergy transfer} \\ \text{accompanying heat transfer} \end{array} \right] = \left(1 - \frac{T_0}{T_b} \right) \dot{Q}_{cv} \quad (70-2)$$

$$\left[\begin{array}{l} \text{Rate exergy transfer} \\ \text{accompanying work through the control volume} \end{array} \right] = \dot{W}_{cv} - P_0 \left(\frac{dV_{cv}}{dt} \right) \quad (71-2)$$

$$\left[\begin{array}{l} \text{Rate of exergy transfer accompanying} \\ \text{mass flow through the control volume} \end{array} \right] = \cdot \quad (72-2)$$

$$\begin{aligned} & \dot{m}_i [h_i - h_0 + \frac{V_i^2}{2} + gZ_i - T_0(S_i - S_0)] \\ & - \dot{m}_e [h_e - h_0 + \frac{V_e^2}{2} + gZ_e - T_0(S_e - S_0)] \end{aligned}$$

عبارات داخل کروشه، را اگزرسی جریانی مخصوص می‌نامند و با نشانگر X_{fi} نشان داده می‌شود.

$$\left[\begin{array}{l} \text{Rate of exergy transfer accompanying} \\ \text{mass flow through the control volume} \end{array} \right] = \dot{m}_i x_{fi} - \dot{m}_e x_{fe} \quad (73-2)$$

$$[\text{Rate of exergy destruction}] = T_0 \dot{S}_{gen} \quad (74-2)$$

با جمع‌بندی مطالب برای یک فرایند جریان پایدار داریم:

$$Q - W = \sum m_e \left(h_e + \frac{V_e^2}{2} + gz_e \right) - \sum m_i \left(h_i + \frac{V_i^2}{2} + gz_e \right) \quad (75-2)$$

$$\dot{S}_{gen} = \sum \dot{m}_e s_e - \sum \dot{m}_i s_i + \frac{\dot{Q}_e}{T_e} \quad (76-2)$$

$$\dot{Q}_e = \sum -\dot{Q}, T_e = T_0 \quad (77-2)$$

با حذف عبارت انتقال حرارت بین دو معادله داریم:

$$W = \sum m_i \left(h_i + \frac{V_i^2}{2} + gz_i - T_0 S_i \right) - \sum m_e \left(h_e + \frac{V_e^2}{2} + gz_e - T_0 S_e \right) - T_0 S_{gen} \quad (78-2)$$

کار برگشت‌پذیر با مساوی صفر قرار دادن آنتروپی تولید شده بدست می‌آید:

$$W_{rev} = \sum m_i \left(h_i + \frac{V_i^2}{2} + gz_i - T_0 S_i - T_0 S_i \right) - \sum m_e \left(h_e + \frac{V_e^2}{2} + gz_e - T_0 S_e \right) \quad (79-2)$$

اگر بجای حالت ۲ حالت مرده را داشته باشیم در آنصورت اگزرسی سیستم بدست می‌آید:

$$x_f = (h - h_0) - T_0(S - S_0) + \frac{V^2}{2} + gz \quad (80-2)$$

برای یک فرایند بین حالت‌های ۱ و ۲ داریم.

$$\dot{W}_{rev} = \dot{X} = \sum \dot{m}_i x_{fi} - \sum \dot{m}_i x_{fe} \quad (81-2)$$

$$\dot{I} = \dot{X} - \dot{W}_u = T_0 \dot{S}_{gen} \quad (82-2)$$

۷-۲ تکنولوژی پینچ

در اواخر دهه ۷۰، یومدا^۱ و همکارانش روش نوینی برای بهسازی فرآیندها پایه‌گذاری کردند. این گروه در فاصله زمانی ۱۹۷۸ تا ۱۹۸۲ با ارائه مفاهیم تجزیه و تحلیل فرآیندها و نمودار ترکیبی نشان دادند که چگونه می‌توان میزان یوتیلیتی مورد نیاز فرآیندها را ارزیابی کرده، سپس به بازیافت حرارتی و در نتیجه کاهش هزینه‌ها پرداخت. در همان ایام، لینهوف^۲ و همکارانش، سنتز شبکه مبدل‌های حرارتی را با هدف مصرف انرژی مورد توجه قرار داده و برخلاف گروه یومدا بر نقطه پینچ به عنوان

¹ yomeda
² Linhoff

نقطه کلیدی بازیافت حرارتی تاکید داشتند و در نتیجه نام "پینچ" را بر این تکنولوژی نهادند، که اصلی ترین تاثیر آن این بود که در عین سادگی استفاده برای مهندس، قدرت تحلیل مفهومی را ایجاد می‌نمود.

اساس تکنولوژی پینچ برمبنای اصول ترمودینامیکی بوده و اهدافی غیر از انرژی را نیز در بر می‌گیرد که از آن جمله می‌توان به هزینه سرمایه‌گذاری، قابلیت عملکرد، عملی بودن و انتشار آلودگی در محیط اشاره نمود.

استراتژی این تکنولوژی بدین صورت است که هدفها و تخمين‌ها قبل از طراحی قابل تعیین شدن هستند. با کمک مفاهیم این تکنولوژی یک مهندس می‌تواند کلیه امور را در کنترل خود داشته باشد و با استفاده از هدف‌گذاری اولیه، قابلیت عملکرد سیستم‌ها، نقشه واحدهای صنعتی، مسائل ایمنی و دیگر موارد، طراحی را به سویی ببرد که نه تنها از نظر راندمان حرارتی بالا باشد، بلکه از لحاظ صنعتی نیز قابل قبول باشد.

به عبارت دیگر آنالیز پینچ به عنوان یک روش عمومی جهت طراحی مفهومی سیستم‌های فرآیندی به کار برد و تنها به شبکه مبدل‌های حرارتی محدود نمی‌گردد.

آنالیز پینچ علاوه بر آنکه روش مناسبی جهت طراحی شبکه‌های جدید است به عبارت بهتر ابزار مناسبی جهت طراحی اولیه است، بلکه ابزار مناسبی نیز جهت اصلاح و بهینه‌سازی شبکه‌ها و طرح‌های موجود نیز می‌باشد به عبارت دیگر از ابزارهای مناسب طراحی اصلاحی نیز به شمار می‌آید.

امروزه از این تکنولوژی در بهینه‌سازی برج‌های تقطیر، کوره‌ها، سیستم‌های زیر درجه حرارت محیط، تبخیرکننده‌ها، راکتورها، توربین‌ها و نیز به وفور استفاده می‌شود.

آنالیز پینچ جهت سودمندی هرچه بیشتر در زمینه طراحی و بهینه‌سازی فرآیندها از ابزارهای

مناسبی بهره می‌برد که از مهمترین آنها می‌توان به دیاگرام شبکه، منحنی‌های ترکیبی، منحنی‌های ترکیبی جامع، نمودار نیروی محرکه، آنالیز مسائل باقی مانده و هدف‌گذاری‌های شبکه و سطح اشاره نمود.

۱-۷-۲ مفاهیم اولیه پینج

اولین مرحله از کار که در آنالیز شبکه مبدل‌های حرارتی بایستی بدان توجه نمود، شناسایی جریان‌های گرم و سرد موجود در واحد می‌باشد.

جهت آنالیز هرچه بهتر شبکه، لازم است اطلاعات مربوط به دمای جریان‌های گرم و سرد، میزان تغییرات در آنتالپی هردو جریان، گرماهای ویژه هر جریان و ضرایب حرارتی مؤثر در طراحی شبکه مبدلی به طور کامل اندازه‌گیری و مشخص گردد. سپس با توجه به مشخصات جریان‌ها و توجه به محدودیت‌ها اگر چنانچه در مرحله طراحی هستیم بایستی کمترین اختلاف دمای مناسب جهت تبادل حرارت بین جریان‌ها در شبکه مبدلی را برای شروع تخمین بزنیم، و اگر چنانچه در مرحله بهینه‌سازی شبکه موجود هستیم با توجه به اطلاعات موجود بایستی این اختلاف دما را بدست ΔT_{min} . فاکتوری بسیار با اهمیت در طراحی شبکه مبدل‌های حرارتی می‌باشد، برای تعیین دقیق آن بایستی یک بررسی اثر متقابل بین هزینه‌های اصلی و انرژی صورت پذیرد.

ΔT_{min} بسیار کوچک به معنای یک سطح انتقال حرارت یا هزینه اصلی بینهایت می‌باشد و این در حالی است که یوتیلیتی در حداقل خود قرار خواهد داشت.

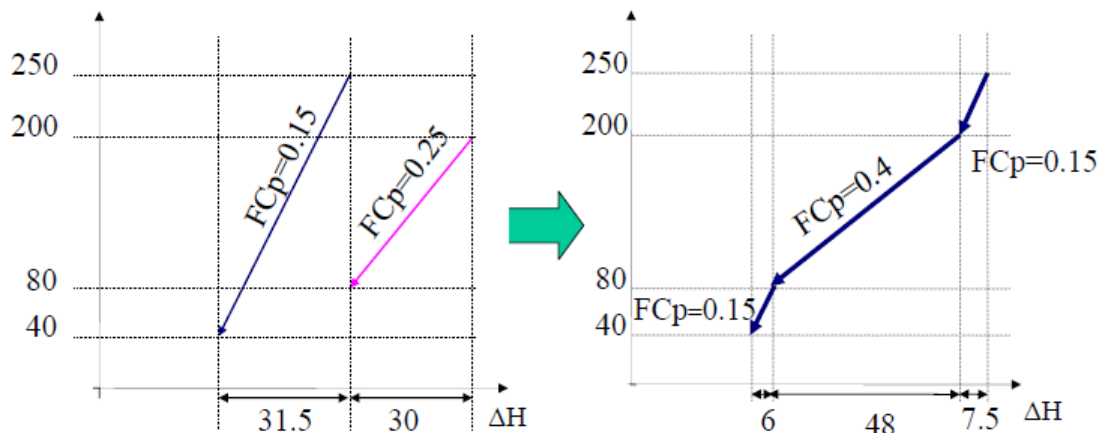
۲-۷-۲ منحنی‌های ترکیبی^۱

پس از بدست آوردن اطلاعات مربوط به جریان‌های گرم و سرد موجود در شبکه نمودار منحنی

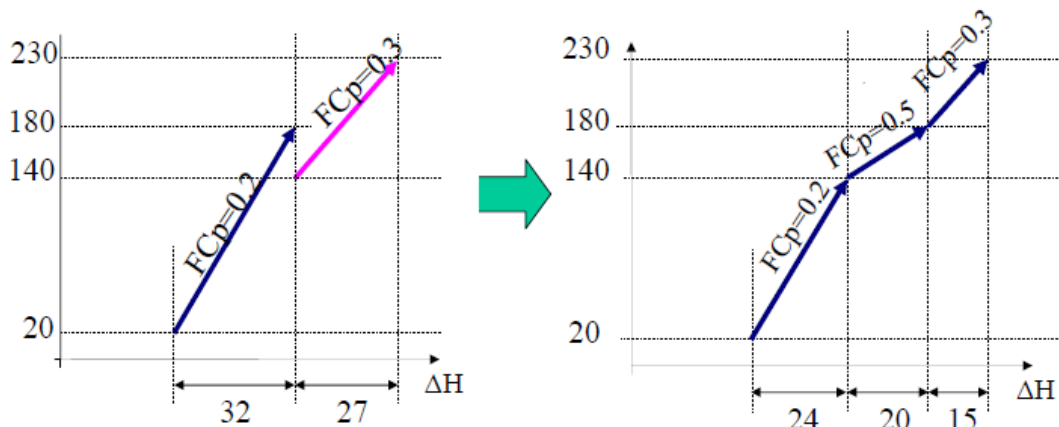
¹ Composite curves

ترکیبی را با ترسیم تغییرات دمایی بر حسب تغییرات آنتالپی و ترکیب آنها با هم بدست می‌آوریم.

نحوه ترسیم منحنی‌های ترکیبی جریان‌های گرم و سرد در درشکل (۲-۲) و شکل (۳-۲) نشان داده شده است.



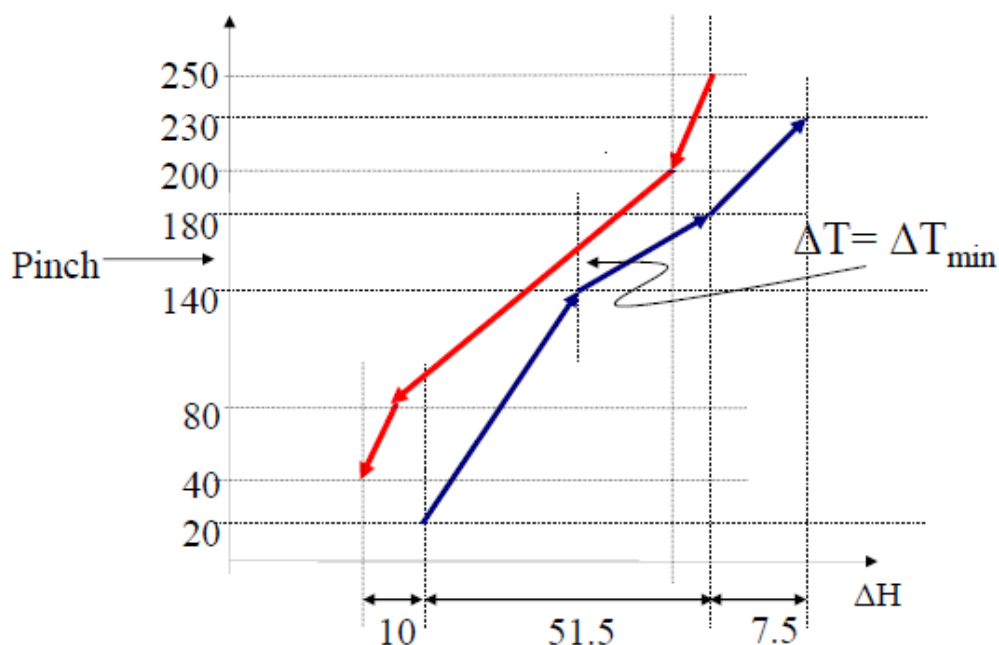
شکل (۲-۲): نحوه ترسیم نمودارهای ترکیبی جریان‌های گرم [35]



شکل (۳-۲): نحوه ترسیم نمودارهای ترکیبی جریان‌های سرد [35]

و درنهایت بعد از ترکیب منحنی‌ها، منحنی نهایی که در آن هم جریان‌های گرم و هم جریانات سرد موجود در شبکه قابل تشخیص هستند با عنوان منحنی ترکیبی شبکه بدست می‌آید که در شکل

(۴-۲) نشان داده شده است.



شکل (۴-۲): شماتیک یک نمونه منحنی ترکیبی جریان‌های گرم و سرد [35]

منحنی‌های ترکیبی این مزیت را دارند که در آنها علاوه بر آنکه ΔT_{min} قابل تشخیص می‌باشد، دمای پینچ نیز بدست می‌آید.

مهمنترین استفاده‌ای که از این منحنی می‌توان نمود آنست که به کمک آن قادر خواهیم بود تا به طور دقیق میزان یوتیلیتی‌های گرم و سرد که مورد نیاز است و باقیستی از خارج شبکه تامین شود و همچنین میزان انتقال حرارت بین فرآیندی را بدست آوردد.

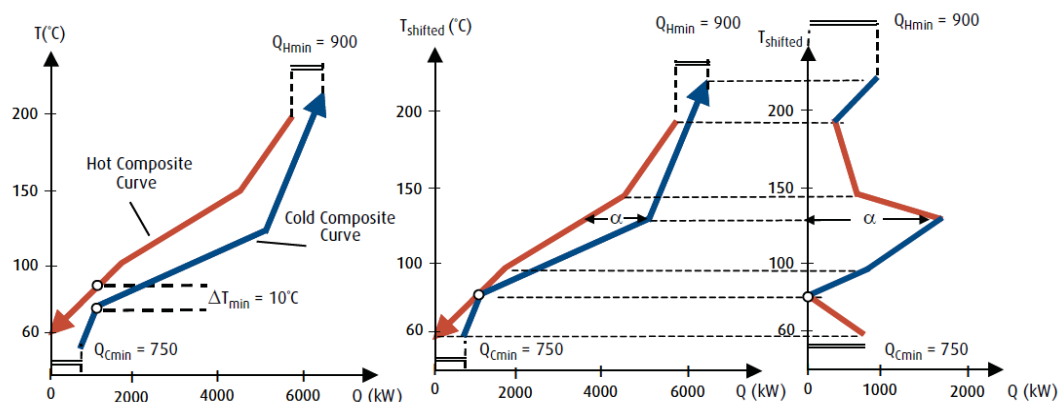
با افزودن اینتروال‌های آنتالپی در مراحل بعدی به این منحنی می‌توان حداقل مساحت شبکه مبدلي را نیز پيش‌بيين نمود. بعد از یافتن اقتصادي ترین ΔT_{min} و تعیین نقطه پینچ، به حداکثر بازيافت حرارتی دست یافته و از میزان بار یوتیلیتی‌های گرم و سرد مورد نیاز خود مطلع می‌شويم.

اگرچه منحنی‌های ترکیبی برای هدف‌گذاری انرژی استفاده می‌شوند، اما ابزار مناسبی برای انتخاب نوع یوتیلیتی و کیفیت آن نیستند. بدین منظور از منحنی‌های ترکیبی جامع استفاده می‌نماییم.

۳-۷-۲ منحنی‌های ترکیبی جامع^۱

منحنی‌های ترکیبی جامع بهترین و اختصاصی‌ترین ابزار برای توزیع مناسب یوتیلیتی‌ها و میزان انتقال حرارت بین فرآیندی بوده و ابزار بسیار مناسبی نیز جهت بهینه سازی راکتورها و سیستم‌های جداسازی نیز می‌باشد.

جهت ترسیم این نمودارها از دمای اینتروال در برابر آنتالپی اینتروال استفاده می‌شود که نحوه ترسیم آن با توجه به نمودارهای ترکیبی در شکل (۵-۲) نشان داده شده است.



شکل (۵-۲): نحوه ترسیم نمودار ترکیبی جامع [35]

¹ Grand Composite Curves

فصل سوم: بررسی و تحلیل اگزرسی کارخانه

سیمان

۱-۳ مقدمه

در فصول قبل به بررسی روش‌های تولید سیمان و نیز بیان تئوری اگزرژی پرداختیم. در این فصل ضمن بیان و شرح خط تولید سیمان، به بررسی و تحلیل اگزرژی سیستم می‌پردازیم. بر این اساس در ابتدا تجهیزات فرایند تولید سیمان مورد بررسی قرار گرفته و پس از مشخص نمودن حجم‌های کنترل، روابط حاکم بر حجم کنترل نوشته شده و به تحلیل اگزرژی پرداخته می‌شود. همچنین در هر قسمت به مطالعه‌ای موردنی خواهیم پرداخت.

در ادامه تغییرات خواص در تجهیزات مختلف و تاثیر آن‌ها بر تغییرات بازگشت‌ناپذیری و بازده‌ها بررسی خواهد شد. این امر به ما در یافتن عوامل حساس هر یک از تجهیزات کمک می‌نماید. با استفاده از نتایج این تحلیل‌ها می‌توان به نتایج مفیدی درباره اعمال راهکارهای مختلف بهبود در تجهیزات مختلف دست یافت.

راهکارهای بهبود مصرف انرژی و سوخت، بطور کلی در تمامی کارخانجات صنعتی و به ویژه در هر صنعت خاص شناخته شده می‌باشد. بعنوان مثال دودکش در سیستم‌های صنعتی محلی بالقوه جهت استفاده از حرارت خروجی آن برای مصارف گرمایش، تهیه آب گرم و یا سیستم همزمان برق و حرارت می‌باشد. این تحلیل‌ها با توجه به تاثیر این راهکارها بر بازده‌های اول و دوم و نیز بازگشت ناپذیری‌ها بررسی شده است.

در فصل دوم، تجهیزات مختلف در خط تولید شرح داده شدند. مهمترین قسمت در خط تولید، قسمت پخت یعنی واحدهای پیش گرمکن، کوره و کولر می‌باشد. با توجه به مطالب ذکر شده تحلیل اگزرژی در تجهیزات زیر انجام خواهد گرفت.

- | | |
|-------------------|----------------|
| ۱: سیلکون شماره ۴ | کولر |
| ۲: سیلکون شماره ۳ | کوره و متعلقات |
| ۳: سیلکون شماره ۱ | |
| ۴: سیلکون شماره ۲ | |
| ۵: سیلکون شماره ۵ | |
| ۶: سیلکون شماره ۶ | |

به دلیل اینکه تمامی اعداد مندرج در هندبوک‌های سیمان بر حسب کیلوگرم کلینکر می‌باشد، در اینجا نیز اعداد بر همین واحد آورده می‌شوند و تمامی محاسبات بر حسب کیلوگرم کلینکر صورت می‌پذیرد [۲۶].

۲-۳ کولر

راندمان حرارتی یک کولر با نسبت گرمایی که از کلینکر بازیافت می‌شود و برای فرایند پخت مورد استفاده قرار می‌گیرد، به کل محتوی گرمای کلینکری که کوره را ترک می‌کند، تعریف می‌شود. در این صورت راندمان حرارتی Z برابر است با:

$$Z = [(A-B)/A] * 100 \quad (1-3)$$

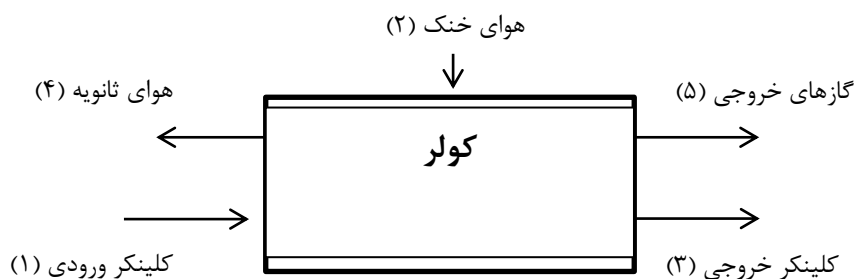
در فرمول (۱-۳) A بیانگر محتوای انرژی حرارتی کلینکر که از کوره وارد وارد می‌شود و B مجموع افت حرارتی کولر کلینکر، افت حرارتی همراه کلینکر خروجی و افت حرارتی با انتقال حرارت می‌باشد.

راندمان حرارتی کولر، در انواع مختلف در محدوده ۶۰ تا بالاتر از ۸۰٪ قرار دارد.

مقیاس دیگر برای راندمان کوره، اختلاف دمای بین کلینکر داغ وارد شونده به کولر و هوای ثانویه داغ خارج شونده از کولر است. در این صورت آن کولری دارای راندمان حرارتی بالاتری است که بر اساس عملکردش، گرمای زیادتری با هوای ثانویه به کوره وارد نماید.

۱-۲-۳ تحلیل انرژی و اگزرسی کولر

بطور کلی جریان‌های ورودی و خروجی کولر را می‌توان بصورت زیر نشان داد:



شکل (۱-۳): جریان‌های ورودی و خروجی سیستم کولر

فرضیات:

- فرآیند جریان پایدار
- از انرژی‌های پتانسیل و جنبشی صرف نظر می‌گردد.
- محیط در شرایط دمای ۲۵ درجه سیلیسیوس و فشار ۱ اتمسفر فرض می‌گردد.

۱-۱-۲-۳ قانون بقای جرم

$$\sum \dot{m}_i = \sum \dot{m}_e \quad (۲-۳)$$

چون کلینکر جامد می‌باشد بنابراین موازنۀ جرمی بصورت زیر در می‌آید :

$$\dot{m}_1 + \dot{m}_2 = \dot{m}_3 + \dot{m}_4 + \dot{m}_5 \rightarrow \begin{cases} \dot{m}_1 = \dot{m}_3 \\ \dot{m}_2 = \dot{m}_4 + \dot{m}_5 \end{cases} \quad (۳-۳)$$

۲-۱-۲-۳ قانون اول ترمودینامیک

$$\dot{Q} - \dot{W} = \sum \dot{m}_i (h_e) - \sum \dot{m}_i (h_i) \quad (۴-۳)$$

چون کاری صورت نمی‌گیرد بنابراین :

$$\dot{Q} - 0 = (m_3 h_3 + m_4 h_4 + m_5 h_5) - (m_1 h_1 + m_2 h_2) \quad (5-3)$$

در هندبوک‌های صنعت سیمان، مقادیر خواص بر حسب کیلوگرم کلینکر داده می‌شود. بنابراین پس از یکی کردن تمامی خواص بر حسب کیلوگرم کلینکر (kg-Cl) داریم:

$$Q = (h_3 + h_4 + h_5) - (h_1 + h_2) \quad (6-3)$$

مقدار Q منفی می‌گردد چرا که سیستم به محیط گرما می‌دهد.

۳-۱-۲-۳ قانون دوم ترمودینامیک و تحلیل اگررژی

برای هر جریان می‌توان نوشت:

$$x = (h - h_0) - T_0(S - S_0) \quad (7-3)$$

$$X = \dot{W}_{rev} = \sum \dot{m}_i x_i - \sum \dot{m}_e x_e \rightarrow X = W_{rev} = \sum x_i - \sum x_e \quad (8-3)$$

$$I = \dot{W}_{rev} - \dot{W}_u = T_0 \dot{S}_{gen} \quad (9-3)$$

چون در سیستم کولر هیچ کاری انجام نمی‌شود بنابراین مقادیر کاربرگشت‌پذیر و بازگشت‌ناپذیری با هم برابرند.

$$I = x = W_{rev} = \sum x_i - \sum x_e \quad (10-3)$$

۴-۱-۲-۳ بازده قانون اول

بازده قانون اول یک کولر با نسبت تغییرات حرارتی کلینکر به کل انرژی که وارد سیستم می‌گردد، تعریف می‌گردد.

بنابراین:

$$\eta = \frac{h_{Cl,in} - h_{Cl,out}}{q_{in}} * 100 \quad (11-3)$$

که در آن $h_{Cl,in}$ ، آنتالپی کلینکر ورودی به کولر، $h_{Cl,out}$ آنتالپی کلینکر خروجی از کولر و q_{in}

کل انرژی ورودی به سیستم می‌باشد.

۱-۲-۳ بازده قانون دوم

برای سیستم کولر بازده قانون دوم بصورت زیر تعریف می‌گردد.

$$\Psi = \left(1 - \frac{x_{out}}{x_{in}}\right) * 100 \quad (12-3)$$

که در آن x_{in} برابر است با اگزرسی ورودی به سیستم و x_{out} بیانگر میزان اگزرسی خروجی از سیستم می‌باشد.

با توجه به روابط بالا به تحلیل موردی می‌پردازیم.

۲-۲-۳ مطالعه موردی سیستم کولر

مشخصات زیر را برای سیستم کولر داریم:

جدول (۱-۳): جدول مشخصات کولر

کولر			
	K	دما	۱۶۲۳/۰۰
کلینکر ورودی	KJ/Kg-Cl.K	گرمای ویژه	۱/۱۲
	KJ/Kg-Cl	آنالپی	۳۰۳۰/۰۰
	KJ/Kg-Cl	آنالپی اولیه	۱۵۴۶/۰۰
هوای ورودی به کولر	K	دما	۲۹۸/۰۰
	Kpa	فشار	۱۰۵/۷۴
	m³/Kg-Cl	دبی	۱/۲۷
	KJ/Kg-Cl	آنالپی	۹۱/۳۱
	KJ/Kg-Cl	آنالپی اولیه	۹۱/۳۱
کلینکر خروجی	K	دما	۳۷۳/۰۰
	KJ/Kg-Cl.K	گرمای ویژه	۱/۱۰
	KJ/Kg-Cl	آنالپی	۱۶۲۸/۵۰
	KJ/Kg-Cl	آنالپی اولیه	۱۵۴۶/۰۰
هوای ورودی به دودکش	K	دما	۵۴۳
	Kpa	فشار	۱۰۳/۲۹

	$m^3/Kg-Cl$	دبی	۱/۷۴
	$KJ/Kg-Cl.K$	گرمای ویژه	۲/۶۰
	$KJ/Kg-Cl$	آنالپی	۵۹۴/۵۰
	$KJ/Kg-Cl$	آنالپی اولیه	۶۱/۵۰
هوای ورودی به کوره	K	دما	۹۷۳/۰۰
	Kpa	فشار	۱۰۸/۱۹
	$m^3/Kg-Cl$	دبی	۰/۸۴
	$KJ/Kg-Cl.K$	گرمای ویژه	۱/۲۳
	$KJ/Kg-Cl$	آنالپی	۸۶۰/۲۵
	$KJ/Kg-Cl$	آنالپی اولیه	۳۰/۰۰
محیط	K	دما محیط	۲۹۸/۰۰
	Kpa	فشار محیط	۱۰۱/۳۳

با توجه به موارد عنوان شده جداول زیر بدست می آیند:

جدول (۲-۳): جدول نتایج قانون اول

قانون اول = بقای انرژی	Hi-He-Loss=0	$\Sigma He (KJ/Kg-Cl)$	$\Sigma Hi (KJ/Kg-Cl)$
		۳۰۸۳/۲۵	۳۱۲۱/۳۱
اتلافات	Loss (KJ/Kg-Cl)		۳۸/۰۶

جدول (۳-۳): جدول نتایج تحلیل اگزرسی

تحلیل اگزرسی		$H(T)$ (KJ/Kg-Cl)	$H(T_0)$ (KJ/Kg-Cl)	$S-S_0$ (KJ/Kg-Cl.K)	$X (KJ/Kg-Cl)$
	کلینکر ورودی	۳۰۳۰/۰۰	۱۵۴۶/۰۰	۱/۹۰	۹۱۸/۳۰
	هوای ورودی	۹۱/۳۱	۹۱/۳۱	-۰/۰۲	۵/۷۲
	جمع ورودی	۳۱۲۱/۳۱	۱۶۳۷/۳۱	۱/۸۸	۹۲۴/۰۲
	کلینکر خروجی	۱۶۲۸/۵۰	۱۵۴۶/۰۰	۰/۲۵	۸/۹۱
	هوای ثانویه	۸۶۰/۲۵	۳۰/۰۰	۱/۴۵	۳۹۸/۳۶
	گازهای خروجی	۴۵۳/۵۰	۶۱/۵۰	۱/۳۵	۱۲۹/۴۳
	جمع خروجی	۳۰۸۳/۲۵	۱۶۳۷/۵۰	۳/۰۵	۵۳۶/۷۰
کار برگشت پذیر=Xe-Xi=بازگشت ناپذیری					۳۸۷/۳۲

جدول (۴-۳): جدول نتایج بازده اول و دوم کولر

تحلیل بازدهی	بازده قانون اول	٪
	۴۴/۹۰	
	بازده قانون دوم	
	۴۱/۹۲	

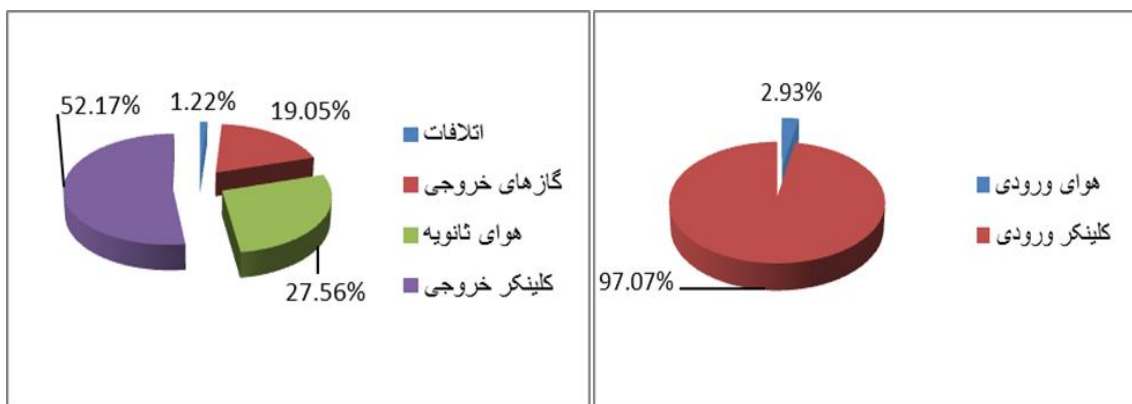
۳-۲-۳ تحلیل سیستم کولر

با تحلیل جداول، نتایج زیر بدست می‌آیند:

۱-۳-۲-۳ تحلیل انرژی

جدول (۵-۳): تحلیل انرژی سیستم کولر

تحلیل انرژی			H(T) (KJ/Kg-Cl)	آنالپی کل (KJ/Kg-Cl)	درصد نسبت آنتالپی به آنالپی کل
	آنالپی ورودی	آنالپی خروجی			
آنالپی ورودی	کلینکر ورودی		۳۰۳۰/۰۰	۳۱۲۱/۳۱	۹۷/۰۷
	هوای ورودی		۹۱/۳۱		۲/۹۳
آنالپی خروجی	کلینکر خروجی		۱۶۲۸/۵۰		۵۲/۱۷
	هوای ثانویه		۳۸/۰۶		۲۷/۵۶
	گازهای خروجی		۴۵۳/۵		۱۹/۰۵
	اتلافات		۳۸/۰۶		۱/۲۲



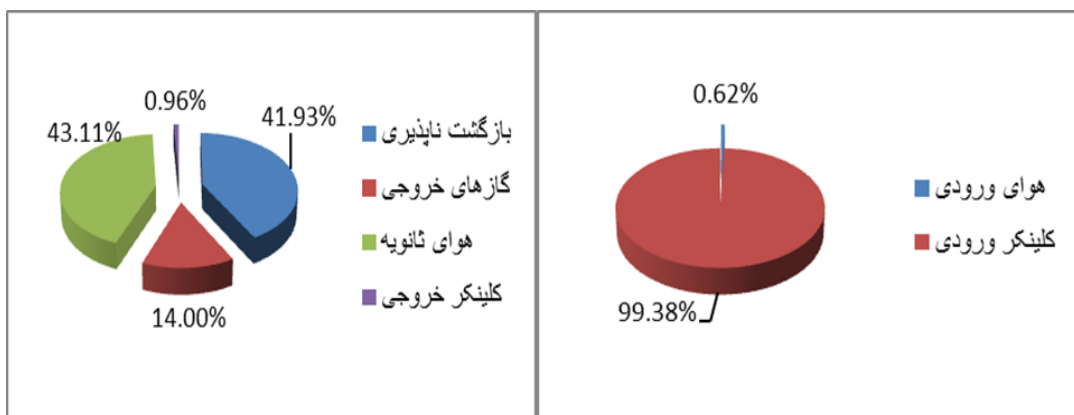
نمودار (۳-۲): درصد نسبت آنتالپی خروجی به آنتالپی کل در سیستم کولر

بیش از ۵۲٪ آنتالپی کل را در بر دارد. هوایی که از دودکش به هدر می‌رود، معادل ۱۹٪ آنتالپی را به هدر می‌دهد که کاهش هر جه بیشتر آن برای افزایش راندمان کولر مناسب است. بیش از ۲۷٪ از آنتالپی ورودی نیز وارد کوره می‌شود. افزایش این مقدار بواسطه کاهش در آنتالپی گازهای دودکش می‌تواند به افزایش راندمان کوره انجامد.

۳-۲-۳-۲-۳ تحلیل اگزرزی

جدول (۴-۳): تحلیل اگزرزی سیستم کولر

تحلیل اگزرزی			X (KJ/Kg-Cl)	اگزرزی کل (KJ/Kg-Cl)	درصد نسبت اگزرزی به اگزرزی کل
	اگزرزی ورودی	اگزرزی خروجی			
اگزرزی	کلینکر ورودی	کلینکر خروجی	۹۱۸/۳۰	۹۲۴/۰۲	۹۹/۳۸
	هوای ورودی	هوای خروجی	۵/۷۲		۰/۶۲
		گازهای خروجی	۸/۹۱		۰/۹۶
		هوای ثانویه	۳۹۸/۳۶		۴۳/۱۱
		بازگشت ناپذیری	۱۲۹/۴۳		۱۴
			۳۸۷/۳۲		۴۱/۹۳



نمودار (۳-۳): درصد اگزرسی ورودی به اگزرسی کل در سیستم کولر

کلینکر ورودی که بیش از ۹۷٪ آنتالپی ورودی را تشکیل می‌دهد، بیش از ۹۹٪ اگزرسی ورودی را نیز تشکیل می‌دهد. همچنین ۱۴٪ اگزرسی توسط گازهای دودکش به هدر می‌روند. ۴۳٪ نیز بهمراه گازهای ثانویه وارد کوره می‌شوند.

۴-۲-۳ تحلیل حساسیت در سیستم کولر

در این قسمت تغییرات در دمای هوای محیط، تغییرات در دمای گازهای خروجی و تغییر در دمای کلینکر خروجی بر روی عملکرد کولر مورد بررسی قرار خواهد گرفت.

۱-۴-۲-۳ تغییر در دمای محیط

کارخانجات سیمان کشور در مناطق آب و هوایی مختلفی ایجاد شده‌اند. تاثیر هوای محیط بر تغییرات بازگشت‌ناپذیری، بازده قانون اول و دوم در جداول و زیر نمایش داده شده است.

جدول (۷-۳): تاثیر تغییرات دمای محیط بر بازگشت ناپذیری‌ها، بازده‌های اول و دوم

دما (K)	بازگشت ناپذیری (KJ/Kg-Cl)	بازده قانون اول (%)	بازده قانون دوم (%)
۲۸۸/۰۰	۳۷۵/۱۵	۴۴/۷۵	۳۹/۷۷
۲۹۳/۰۰	۳۸۱/۴۰	۴۴/۸۲	۴۰/۸۵
۲۹۸/۰۰	۳۸۷/۳۲	۴۴/۹۰	۴۱/۹۲
۳۰۳/۰۰	۳۹۲/۹۲	۴۴/۹۸	۴۲/۹۶

۲-۴-۲-۳ تغییر در دمای هوای خروجی از دودکش

هوا با دمای بالایی از دودکش در کارخانجات سیمان خارج می‌شود. این هوا پتانسیل بالقوه زیادی (بعثت دمای بالای محصولات خروجی) جهت بهبود مصرف انرژی دارد. راهکارهایی همچون استفاده از این حرارت برای گرمایش، تهیه آبگرم مصرفی فرایند و کارخانه، سیستم همزمان برق و حرارت (CHP) و تولید بخار مطرح شده است.

در این قسمت با بررسی تغییرات دمای هوای خروجی بر سیستم کولر، بازگشتناپذیری‌ها، بازده اول و دوم سیستم محاسبه می‌شود. نتایج تغییرات در جدول زیر خلاصه شده‌اند.

جدول (۸-۳): تاثیر تغییرات دمای هوای خروجی از دودکش بر بازگشت ناپذیری‌ها، بازده‌های اول و دوم

دما (K)	بازگشت ناپذیری (KJ/Kg-Cl)	بازده قانون اول (%)	بازده قانون دوم (%)
۴۹۵/۰۰	۳۹۵/۶۶	۴۴/۹۰	۴۲/۸۲
۵۰۰/۰۰	۳۹۰/۴۷	۴۴/۹۰	۴۲/۲۶
۵۰۵/۰۰	۳۸۵/۲۰	۴۴/۹۰	۴۱/۶۹
۵۱۰/۰۰	۳۷۹/۸۵	۴۴/۹۰	۴۱/۱۱
۵۱۵/۰۰	۳۷۴/۴۳	۴۴/۹۰	۴۰/۵۲

۲-۴-۲-۳ تغییر در دمای کلینکر خروجی

تاثیر دمای کلینکر خروجی بر تغییرات بازگشت ناپذیری، بازده قانون اول و دوم در جدول و نمودارهای زیر نمایش داده شده است.

جدول (۹-۳): تاثیر تغییرات دمای کلینکر خروجی بر بازگشت ناپذیری‌ها، بازده‌های اول و دوم

دما (K)	بازگشت ناپذیری (KJ/Kg-Cl)	بازده قانون اول (%)	بازده قانون دوم (%)
۳۵۳	۳۹۱/۲۵	۴۵/۶۱	۴۲/۳۴

۳۶۳	۳۸۹/۴۱	۴۵/۲۵	۴۲/۱۴
۳۷۳	۳۸۷/۳۲	۴۴/۹۰	۴۱/۹۲
۳۸۳	۳۸۴/۹۹	۴۴/۵۵	۴۱/۶۶
۳۹۳	۳۸۲/۴۴	۴۴/۲۰	۴۱/۳۹

۳-۲-۴- تغییرات بازگشتناپذیری

همانگونه که مشاهده می شود با افزایش دمای محیط میزان بازگشتناپذیری ها نیز افزایش می یابد. این امر بعلت کاهش بیشتر اگررژی جریان های خروجی نسبت به جریان های ورودی می باشد. این امر نشان می دهد در آب و هوای گرمتر، میزان بازگشتناپذیری ها در سیستم کولر بیشتر است.

برای بدست آوردن نرخ تغییرات بازگشت ناپذیری با دمای محیط داریم:

$$\frac{\Delta I}{\Delta T} = \frac{398.21 - 375.15}{308 - 288} = 1.153$$

یعنی اینکه با افزایش یک درجه در دمای محیط میزان بازگشتناپذیری در سیستم کولر به اندازه ۱۵۳/۱ افزایش می یابد. افزایش بازگشتناپذیری هم به معنی هدر رفتن مقدار بیشتری انرژی مفید و بنابراین کاهش بازده قانون دوم.

با افزایش دمای هوای خروجی میزان بازگشتناپذیری ها کاهش می یابد. این امر بعلت افزایش اگررژی جریان خروجی بواسطه افزایش دمای گازهای خروجی می باشد.

در تحلیل اگررژی کلی (دمای گازها ۵۰۳ کلوین) متوجه شدیم که در سیستم کولر ۱۴٪ از کل اگررژی متعلق به هوای خروجی می باشد و در همین حال بازگشتناپذیری ها ۴۱/۹۲٪ از اگررژی کل را تشکیل می دادند. با افزایش دما به ۵۱۵ کلوین اگررژی هوای خروجی به ۱۵/۴۰٪ و بازگشتناپذیری ها به ۴۰/۵۲٪ اگررژی کل رسیدند. این افزایش در اگررژی گازهای خروجی منجر به کاهش بازگشتناپذیری ها می گردد.

با افزایش دمای کلینکر خروجی میزان بازگشت ناپذیری‌ها کاهش می‌یابد. این امر بعلت افزایش اگررژی جریان خروجی بواسطه افزایش دمای کلینکر خروجی می‌باشد.

۳-۲-۵- تغییرات بازده قانون اول

با بررسی جداول فوق مشاهده می‌شود با افزایش دمای محیط، بازده قانون اول افزایش می‌یابد.

برای بدست آوردن نرخ تغییرات بازده اول با دمای محیط داریم:

$$\frac{\Delta \eta}{\Delta T} = \frac{45.06 - 44.75}{308 - 288} = 0.015$$

یعنی اینکه با افزایش یک درجه در دمای محیط بازده اول در سیستم کولر به اندازه 0.015°C افزایش می‌یابد.

طبق تعریفی که ما از بازده قانون اول ارائه داده‌ایم (که حاصل نسبت تغییر در آنتالپی کلینکر به کل آنتالپی ورودی بود)، افزایش دمای هوای خروجی تاثیری بر بازده قانون اول ندارد.

حال با بررسی میزان تغییر آنتالپی هوای خروجی به کل آنتالپی ورودی می‌توان پارامتری را تعریف نمود که بیانگر میزان تاثیر تغییرات آنتالپی بر آنتالپی کل خروجی با توجه به تغییر دمای هوای خروجی باشد. نتایج در جدول زیر خلاصه شده‌اند:

جدول (۳-۱۰): تاثیر تغییرات دمای هوای خروجی از دودکش بر آنتالپی هوای خروجی و آنتالپی کل

دما (K)	بازگشت ناپذیری (KJ/Kg-Cl)	بازده قانون اول (%)	بازده قانون دوم (%)
۴۹۵	۳۷۳/۷	۳۰۶۲/۴۵	۱۸/۷۳
۵۰۰	۵۸۶/۷	۳۰۷۵/۴۵	۱۹/۰۸
۵۰۵	۵۹۹/۷	۳۰۸۸/۴۵	۱۹/۴۲
۵۱۰	۶۱۲/۷	۳۱۰۱/۴۵	۱۹/۷۶
۵۱۵	۶۲۵/۷	۳۱۱۴/۴۵	۲۰/۰۹

با توجه به جدول مشاهده می‌کنیم که با افزایش دمای هوای خروجی نسبت آنتالپی آن به آنتالپی خروجی کل افزایش می‌یابد. با افزایش دمای هوای خروجی میزان انرژی که این هوا از سیستم خارج می‌کند بیشتر شده و کارایی حرارتی سیستم پایین می‌آید. بعلاوه با افزایش دمای کلینکر خروجی میزان بازده قانون اول کاهش می‌یابد.

۳-۲-۴-۶- تغییرات بازده قانون دوم

تأثیر تغییر در دمای محیط، دمای هوای خروجی از دودکش و دمای کلینکر خروجی بر بازده قانون دوم در نمودار نمایش داده شده است.

با بررسی جداول مشاهده می‌شود با افزایش دمای محیط، بازده قانون دوم افزایش می‌یابد. علت این امر کاهش بیشتر اگزرژی خروجی نسبت به انرژی ورودی می‌باشد.

برای بدست آوردن نرخ تغییرات بازده دوم با دمای محیط داریم:

$$\frac{\Delta \psi}{\Delta T} = \frac{43.99 - 39.77}{308 - 288} = 0.211$$

یعنی اینکه با افزایش یک درجه در دمای محیط بازده دوم در سیستم کولر به اندازه 0.211° افزایش می‌یابد.

با افزایش دمای هوای خروجی، بازده قانون دوم کاهش می‌یابد. علت کاهش افزایش اگزرژی خروجی سیستم می‌باشد.

با افزایش دمای کلینکر خروجی، بازده قانون دوم کاهش می‌یابد. علت کاهش افزایش اگزرژی خروجی سیستم می‌باشد.

۳-۲-۴-۷- جمع بندی سیستم کولر

با انجام محاسبات و بر طبق جداول پیشین جدول زیر بدست می‌آید:

جدول (۱۱-۳): جمع بندی سیستم کولر

کولر			
تغییر در دمای محیط			
تغییر در بازگشت ناپذیری، بازده اول و دوم	$\frac{\Delta I}{\Delta T}$	$\frac{\Delta \eta}{\Delta T}$	$\frac{\Delta \Psi}{\Delta T}$
	۱/۱۵۳	۰/۰۱۵	۰/۲۱۱
تغییر در دمای گازهای خروجی			
تغییر در بازگشت ناپذیری، بازده اول و دوم	$\frac{\Delta I}{\Delta T}$	$\frac{\Delta \eta}{\Delta T}$	$\frac{\Delta \Psi}{\Delta T}$
	-۱/۰۶۲	+/۰۰۰-۰/۰۶۸	-۰/۱۱۵
تغییر در دمای کلینکر خروجی			
تغییر در بازگشت ناپذیری، بازده اول و دوم	$\frac{\Delta I}{\Delta T}$	$\frac{\Delta \eta}{\Delta T}$	$\frac{\Delta \Psi}{\Delta T}$
	-۰/۲۲۰	-۰/۰۳۵	-۰/۰۲۴

$$\left(\frac{\Delta \frac{h_{stack}}{h_{tot}}}{\Delta T} \right) = 0.068$$

همانگونه که از جدول مشخص است، تغییر در دمای محیط باعث ایجاد تغییرات بیشتری در بازده دوم می‌گردد و این پارامتر بعنوان حساس‌ترین پارامتر در مقابل این تغییرات عمل می‌نماید.

با توجه به نکاتی که در متن توضیح داده شد، تغییر در دمای گازهای خروجی از دودکش، با توجه به نوع تعریف بازده قانون اول، تاثیری در آن ندارد اما با در نظر گرفتن نسبت تغییرات آنتالپی گازهای خروجی به کل آنتالپی ورودی داریم:

$$\left(\frac{\Delta \frac{h_{stack}}{h_{tot}}}{\Delta T} \right) = 0.068$$

این تاثیر بشك منفی بوده و در واقع میزان نسبت خروج گرمای مفید را از سیستم توسط گازهای خروجی نمایش می‌دهد. در کل، تغییر در دمای هوای خروجی دودکش تاثیر بیشتری بر بازده

قانون دوم

تغییر در دمای کلینکر خروجی نسبت به بازده اول حساس‌تر است و تغییرات آن باعث ایجاد تغییرات بیشتری در بازده اول می‌گردد.

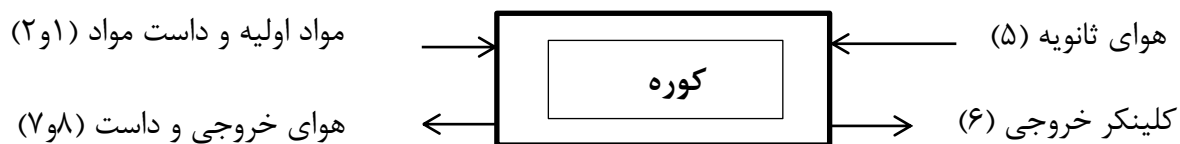
موثرترین خاصیت از نظر بازده قانون اول دمای محیط در جهت مثبت و تغییر دمای گازهای خروجی در جهت منفی می‌باشد. افزایش دمای گازهای خروجی بیشترین تاثیر منفی را بر بازده اول و بازده دوم دارد. افزایش دمای محیط بیشترین تاثیر مثبت را بر بازده دوم دارد. افزایش دمای کلینکر خروجی اگر چه بر بازده اول و بازده دوم تاثیر منفی دارد، اما نسبت تاثیر آن به دیگر خواص کمتر است.

۳-۳ کوره

در این قسمت مجموعه کوره و مشعل و تجهیزات مربوطه را بصورت یک حجم کنترل در نظر گرفته و به تجزیه و تحلیل جریان انرژی و اگزرژی در آن می‌پردازیم. در ادامه روابط حاکم بر سیستم کوره نوشته شده و نمونه‌ای موردی مطالعه می‌گردد.

در فرایندهای احتراق کامل، برگشت‌ناپذیری بشدت بالاست. در این فرایند هیچگونه کار واقعی انجام نمی‌گیرد و بنابراین کار برگشت‌پذیر و برگشت‌ناپذیری با هم برابرند. اگزرژی سوخت را تقریباً برابر ارزش حرارتی آن در نظر می‌گیرند.

۱-۳-۳ تحلیل اگزرژی سیستم کوره





شکل (۲-۳): جریان‌های ورودی و خروجی سیستم کوره

فرضیات

- فرایند جریان پایدار.
- از انرژی‌های پتانسیل و جنبشی صرف‌نظر می‌گردد.
- شرایط مرده برای سیستم دمای ۲۵ درجه و فشار ۱ اتمسفر فرض می‌گردد.

۱-۱-۳-۳ قانون بقای جرم

$$\sum \dot{m}_i = \sum \dot{m}_e \quad (13-3)$$

$$\dot{m}_1 + \dot{m}_2 + \dot{m}_3 + \dot{m}_4 + \dot{m}_5 = \dot{m}_6 + \dot{m}_7 + \dot{m}_8 \quad (14-3)$$

۲-۱-۳-۳ قانون اول ترمودینامیک

$$\dot{Q}_w = \sum \dot{m}_e (h_e) - \sum \dot{m}_i (h_i) \quad (15-3)$$

به دلیل اینکه در سیستم کوره کاری انجام نمی‌گیرد بنابراین:

$$\begin{aligned} \dot{Q} - 0 &= (\dot{m}_6 h_6 + \dot{m}_7 h_7 + \dot{m}_8 h_8) - (\dot{m}_1 h_1 + \dot{m}_2 h_2 + \dot{m}_3 h_3 + \dot{m}_4 h_4 \\ &\quad + \dot{m}_5 h_5) \end{aligned} \quad (16-3)$$

اگر تمامی موارد را بر حسب کیلوگرم کلینکر بنویسیم در آن صورت:

$$Q = (h_6 + h_7 + h_8) - (h_1 + h_2 + h_3 + h_4 + h_5) \quad (17-3)$$

مقدار Q منفی می‌گردد چرا که سیستم به محیط گرما می‌دهد.

۳-۱-۳-۳ قانون دوم و تحلیل اگزرزی

برای هر جریان می‌توان نوشت:

$$X = (h - h_0) - T_0(S - S_0) \quad (18-3)$$

$$X = \dot{W}_{rev} = \sum \dot{m}_i x_i - \sum \dot{m}_e x_e \rightarrow X = w_{rev} = \sum X_i - \sum X_e \quad (19-3)$$

چون در سیستم کوره هیچ کاری انجام نمی‌شود بنابراین:

$$\dot{I} = \dot{W}_{rev} - \dot{W}_u = T_0 \dot{S}_{gen} \rightarrow I = X = W_{rev} = \sum X_i - \sum X_e \quad (20-3)$$

۴-۱-۳-۴ بازده قانون اول

بازده قانون اول یک کوره، با نسبت تغییرات حرارتی مواد اولیه و کلینکر به کل انرژی که وارد کوره می‌گردد، تعریف می‌شود.

بنابراین :

$$\eta = \frac{h_{cli,in} - h_{cli,out}}{q_{in}} * 100 \quad (21-3)$$

که در آن $h_{cli,in}$ برابر آنتالپی مواد اولیه ورودی به کوره، $h_{cli,out}$ آنتالپی کلینکر خروجی از

کوره و q_{in} کل انرژی ورودی به کوره

۵-۱-۳-۵ بازده قانون دوم

برای سیستم کوره بازده قانون دوم بصورت زیر تعریف می‌گردد:

$$\Psi = (1 - \frac{X_{out}}{X_{in}}) * 100 \quad (22-3)$$

در فرمول (۲۳-۳)، X_{in} بیانگر میزان اگزرزی ورودی به کوره و X_{out} بیانگر میزان اگزرزی

خروجی از کوره می‌باشد.

۲-۳-۳ مطالعه موردی سیستم کوره

مشخصات زیر را داریم:

جدول (۱۲-۳): مشخصات کوره

کوره			
	K	دما	۱۰۶۳/۰۰
مواد اولیه ورودی	KJ/Kg-Cl.K	گرمای ویژه	۱/۴۵
	KJ/Kg-Cl	آنالپی	۱۹۴۱/۲۵
	KJ/Kg-Cl	آنالپی اولیه	۸۳۲/۰۰
داست ورودی	K	دما	۱۰۶۳/۰۰
	KJ/Kg-Cl.K	گرمای ویژه	۰/۱۱
	KJ/Kg-Cl	آنالپی	۲۷۵/۱۵
انرژی حرارتی [۵]	KJ/Kg-Cl	آنالپی اولیه	۱۹۱/۰۰
	K	آنالپی	۳۵۰۱/۰۰
هوای ثانویه	K	دما	۹۷۳/۰۰
	Kpa	فشار	۱۰۸/۱۹
	m ^۳ /Kg-Cl	دبی	۰/۸۴
	KJ/Kg-Cl.K	گرمای ویژه	۱/۲۳
	KJ/Kg-Cl	آنالپی	۸۶۰/۲۵
	KJ/Kg-Cl	آنالپی اولیه	۳۰/۰۰
کلینکر خروجی	K	دما	۱۶۲۳/۰۰
	KJ/Kg-Cl.K	گرمای ویژه	۱/۱۱
	KJ/Kg-Cl	آنالپی	۳۰۱۶/۷۵
	KJ/Kg-Cl	آنالپی اولیه	۱۵۴۶/۰۰
داست خروجی	K	دما	۱۶۸۳/۰۰
	KJ/Kg-Cl.K	گرمای ویژه	۰/۱۱
	KJ/Kg-Cl	آنالپی	۳۴۳/۳۵
	KJ/Kg-Cl	آنالپی اولیه	۱۹۱/۰۰
گاز خروجی	K	دما	۱۶۸۳/۰۰
	Kpa	فشار	۱۰۰/۸۳
	m ^۳ /Kg-Cl	دبی	۱/۱۶
	KJ/Kg-Cl.K	گرمای ویژه	۱/۹۷
	KJ/Kg-Cl	آنالپی	۲۹۹۱/۴۵
	KJ/Kg-Cl	آنالپی اولیه	۲۶۳/۰۰

محیط	K	دماهی محیط	۲۹۸/۰۰
	KPa	فشار محیط	۱۰۱/۳۳

بنابراین و با توجه به مباحث ارائه شده جداول زیر بدست می‌آیند:

جدول (۱۳-۳): قانون بقای انرژی در سیستم کوره

بقای انرژی	Hi-He-Loss=0	ΣHe	ΣHi
		۶۳۵۱/۵۵	۶۵۷۷/۶۵
اتلافات	Loss (KJ/Kg-Cl)	۲۲۶/۱۰	

جدول (۱۴-۳): تحلیل قانون دوم در سیستم کوره

تحلیل اگررژی	H(T)	H(T_0)	S- S_0	X
	واحد	KJ/Kg-Cl	KJ/Kg-Cl.K	KJ/Kg-Cl
	مواد اولیه	۱۹۴۱/۲۵	۸۳۲/۰۰	۱/۸۴
	داست ورودی	۲۷۵/۱۵	۱۹۱/۰۰	۰/۱۴
	انرژی حرارتی	۳۵۰۱/۰۰	-	-
	هوای ثانویه	۸۶۰/۲۵	۳۰/۰۰	۱/۴۵
	جمع ورودی	۶۵۷۷/۶۵	۲۲۱/۰۰	۱/۵۹
	کلینکر خروجی	۳۰۱۶/۷۵	۱۵۴۶/۰۰	۱/۸۸
	داست خروجی	۳۴۳/۳۵	۱۹۱/۰۰	۰/۱۹
	گاز خروجی	۲۹۹۱/۴۵	۲۶۳/۰۰	۳/۴۱
جمع خروجی		۶۳۵۱/۵۵	۲۰۰۰/۰۰	۵/۴۸
کار برگشت پذیر = بازگشت ناپذیری $= X_{i-Xe}$				۲۷۱۷/۷۱
				۱۷۸۳/۸۴

جدول (۱۵-۳): تحلیل بازده سیستم کوره

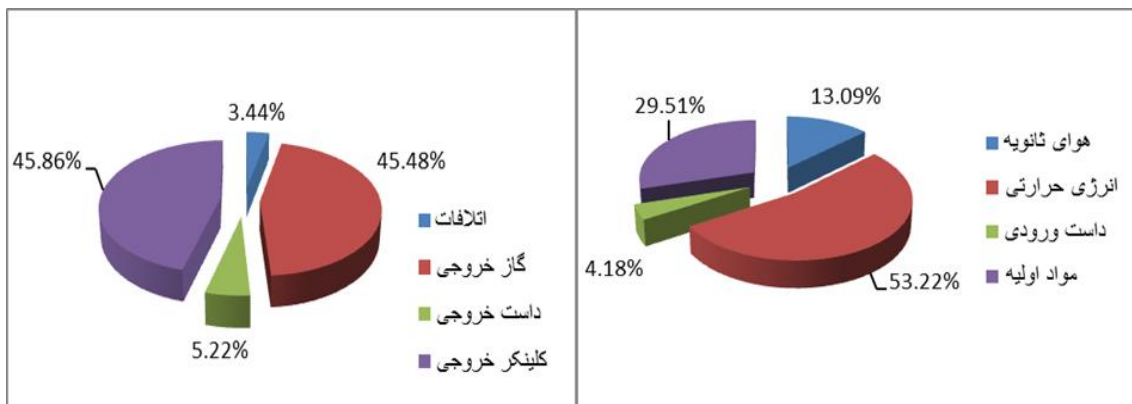
تحلیل بازدهی	بازده قانون اول	درصد
	۲۳/۲۰	
	بازده قانون دوم	

۳-۳-۳ تحلیل نتایج کوره

۱-۳-۳-۳ تحلیل انرژی

جدول (۱۶-۳): تحلیل انرژی سیستم کوره

تحلیل انرژی			H(T)	آنتالپی کل	درصد نسبت آنتالپی به آنتالپی کل
			KJ/Kg-Cl	KJ/Kg-Cl	%
	آنتالپی ورودی	مواد اولیه	۱۹۴۱/۲۵	۶۵۷۷/۶۵	۲۹/۵۱
	داست ورودی	۲۷۵/۱۵	۴/۱۸		
	انرژی حرارتی	۳۵۰۱/۰۰	۵۳/۲۲		
	هوای ثانویه	۸۶۰/۲۵	۱۳/۰۹		
	کلینکر خروجی	۳۰۱۶/۷۵	۴۵/۸۶		
	داست خروجی	۳۴۳/۳۵	۵/۲۲		
	گاز خروجی	۲۹۹۱/۴۵	۴۵/۴۸		
		اتلافات	۲۲۶/۱۰		۳/۴۴

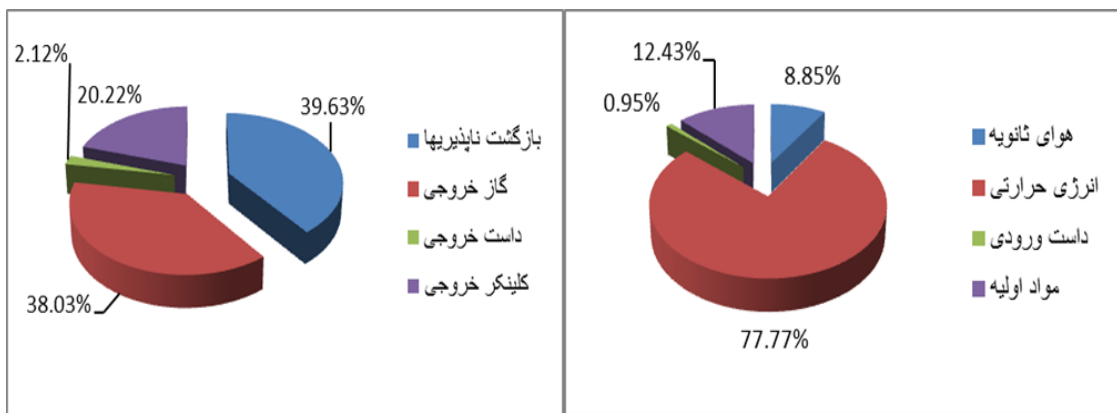


نمودار (۳-۳-۶): درصد آنتالپی ورودی به آنتالپی کل در کوره

۲-۳-۳-۳ تحلیل اگررژی

جدول (۱۷-۳): تحلیل اگررژی سیستم کوره

تحليل اگررژی			X	اگررژی کل	درصد نسبت اگررژی به اگررژی کل
		واحد	KJ/Kg-Cl	KJ/Kg-Cl	%
	اگررژی ورودی	مواد اولیه	۵۵۹/۷۲	۴۵۰.۱/۸۴	۱۲/۴۳
تحليل اگررژی	اگررژی خروجی	داست ورودی	۴۲/۴۶		۰/۹۵
		انرژی حرارتی	۳۵۰.۱/۰۰		۷۷/۷۷
		هوای ثانویه	۳۹۸/۳۶		۸/۸۵
		کلینکر خروجی	۹۱۰/۱۰		۲۰/۲۲
	اگررژی خروجی	داست خروجی	۹۵/۶۰		۲/۱۲
		گاز خروجی	۱۷۱۲/۰۱		۳۸/۰۳
		بازگشت نایزیریها	۱۷۸۳/۸۴		۳۹/۶۳



نمودار (۱۷-۳): درصد اگررژی ورودی به اگررژی کل در کوره در کوره

بیشترین درصد را در اگررژی‌های خروجی دارد. این امر بواسطه وجود فرایند احتراق در این قسمت است.

۴-۳-۳ تحلیل حساسیت در سیستم کوره

در این قسمت تغییرات در هوای محیط، تغییرات در دمای کلینکر خروجی و تغییر در دمای

هوای ثانویه ورودی مورد بررسی قرار خواهد گرفت.

۱-۴-۳-۱ تغییر در دمای محیط

تأثیر هوای محیط بر تغییرات بازگشتناپذیری، بازده قانون اول و دوم در جدول و نمودارهای زیر نمایش داده شده است.

جدول (۱۸-۳): تأثیر تغییرات دمای محیط بر بازگشتناپذیری‌ها، بازده‌های اول و دوم

دما (K)	بازگشتناپذیری (KJ/Kg-Cl)	بازده قانون اول (%)	بازده قانون دوم (%)
۲۸۸	۱۷۶۳/۲۷	۲۳/۰۶	۳۸/۸۷
۲۹۳	۵۷/۱۷۷۳	۲۳/۱۳	۳۹/۲۵
۲۹۸	۱۷۸۳/۸۴	۲۳/۲۰	۳۹/۶۳
۳۰۳	۱۷۹۴/۰۷	۲۳/۲۷	۴۰/۰۱
۳۰۸	۱۸۰۴/۲۶	۲۳/۳۴	۴۰/۳۸

۲-۴-۳-۲ تغییر دمای هوای ثانویه ورودی به کوره

تأثیر هوای ثانویه بر تغییرات بازگشتناپذیری، بازده قانون اول و دوم در جدول و نمودارهای زیر نمایش داده شده است.

جدول (۱۹-۳): تأثیر دمای هوای ثانویه بر تغییرات بازگشتناپذیری، بازده قانون اول و دوم

دما (K)	بازگشتناپذیری (KJ/Kg-Cl)	بازده قانون اول (%)	بازده قانون دوم (%)
۹۵۳	۱۷۶۶/۸۹	۲۳/۳۲	۳۹/۴۰
۹۶۳	۱۷۷۵/۳۴	۲۳/۲۶	۳۹/۵۱
۹۷۳	۱۷۸۳/۸۴	۲۳/۲۰	۳۹/۶۳
۹۸۳	۱۷۹۲/۳۷	۲۳/۱۴	۳۹/۷۴
۹۹۳	۱۸۰۰/۹۴	۲۳/۰۷	۳۹/۸۶

۳-۴-۳-۳ تغییر در دمای مواد اولیه ورودی

تأثیر مواد اولیه ورودی بر تغییرات بازگشتناپذیری، بازده قانون اول و دوم در جدول و نمودارهای زیر نمایش داده شده است.

جدول (۲۰-۳): تاثیر دمای مواد اولیه ورودی بر تغییرات بازگشتناپذیری، بازده قانون اول و دوم

دما (K)	بازگشتناپذیری (kJ/Kg-Cl)	بازده قانون اول (%)	بازده قانون دوم (%)
۱۰.۴۳	۱۷۶۱/۴۷	۲۳/۸۳	۳۹/۳۳
۱۰.۵۳	۱۷۷۲/۶۳	۲۳/۵۲	۳۹/۴۸
۱۰.۶۳	۱۷۸۳/۸۴	۲۳/۲۰	۳۹/۶۳
۱۰.۷۳	۱۷۹۵/۰۸	۲۲/۸۸	۳۹/۷۸
۱۰.۸۳	۱۸۰۶/۳۷	۲۲/۵۶	۳۹/۹۳

۴-۴-۳-۳ تغییرات بازگشتناپذیری

همانگونه که مشاهده می‌شود با افزایش دمای محیط میزان بازگشتناپذیری‌ها افزایش می‌یابد. افزایش دمای محیط باعث عملکرد حرارتی بهتر کوره شده، باعث کاهش انتقال حرارت از دیوارهای کوره شده و همچنین عملکرد بهتر احتراق را در بر دارد.

با افزایش دمای هوای ثانویه میزان بازگشتناپذیری‌ها افزایش می‌یابد. این امر بواسطه افزایش اگزرسی جریان‌های ورودی بواسطه افزایش دمای هوای ثانویه می‌باشد.

با افزایش مواد اولیه ورودی، میزان بازگشتناپذیری‌ها افزایش می‌یابد. این امر بواسطه افزایش اگزرسی جریان‌های ورودی بواسطه افزایش دمای مواد اولیه ورودی می‌باشد.

۵-۴-۳-۳ تغییرات بازده قانون اول

همانگونه که در جداول فوق مشاهده می‌شود با افزایش دمای محیط، بازده قانون اول افزایش می‌یابد. این امر بواسطه کاهش اتلافات از دیوارهای می‌باشد.

با افزایش دمای هوای ثانویه، بازده قانون اول کاهش می‌یابد و با افزایش دمای مواد اولیه ورودی، بازده قانون اول کاهش می‌یابد.

۳-۴-۶ تغییرات بازده قانون دوم

همانگونه که در جداول فوق مشاهده می‌شود با افزایش دمای هوای محیط، بازده قانون دوم افزایش می‌یابد.

با افزایش دمای هوای ثانویه، بازده قانون دوم افزایش می‌یابد. علت این امر افزایش میزان اگزرژی ورودی سیستم می‌باشد.

با افزایش دمای مواد اولیه ورودی، بازده قانون دوم افزایش می‌یابد. علت این امر افزایش میزان اگزرژی ورودی سیستم می‌باشد.

۳-۴-۷ جمع بندی سیستم کوره

با انجام محاسبات و بر طبق نمودارهای پیشین جدول زیر بدست می‌آید:

جدول (۳-۱۲): جمع بندی سیستم کوره

کوره			
تغییر در دمای محیط			
	$\frac{\Delta I}{\Delta T}$	$\frac{\Delta \eta}{\Delta T}$	$\frac{\Delta \Psi}{\Delta T}$
تغییر در بازگشتناپذیری، بازده اول و دوم	۲/۰۵۰	+۰/۱۴	+۰/۰۷۶
تغییر در دمای گازهای خروجی			
	$\frac{\Delta I}{\Delta T}$	$\frac{\Delta \eta}{\Delta T}$	$\frac{\Delta \Psi}{\Delta T}$
تغییر در بازگشت ناپذیری، بازده اول و دوم	+۰/۸۵۱	-۰/۰۰۶	+۰/۰۱۱
تغییر در دمای کلینکر خروجی			
	$\frac{\Delta I}{\Delta T}$	$\frac{\Delta \eta}{\Delta T}$	$\frac{\Delta \Psi}{\Delta T}$
تغییر در بازگشتناپذیری، بازده اول و دوم	۱/۱۲۳	-۰/۰۳۲	+۰/۰۱۵

همانگونه که از جدول مشخص است، تغییر در دمای محیط باعث ایجاد تغییرات بیشتری در بازده دوم می‌گردد و این، بعنوان حساس‌ترین پارامتر در مقابل این تغییرات عمل می‌نماید.

تغییر در دمای هوای ثانویه تاثیر بیشتری بر بازده قانون دوم دارد. تغییر در دمای مواد اولیه ورودی نسبت به بازده اول حساس‌تر است و تغییرات آن باعث ایجاد تغییرات بیشتری در بازده اول می‌گردد.

افزایش دمای مواد اولیه ورودی باعث ایجاد تغییراتی منفی در بازده اول می‌گردد. منفی بودن بازده اول بعلت تعریف ما از آن می‌باشد. اگر نسبت افزایش آنتالپی و اگزرسی مواد ورودی را به کل آنتالپی و اگزرسی ورودی محاسبه کنیم، داریم:

جدول (۲۲-۳): نسبت افزایش آنتالپی و اگزرسی مواد ورودی را به کل آنتالپی و اگزرسی ورودی

دما (K)	مواد اولیه ورودی (KJ/Kg-Cl)		کل ورودی (KJ/Kg-Cl)		نسبت مواد اولیه به کل	
	آنتالپی	اگزرسی	آنتالپی	اگزرسی	آنتالپی	اگزرسی
۱۰۴۳	۱۹۱۲/۲۵	۵۳۸/۹۳	۴۶۳۴/۲۰	۴۴۷۹/۱۷	۰/۴۱۳	۰/۱۲۰
۱۰۵۳	۱۹۲۶/۷۵	۵۴۹/۳۱	۴۶۳۵/۳۰	۴۴۹۰/۳۴	۰/۴۱۶	۰/۱۲۲
۱۰۶۳	۱۹۴۱/۲۵	۵۵۹/۷۲	۴۶۳۶/۴۰	۴۵۰۱/۵۴	۰/۴۱۹	۰/۱۲۴
۱۰۷۳	۱۹۵۵/۷۵	۵۷۰/۱۸	۴۶۳۷/۵۰	۴۵۱۲/۷۹	۰/۴۲۲	۰/۱۲۶
۱۰۸۳	۱۹۷۰/۲۵	۵۸۰/۶۷	۴۶۳۸/۶۰	۴۵۲۴/۰۸	۰/۴۲۵	۰/۱۲۸

افزایش در دمای مواد اولیه ورودی باعث افزایش آنتالپی و اگزرسی کل ورودی می‌گردد. با محاسبه نسبت تغییرات به دما داریم:

$$\text{تغییرات آنتالپی با دما} = 1/45$$

$$\text{تغییرات اگزرسی با دما} = 1/044$$

با توجه به تغییرات مثبت آنتالپی، بازده اول کاهش می‌باید و بهمین ترتیب با افزایش اگزرسی

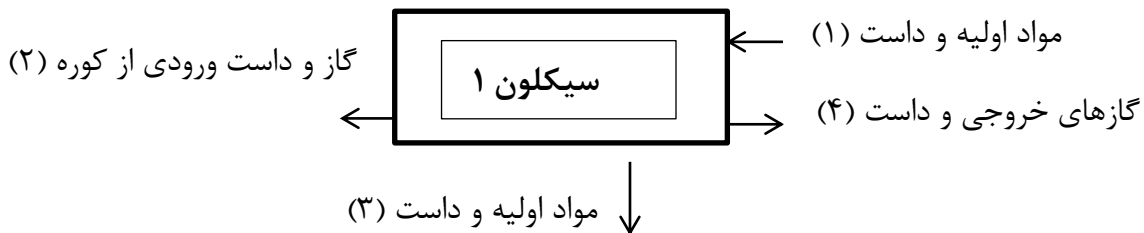
وروودی، بازده دوم افزایش می‌یابد.

موثرترین خاصیت از نظر بازده قانون اول دمای محیط در جهت مثبت و تغییر دمای مواد اولیه ورودی در جهت منفی می‌باشد. افزایش دمای محیط بیشترین تاثیر مثبت را بر بازده دوم دارد. افزایش دمای هوای ثانویه و دمای مواد اولیه باعث ایجاد تغییراتی مثبت در بازده دوم می‌گردد. که بعلت افزایش میزان اگررژی ورودی می‌باشد.

۳-۴-سیکلون شماره ۱

مبدل‌های حرارتی سیکلونی از ۴ سیکلون تشکیل شده‌اند که در بالای یکدیگر قرار دارند. برای امکان ته نشینی بهتر، سیکلون بالاتر بصورت مضاعف ساخته می‌شود. سیکلون‌ها به لوله‌های بالابرند گاز که مقطع مربعی دارند، متصل‌اند. بالاترین لوله گاز مقطع دایره دارد. سیکلون و لوله هدایت گاز، یک طبقه از انتقال حرارت را می‌سازند. در مبدل‌های حرارتی سیکلونی، انتقال حرارت در یکایک لوله‌های بالابر گاز و سیکلون‌ها در جریان مستقیم انجام می‌گیرد. زمان ته نشینی دانه‌های پودر خام در سیکلون تبادل حرارتی متناسب با مجذور قطر دانه‌ها کاهش می‌یابد با فرض اینکه دانه‌ها شکل کروی داشته باشند. زمان عبور یک دانه مواد خام از سیکلون ۴ مرحله‌ای، که ارتفاعی حدود ۵۰ متر از دریچه ورود مواد خام تا ورودی کوره دور دارد حدود ۲۵ ثانیه است. در این مدت مواد خام از حدود ۵۰ درجه به ۸۰۰ درجه سیلیسیوس گرم می‌شود، در حالی که گازهای کوره از ۱۱۰۰ درجه به ۳۳۰ درجه سرد می‌شوند.

۱-۴-۳ تحلیل انرژی و اگزرزی



شکل (۳-۳): جریان‌های ورودی و خروجی سیستم سیکلون

فرضیات:

- فرایند جریان پایدار.
- از انرژی‌های پتانسیل و جنبشی صرف نظر می‌شود.
- شرایط مرده سیستم (محیط) برابر ۲۵ درجه سیلیسیوس و فشار ۱ اتمسفر است.

۱-۱-۴-۳ بقای جرم

$$\sum \dot{m}_i = \sum \dot{m}_e \rightarrow \dot{m}_1 + \dot{m}_2 = \dot{m}_3 + \dot{m}_4 \quad (24-3)$$

۲-۱-۴-۳ بقای انرژی

$$\begin{aligned} \dot{Q} - \dot{W} &= \sum \dot{m}_e \left(h_e + \frac{V_e^2}{2} + gZ_e \right) - \sum \dot{m}_i \left(h_i + \frac{V_i^2}{2} + gZ_i \right) \rightarrow \dot{Q} \\ &= (\dot{m}_3 h_3 + \dot{m}_4 h_4) - (\dot{m}_1 h_1 + \dot{m}_2 h_2) \end{aligned} \quad (25-3)$$

چون در سیستم سیکلون کاری انجام نمی‌شود بنابراین عبارت کار برابر صفر می‌باشد. اگر تمامی

موارد را بر حسب کیلوگرم کلینکر بیاوریم در اینصورت :

$$Q = (h_3 + h_4) - (h_1 + h_2) \quad (26-3)$$

مقدار Q منفی خواهد شد چرا که سیستم به محیط گرمایی دهد.

۳-۱-۴-۳ قانون دوم ترمودینامیک و تحلیل اگزرزی

$$\dot{S}_{\text{gen, cv}} = \sum \dot{m}_e \dot{s}_e - \sum \dot{m}_i \dot{s}_i + \sum \frac{\dot{Q}_e}{T_e} \quad (27-3)$$

$$\dot{S}_{\text{gen, cv}} = (\dot{m}_3 \dot{s}_3 + \dot{m}_4 \dot{s}_4) - (\dot{m}_2 \dot{s}_2 + \dot{m}_1 \dot{s}_1) - \frac{\dot{Q}_e}{T_e} \quad (28-3)$$

با نوشتن موارد بر حسب کیلوگرم کلینکر داری:

$$\dot{S}_{\text{gen, cv}} = (\dot{s}_3 + \dot{s}_4) - (\dot{s}_2 + \dot{s}_1) - \frac{\dot{Q}_e}{T_e} \quad (29-3)$$

$$X = (h - h_0) - T_0(S - S_0) \quad (30-3)$$

$$X = \dot{W}_{\text{rev}} = \sum \dot{m}_i x_i - \sum \dot{m}_e x_e \quad (31-3)$$

$$X = W_{\text{rev}} = \sum x_i - \sum x_e \quad (32-3)$$

$$\begin{aligned} \dot{I} &= \dot{W}_{\text{rev}} - \dot{W}_u = T_0 \dot{S}_{\text{gen}} \rightarrow \dot{W}_{\text{rev}} \\ &= T_0 \dot{S}_{\text{gen}} \end{aligned} \quad (33-3)$$

چون کاری انجام نمی‌شود بنابراین :

$$I = X = W_{\text{rev}} = \sum X_i - \sum X_e \quad (34-3)$$

۴-۱-۴-۳ بازده قانون اول

بازده قانون اول یک سیکلون برابر است با نسبت تغییرات حرارتی مواد اولیه ورودی و خروجی به

کل انرژی که وارد سیکلون می‌گردد.

بنابراین:

$$\eta = \frac{h_{\text{mat,out}} - h_{\text{mat,in}}}{q_{\text{in}}} \quad (35-3)$$

که در آن $h_{\text{mat,in}}$ ، آنتالپی مواد اولیه ورودی به سیکلون، $h_{\text{mat,out}}$ ، آنتالپی مواد اولیه خروجی

از سیکلون و q_{in} ، کل انرژی ورودی به سیکلون می‌باشد.

۳-۴-۵ بازده قانون دوم

برای سیستم کوره بازده قانون دوم بصورت زیر تعریف می‌گردد:

$$\Psi = \frac{x_{in} - x_{out}}{x_{in}} = 1 - \frac{x_{out}}{x_{in}} \quad (36-3)$$

در فرمول (۳۷-۳)، x_{in} بیانگر میزان اگزرزی ورودی به سیکلون و x_{out} بیانگر میزان اگزرزی خروجی از سیکلون می‌باشد.

چون جریان‌های ورودی و خروجی در تمام سیکلون‌ها شبیه هم می‌باشد، بنابراین تمامی روابط این بخش برای تمامی سیکلون‌ها معتبر بوده و در ادامه به مطالعه موردی در کارخانه سیمان مورد نظر (۴ سیکلون) می‌پردازیم.

۳-۴-۲ مطالعه موردی سیستم سیکلون

برای مطالعه سیستم سیکلون ۱ طلایعات زیر در دسترس می‌باشد

جدول (۲۳-۳): مشخصات سیکلون اول

سیکلون شماره ۱			
گازهای احتراق	K	دما	۱۶۸۳/۰۰
	KPa	فشار	۱۰۰/۸۳
	m³/Kg-Cl	دبی	۱/۱۶
	KJ/Kg-Cl.K	گرمای ویژه	۱/۹۷
	KJ/Kg-Cl	آنالپی	۲۹۹۱/۴۵
	KJ/Kg-Cl	آنالپی اولیه	۲۶۳/۰۰
مواد اولیه ورودی	K	دما	۹۳۷/۰۰
	KJ/Kg-Cl.K	گرمای ویژه	۱/۶۴
	KJ/Kg-Cl	آنالپی	۱۰۶۲/۹۶
	KJ/Kg-Cl	آنالپی اولیه	۱۵/۰۰
دادست ورودی با مواد اولیه	K	دما	۹۳۷/۰۰
	KJ/Kg-Cl.K	گرمای ویژه	۰/۵۱
	KJ/Kg-Cl	آنالپی	۶۶۶/۸۹
	KJ/Kg-Cl	آنالپی اولیه	۳۴۱/۰۰

داست ورودی با گاز	K	دما	۱۶۸۳/۰۰
	KJ/Kg-Cl.K	گرمای ویژه	۰/۱۱
	KJ/Kg-Cl	آنالپی	۳۴۳/۳۵
	KJ/Kg-Cl	آنالپی اولیه	۱۹۱/۰۰
هوای نشستی	K	دما	۲۹۸/۰۰
	KPa	فشار	۱۰۱/۳۳
	m³/Kg-Cl	دبی	۰/۰۵
	KJ/Kg-Cl	آنالپی	۲/۰۰
	KJ/Kg.Cl	آنالپی اولیه	۲/۰۰
مواد اولیه خروجی	K	دما	۱۰۶۳/۰۰
	KJ/Kg-Cl.K	گرمای ویژه	۱/۴۵
	KJ/Kg-Cl	آنالپی	۱۹۴۱/۲۵
	KJ/Kg-Cl	آنالپی اولیه	۸۳۲/۰۰
داست خروجی با مواد	K	دما	۱۰۶۳/۰۰
	KJ/Kg-Cl.K	گرمای ویژه	۰/۱۱
	KJ/Kg-Cl	آنالپی	۲۷۵/۱۵
	KJ/Kg-Cl	آنالپی اولیه	۱۹۱/۰۰
گاز خروجی	K	دما	۱۰۸۳/۰۰
	KPa	فشار	۹۹/۳۷
	m³/Kg-Cl	دبی	۱/۳۲
	KJ/Kg-Cl.K	گرمای ویژه	۲/۳۰
	KJ/Kg-Cl	آنالپی	۲۰۷۰/۵۰
	KJ/Kg-Cl	آنالپی اولیه	۲۶۵/۰۰
داست خروجی با گاز	K	دما	۱۰۸۰/۰۰
	KJ/Kg-Cl.K	گرمای ویژه	۰/۵۲
	KJ/Kg-Cl	آنالپی	۷۴۷/۶۴
	KJ/Kg-Cl	آنالپی اولیه	۳۴۱/۰۰
محیط	K	دمای محیط	۲۹۸/۰۰
	KPa	فشار محیط	۱۰۱/۳۳

جدول ۲۴-۳: بقای انرژی سیکلون اول

بقای انرژی	Hi-He-Loss=0	ΣHe	ΣHi
		۵۰۳۴/۵۴	۵۰۶۶/۶۵
اتلافات	(KJ/Kg-Cl) Loss	۳۲/۱۱	

جدول (۲۵-۳): قانون دوم ترمودینامیک در سیکلون اول

	H(T)	H(T_0)	ΔS	X
واحد	KJ/Kg-Cl	KJ/Kg-Cl	KJ/Kg-Cl.K	KJ/Kg-Cl
گازهای احتراق	۲/۴۵	۲۶۳/۰۰	۳/۴۱	۱۷۱۲/۰۱
مواد اولیه ورودی	۱۰۶۲/۹۶	۱۵/۰۰	۱/۸۸	۴۸۸/۰۹
داست مواد	۶۶۶/۸۹	۳۴۱/۰۰	۰/۵۸	۱۵۱/۷۸
داست گاز	۳۴۳/۳۵	۱۹۱/۰۰	۰/۱۹	۹۵/۶۰
نشتی	۲/۰۰	۲/۰۰	۰/۰۰	۰/۰۰
جمع ورودی	۵۰۶۶/۶۵	۸۱۲/۰۰	۶/۰۶	۲۴۴۷/۴۸
مواد اولیه خروجی	۱۹۴۱/۲۵	۸۳۲/۰۰	۱/۸۴	۵۵۹/۷۲
داست مواد	۲۷۵/۱۵	۱۹۱/۰۰	۰/۱۴	۴۲/۴۶
گاز خروجی	۲۰۷۰/۵۰	۲۶۵/۰۰	۲/۹۷	۹۲۱/۰۶
داست گاز	۷۴۷/۶۴	۳۴۱/۰۰	۰/۶۷	۲۰۷/۱۱
جمع خروجی	۵۰۳۴/۵۴	۱۶۲۹/۰۰	۵/۶۲	۱۷۳۰/۳۶
Xi-Xe				۷۱۷/۱۲
کار برگشت پذیر بازگشت ناپذیری				

جدول (۲۶-۳): تحلیل بازده سیکلون اول

تحلیل بازدهی	بازده قانون اول	درصد
	۱۷/۳۳	
	بازده قانون دوم	
	۲۹/۳۰	

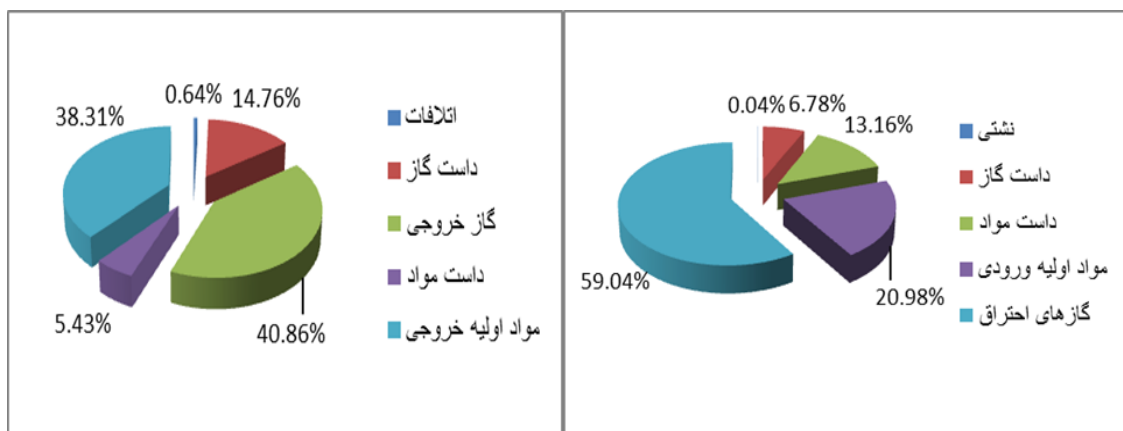
۳-۴-۳ تحلیل سیکلون اول

با تحلیل نتایج به موارد زیر می رسیم:

۳-۴-۱ تحلیل انرژی

جدول (۲۷-۳): تحلیل انرژی سیستم سیکلون اول

تحلیل انرژی		واحد	H(T)	آنتالپی کل	درصد آنتالپی به آنتالپی کل
			KJ/Kg-Cl	KJ/Kg-Cl	%
آنتالپی ورودی	گازهای احتراق	۲۹۹۱/۴۵	۵۰.۶۶/۶۵	۵۹/۰۴	۵۹/۰۴
	مواد اولیه ورودی	۱۰۶۲/۹۶			۲۰/۹۸
	داست مواد	۶۶۶/۸۹			۱۳/۱۶
	داست گاز	۳۴۳/۳۵			۶/۷۸
	نشتی	۲/۰۰			۰/۰۴
آنتالپی خروجی	مواد اولیه خروجی	۱۹۴۱/۲۵			۳۸/۳۱
	داست مواد	۲۷۵/۱۵			۵/۴۳
	گاز خروجی	۲۰۷۰/۵۰			۴۰/۸۶
	داست گاز	۷۴۷/۶۴			۱۴/۷۶
	اتلافات	۳۲/۱۱			۰/۶۴



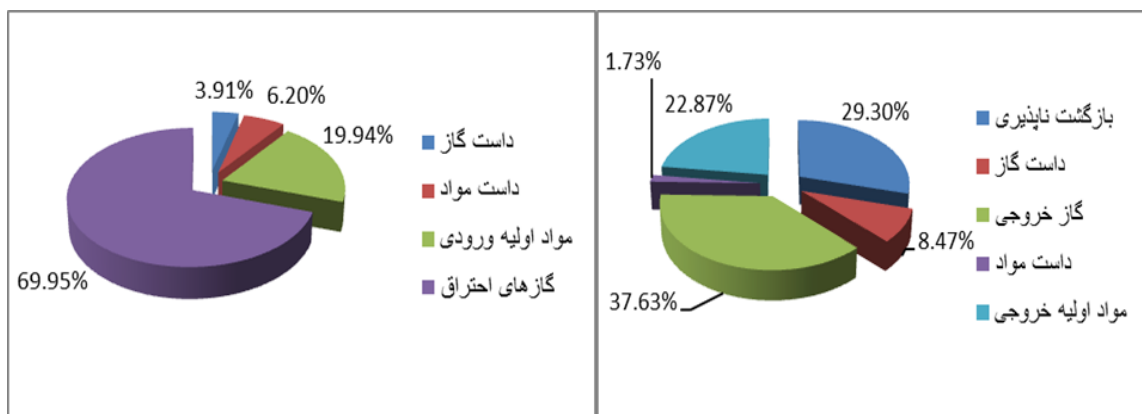
نمودار (۱۰-۳): درصد آنتالپی ورودی به آنتالپی کل در سیکلون اول

نمودار (۱۰-۳): درصد آنتالپی ورودی به آنتالپی کل در سیکلون اول

۳-۴-۲-۲ تحلیل اگزرسی

جدول (۲۸-۳): تحلیل اگزرسی سیکلون اول

تحلیل اگزرسی		واحد	X	اگزرسی کل	درصد نسبت اگزرسی به اگزرسی کل
			KJ/Kg-Cl	KJ/Kg-Cl	%
اگزرسی ورودی	اگزرسی ورودی	گازهای احتراق	۱۷۱۲/۰۱	۲۴۴۷/۴۸	۶۹/۹۵
		مواد اولیه ورودی	۴۸۸/۰۹		۱۹/۹۴
		داست مواد	۱۵۱/۷۸		۶/۲۰
		داست گاز	۹۵/۶۰		۳/۹۱
		نشستی	۰/۰۰		.
	اگزرسی خروجی	مواد اولیه خروجی	۵۵۹/۷۲		۲۲/۸۷
		داست مواد	۴۲/۴۶		۱/۷۳
		گاز خروجی	۹۲۱/۰۶		۳۷/۶۳
		داست گاز	۷۱۷/۱۲		۸/۴۷
		بازگشت ناپذیری	۷۱۷/۱۲		۲۹/۳۰



نمودار (۱۱-۳): درصد اگزرسی خروجی به اگزرسی کل در سیکلون اول

جريان ورودی مهم در این قسمت گازهای ورودی (خروجی) و مواد اولیه ورودی (خروجی) می باشد. با توجه به دمای بالای گازهای ورودی پیش بینی می شد که بازده قانون دوم در این قسمت بالا باشد. بعلت زمان کم، انتقال حرارت در این قسمت به خوبی بین مواد ورودی و خروجی صورت

نمی‌گیرد و بنابراین بازده اول پایین می‌باشد.

۴-۴-۳ تحلیل حساسیت در سیکلون اول

در این قسمت تغییرات در هوای محیط، تغییر در دمای هوای گرم ورودی و تغییر در مواد اولیه خروجی مورد بررسی قرار خواهد گرفت.

۱-۴-۴-۳ تغییر در دمای محیط

تأثیر هوای محیط بر تغییرات بازگشتناپذیری، بازده قانون اول و دوم در جدول و نمودارهای زیر نمایش داده شده است.

جدول (۲۹-۳): تأثیر دمای محیط بر تغییرات بازگشتناپذیری، بازده قانون اول و دوم

دما (K)	بازگشتناپذیری (KJ/Kg-Cl)	بازده قانون اول (%)	بازده قانون دوم (%)
۲۸۸	۷۲۰/۳۸	۱۵.۱۷	۲۸/۷۶
۲۹۳	۷۱۸/۱۹	۱۷/۲۴	۲۹/۰۳
۲۹۸	۷۱۵/۹۹	۱۷/۳۳	۲۹/۳۰
۳۰۳	۷۱۳/۷۸	۱۷/۴۳	۲۹/۵۷
۳۰۸	۷۱۱/۵۵	۱۷/۵۲	۲۹/۸۵

۲-۴-۴-۳ تغییر در دمای هوای گرم ورودی

تأثیر دمای هوای گرم ورودی بر تغییرات بازگشتناپذیری، بازده قانون اول و دوم در جدول زیر نمایش داده شده است.

جدول (۳۰-۳): تأثیر دمای گرم ورودی بر تغییرات بازگشتناپذیری، بازده قانون اول و دوم

دما (K)	بازگشتناپذیری (KJ/Kg-Cl)	بازده قانون اول (%)	بازده قانون دوم (%)
۱۶۷۰	۶۹۶/۰۶	۱۷/۴۲	۲۸/۶۹
۱۶۷۵	۷۰۴/۱۶	۱۷/۳۹	۲۸/۹۲
۱۶۸۰	۷۱۲/۲۶	۱۷/۳۵	۲۹/۱۶
۱۶۸۵	۷۲۰/۳۶	۱۷/۳۲	۲۹/۳۹

۱۶۹۰	۷۲۸/۴۷	۱۷/۲۹	۲۹/۶۳
------	--------	-------	-------

۳-۴-۴-۳ تغییر در دمای مواد اولیه خروجی

تاثیر دمای مواد اولیه خروجی بر تغییرات بازگشتناپذیری، بازده قانون اول و دوم در جدول زیر نمایش داده شده است.

جدول (۳۱-۳): تاثیر دمای مواد اولیه خروجی بر تغییرات بازگشتناپذیری، بازده قانون اول و دوم

دما (K)	بازگشتناپذیری (KJ/Kg-Cl)	بازده قانون اول (%)	بازده قانون دوم (%)
۱۰۶۰	۷۲۰/۴۹	۱۷/۲۵	۲۹/۴۴
۱۰۶۵	۷۱۴/۸۷	۱۷/۳۹	۲۹/۲۱
۱۰۷۰	۷۰۹/۲۵	۱۷/۵۴	۲۸/۹۸
۱۰۷۵	۷۰۳/۶۲	۱۷/۶۸	۲۸/۷۵
۱۰۸۰	۶۹۷/۸۹	۱۷/۸۲	۲۸/۵۲

۴-۴-۴-۴ تغییرات بازگشتناپذیری

همانگونه که از جداول مشخص است با افزایش دمای محیط میزان بازگشتناپذیری‌ها در سیکلون اول کاهش می‌یابد.

با افزایش دمای هوا گرم ورودی میزان بازگشتناپذیری‌ها در سیکلون اول افزایش می‌یابد و با افزایش دمای مواد اولیه خروجی میزان بازگشتناپذیری‌ها در سیکلون اول کاهش می‌یابد.

۴-۴-۵-۴ تغییرات بازده قانون اول

همانگونه که از جداول مشخص است با افزایش دمای محیط، بازده قانون اول افزایش می‌یابد.

با افزایش دمای هوا گرم ورودی، بازده قانون اول کاهش می‌یابد و با افزایش دمای مواد اولیه خروجی، بازده قانون اول افزایش می‌یابد.

۳-۴-۶-تغییرات بازده قانون دوم

همانگونه که از جداول مشخص است با افزایش دمای محیط، بازده قانون دوم افزایش می‌یابد.

با افزایش دمای هوای گرم ورودی، بازده قانون دوم افزایش می‌یابد و با افزایش دمای مواد اولیه خروجی، بازده قانون دوم کاهش می‌یابد.

۷-۴-۴-۳ جمع بندی سیکلون اول

با انجام محاسبات و بر طبق نمودارهای پیشین جدول زیر بدست می‌آید:

جدول (۳۲-۳): جمع بندی سیکلون اول

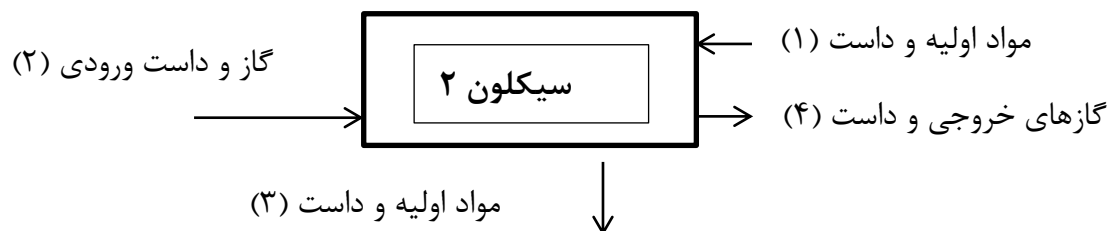
سیکلون اول			
تغییر در دمای محیط			
تغییر در بازگشتناپذیری، بازده اول و دوم	$\frac{\Delta I}{\Delta T}$	$\frac{\Delta \eta}{\Delta T}$	$\frac{\Delta \psi}{\Delta T}$
	-۰/۴۴۱	۰/۰۱۸	۰/۰۵۴
تغییر در دمای هوای گرم ورودی			
تغییر در بازگشتناپذیری، بازده اول و دوم	$\frac{\Delta I}{\Delta T}$	$\frac{\Delta \eta}{\Delta T}$	$\frac{\Delta \psi}{\Delta T}$
	۱/۶۲۱	-۰/۰۰۷	۰/۰۴۷
تغییر در دمای مواد اولیه خروجی			
تغییر در بازگشتناپذیری، بازده اول و دوم	$\frac{\Delta I}{\Delta T}$	$\frac{\Delta \eta}{\Delta T}$	$\frac{\Delta \psi}{\Delta T}$
	-۱/۱۲۶	۰/۰۲۹	-۰/۰۴۶

همانگونه که از جدول مشخص است، تغییر در دمای محیط باعث ایجاد تغییرات بیشتری در بازده دوم می‌گردد و این، بعنوان حساس‌ترین پارامتر در مقابل این تغییرات عمل می‌نماید.

تغییر در دمای هوای گرم ورودی تاثیر منفی بر بازده اول دارد. تغییر در دمای مواد اولیه خروجی نسبت به بازده دوم حساس‌تر است و تغییرات آن باعث ایجاد تغییرات منفی در بازده دوم می‌گردد.

موثرترین خاصیت از نظر بازده قانون اول دمای مواد اولیه خروجی در جهت مثبت و تغییر دمای هوای گرم ورودی در جهت منفی می‌باشد. افزایش دمای محیط بیشترین تاثیر مثبت را بر بازده دوم دارد.

۳-۵ سیکلون شماره ۲:



شکل (۴-۳): جریان‌های ورودی و خروجی سیستم سیکلون ۲

۳-۵-۱ مطالعه موردنی

برای مطالعه سیستم سیکلون ۲ اطلاعات زیر در دسترس می‌باشد:

جدول (۳۳-۳): مشخصات سیکلون دوم

سیکلون شماره ۲			
گازهای احتراق	K	دما	۱۰۸۳/۰۰
	Kpa	فشار	۹۹/۳۷
	m³/Kg-Cl	دبی	۱/۳۲
	KJ/Kg-Cl.K	گرمای ویژه	۲/۳۰
	KJ/Kg-Cl	آنالپی	۲۰۷۰/۱۹
	KJ/Kg-Cl	آنالپی اولیه	۲۶۴/۶۹
مواد اولیه ورودی	K	دما	۷۸۰/۰۰
	KJ/Kg-Cl.K	گرمای ویژه	۱/۷۱
	KJ/Kg-Cl	آنالپی	۸۲۴/۲۲
	KJ/Kg-Cl	آنالپی اولیه	۰/۰۰

دادست ورودی با مواد اولیه	K	دما	۷۸۰/۰۰
	KJ/Kg-Cl.K	گرمای ویژه	۰/۳۹
	KJ/Kg-Cl	آنالپی	۲۶۳/۸۴
	KJ/Kg-Cl	آنالپی اولیه	۷۵/۸۶
دادست ورودی با گاز	K	دما	۱۰۸۳/۰۰
	KJ/Kg-Cl.K	گرمای ویژه	۰/۵۲
	KJ/Kg-Cl	آنالپی	۷۴۹/۰۹
	KJ/Kg-Cl	آنالپی اولیه	۳۴۰/۸۹
هوای نشتشی	K	دما	۲۹۸/۰۰
	Kpa	فشار	۱۰۱/۳۳
	m³/Kg-Cl	دبی	۰/۰۵
	KJ/Kg-Cl	آنالپی	۱/۳۰
	KJ/Kg-Cl	آنالپی اولیه	۱/۳۰
مواد اولیه خروجی	K	دما	۹۳۷/۰۰
	KJ/Kg-Cl.K	گرمای ویژه	۱/۶۴
	KJ/Kg-Cl	آنالپی	۱۰۶۳/۳۷
	KJ/Kg.Cl	آنالپی اولیه	۱۵/۴۱
دادست خروجی با مواد	K	دما	۹۳۷/۰۰
	KJ/Kg-Cl.K	گرمای ویژه	۰/۵۱
	KJ/Kg-Cl	آنالپی	۶۶۶/۷۸
	KJ/Kg-Cl	آنالپی اولیه	۳۴۰/۸۹
گاز خروجی	K	دما	۹۳۷/۰۰
	Kpa	فشار	۹۷/۸۰
	m³/Kg-Cl	دبی	۱/۳۸
	KJ/Kg-Cl.K	گرمای ویژه	۲/۴۰
	KJ/Kg-Cl	آنالپی	۱۸۴۶/۱۰
	KJ/Kg-Cl	آنالپی اولیه	۳۱۲/۵۰
دادست خروجی با گاز	K	دما	۹۳۷/۰۰
	KJ/Kg-Cl.K	گرمای ویژه	۰/۳۹
	KJ/Kg-Cl	آنالپی	۳۲۵/۰۷
	KJ/Kg-Cl	آنالپی اولیه	۷۵/۸۶
محیط	K	دمای محیط	۲۹۸/۰۰
	KPa	فشار محیط	۱۰۱/۳۳

نتایج بصورت زیر بدست می‌آیند:

جدول (۳۴-۳): بقای انرژی سیکلون دوم

بقای انرژی	Hi-He-Loss=0	ΣHe	ΣHi
		۳۹۰۱/۳۲	۳۹۰۸/۶۴
اتلافات	(KJ/Kg-Cl) Loss	۷/۳۲	

جدول (۳۵-۳): تحلیل قانون دوم ترمودینامیک در سیکلون دوم

تحلیل اگزرزی		H(T)	H(T0)	ΔS	X
	واحد	KJ/Kg-Cl	KJ/Kg-Cl	KJ/Kg-Cl.K	KJ/Kg-Cl
گازهای احتراق	۲۰۷۰/۱۹	۲۶۴/۶۹	۲/۹۷	۹۲۰/۳۶	
مواد اولیه ورودی	۸۲۴/۲۲	۰/۰۰	۱/۶۵	۳۳۳/۹۰	
دادست مواد	۲۶۳/۸۴	۷۵/۸۶	۰/۳۸	۷۶/۱۵	
دادست گاز	۷۴۹/۰۹	۳۴۰/۸۹	۰/۶۷	۲۰۸/۲۴	
نشتی	۱/۳۰	۱/۳۰	۰/۰/۰	۰/۰/۰	
جمع ورودی	۳۹۰۸/۶۴	۶۸۲/۷۴	۵/۶۶	۱۵۳۸/۶۵	
مواد اولیه خروجی	۱۰۶۳/۳۷	۱۵/۴۱	۱/۸۸	۴۸۸/۰۹	
دادست مواد	۶۶۶/۷۸	۳۴۰/۸۹	۰/۵۸	۱۵۱/۷۸	
گاز خروجی	۱۸۴۶/۱۰	۳۱۲/۵۰	۲/۷۵	۷۱۴/۲۷	
دادست گاز	۳۲۵/۰۷	۷۵/۸۶	۰/۴۵	۱۱۶/۰۷	
جمع خروجی	۳۹۰۱/۳۲	۷۴۴/۶۶	۵/۶۶	۱۴۷۰/۲۱	
Xi-Xe				۶۸/۴۴	
کار برگشت پذیر = بازگشت ناپذیری					

در نتیجه داریم:

جدول (۳۶-۳): تحلیل بازده سیکلون دوم

تحلیل بازدهی	بازده قانون اول	درصد
	۶/۱۲	

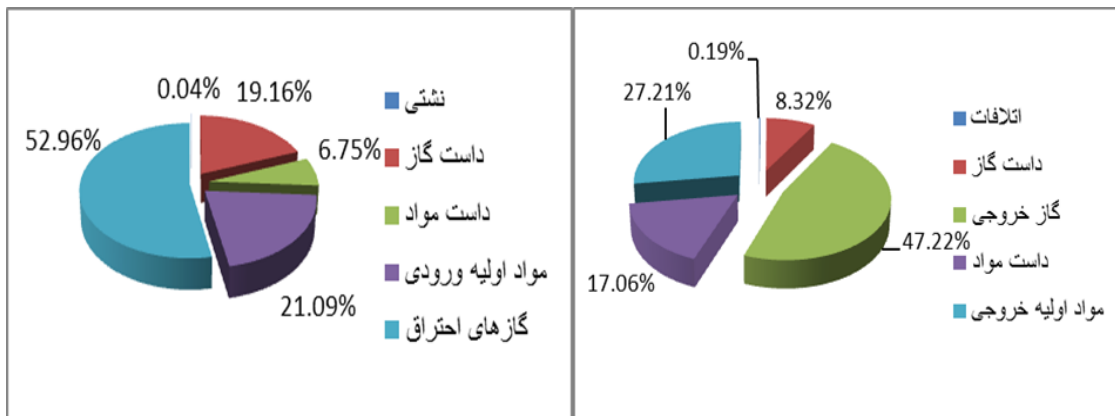
۲-۵-۳ تحلیل سیکلون دوم

با تحلیل نتایج به موارد زیر می‌رسیم:

۱-۲-۵-۳ تحلیل انرژی

جدول (۳۷-۳): تحلیل انرژی سیستم سیکلون دوم

تحلیل انرژی		H(T)	آنتالپی کل	درصد آنتالپی به آنتالپی کل
				٪
آنالیز ورودی	گازهای احتراق	۲۰۷۰/۱۹	۳۹۰۸/۶۴	۵۲/۹۶
	مواد اولیه ورودی	۸۲۴/۲۲		۲۱/۰۹
	دادست مواد	۲۶۳/۸۴		۶/۷۵
	دادست گاز	۷۴۹/۰۹		۱۹/۱۶
	نشتی	۱/۳۰		۰/۰۴
	مواد اولیه خروجی	۱۰۶۳/۳۷		۲۷/۲۱
	دادست مواد	۶۶۶/۷۸		۱۷/۰۶
	گاز خروجی	۱۸۴۶/۱۰		۴۷/۲۲
	دادست گاز	۳۲۵/۰۷		۸/۳۲
	اتلافات	۷/۳۲		۰/۱۹



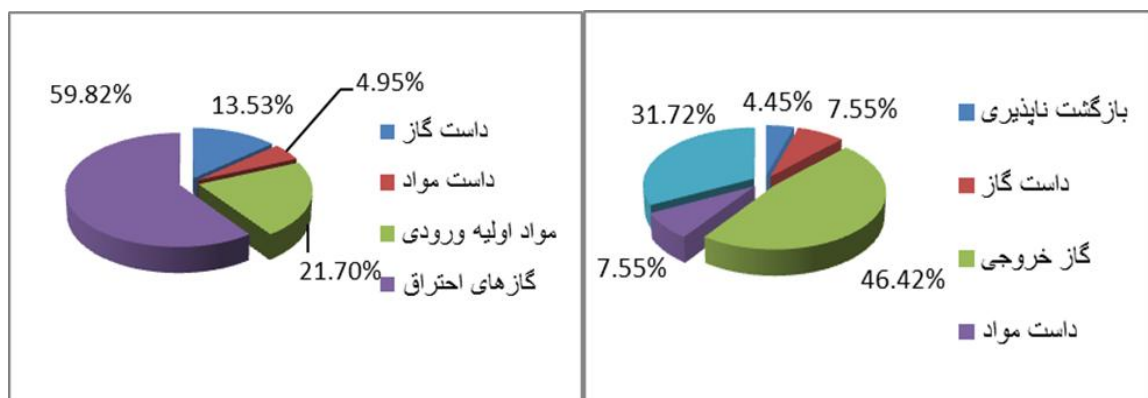
نمودار (۱۴-۳): درصد آنتالپی خروجی به آنتالپی کل در سیکلون دوم

.۱

۳-۵-۲-۲-۲ تحلیل اگزرسی

جدول (۳۸-۳): تحلیل اگزرسی سیستم سیکلون دوم

تحلیل اگزرسی		X	اگزرسی کل	درصد نسبت اگزرسی به
				اگزرسی کل
اگزرسی ورودی	واحد	KJ/Kg-Cl	KJ/Kg-Cl	%
	گازهای احتراق	۹۲۰/۳۶	۲۴۴۷/۴۸	۵۹/۸۲
	مواد اولیه ورودی	۳۳۳/۹۰		۲۱/۷۰
	داست مواد	۷۶/۱۵		۴/۹۵
	داست گاز	۲۰۸/۲۴		۱۳/۵۳
	نشتی	۰۰/۰		۰/۰
	مواد اولیه خروجی	۴۸۸/۰۹		۳۱/۷۲
	داست مواد	۱۵۱/۷۸		۹/۸۶
	گاز خروجی	۷۱۴/۲۷		۴۶/۴۲
	داست گاز	۷۱۱/۰۷		۷/۵۵
اگزرسی خروجی	بازگشت ناپذیری	۶۸/۴۴		۴/۴۵



نمودار (۳-۱۵): درصد اگزرسی خروجی به اگزرسی کل در سیکلون دوم

۳-۵-۳ تحلیل حساسیت در سیکلون دوم

در سیکلون دوم دمای گازهای ورودی نسبت به سیکلون اول و بنابراین کیفیت انرژی آن کاهش یافته است. این عامل، در کنار دمای پایین مواد اولیه ورودی موجب می‌شود بازده اول از بازده دوم بیشتر گردد. با مقایسه‌ای بین سیکلون اول و دوم ملاحظه می‌شود بازده قانون اول از ۱۷٪ به ۶٪ و بازده قانون دوم از ۲۹٪ به ۴٪ کاهش یافته است.

در این قسمت تغییرات در هوای محیط، تغییر در دمای هوای گرم ورودی و تغییر در مواد اولیه خروجی مورد بررسی قرار خواهد گرفت.

۳-۵-۳-۱ تغییر در دمای محیط

تأثیر هوای محیط بر تغییرات بازگشتناپذیری، بازده قانون اول و دوم در جدول زیر نمایش داده شده است.

جدول (۳-۳): تأثیر دمای محیط بر تغییرات بازگشتناپذیری، بازده قانون اول و دوم

دما (K)	بازگشتناپذیری (KJ/Kg-Cl)	بازده قانون اول (%)	بازده قانون دوم (%)
۲۸۸	۶۸/۴۶	۶/۰۲	۴/۲۹
۲۹۳	۶۸/۴۵	۶/۰۷	۴/۳۷
۲۹۸	۶۸/۴۴	۶/۱۲	۴/۴۵
۳۰۳	۶۸/۴۲	۶/۱۷	۴/۵۳
۳۰۸	۶۸/۴۱	۶/۲۱	۴/۶۱

۲-۳-۵-۳ تغییر در دمای هوای گرم ورودی

تأثیر هوای گرم ورودی بر تغییرات بازگشتناپذیری، بازده قانون اول و دوم در جدول زیر نمایش داده شده است.

جدول (۴۰-۳): تاثیر دمای هوای گرم ورودی بر تغییرات بازگشتناپذیری، بازده قانون اول و دوم

دما (K)	بازگشتناپذیری (KJ/Kg-Cl)	بازده قانون اول (%)	بازده قانون دوم (%)
۱۰۸۰	۶۳/۴۴	۶/۱۳	۴/۱۴
۱۰۸۵	۷۱/۷۷	۶/۱۱	۴/۶۵
۱۰۹۰	۸۰/۱۳	۶/۰۹	۵/۱۷
۱۰۹۵	۸۸/۴۹	۶/۰۸	۵/۶۸
۱۱۰۰	۹۶/۸۷	۶/۰۶	۶/۱۸

۳-۳-۵-۳ تغییر در دمای مواد اولیه خروجی

تاثیر مواد اولیه خروجی بر تغییرات بازگشت ناپذیری، بازده قانون اول و دوم در جدول زیر نمایش داده شده است.

جدول (۴۱-۳): تاثیر دمای مواد اولیه خروجی بر تغییرات بازگشت ناپذیری، بازده قانون اول و دوم

دما (K)	بازگشت ناپذیری (KJ/Kg-Cl)	بازده قانون اول (%)	بازده قانون دوم (%)
۹۰۷	۱۱۲/۰۹	۴/۸۶	۷/۲۸
۹۱۷	۹۷/۶۱	۵/۲۸	۶/۳۴
۹۲۷	۸۳/۰۶	۵/۷۰	۵/۴۰
۹۳۷	۶۸/۴۴	۶/۱۲	۴/۴۵
۹۴۰	۶۴/۰۴	۶/۲۴	۴/۱۶

۴-۳-۵-۳ تغییرات بازگشت ناپذیری

همانگونه که از جداول مشخص می‌باشد، با افزایش دمای محیط میزان بازگشت ناپذیری‌ها در سیکلون دوم کاهش می‌یابد

با افزایش دمای هوای گرم ورودی، میزان بازگشت ناپذیری‌ها در سیکلون دوم افزایش می‌یابد و با افزایش دمای مواد اولیه خروجی، میزان بازگشت ناپذیری‌ها در سیکلون دوم کاهش می‌یابد.

۵-۳-۵-۳ تغییرات بازده قانون اول

همانگونه که از جداول مشخص می‌باشد، با افزایش دمای محیط، بازده قانون اول افزایش می‌باید با افزایش دمای هوای گرم ورودی، بازده قانون اول کاهش می‌باید و با افزایش دمای مواد اولیه خروجی، بازده قانون اول افزایش می‌باید.

۶-۳-۵-۳ تغییرات بازده قانون دوم

همانگونه که از جداول مشخص می‌باشد، با افزایش دمای محیط، بازده قانون دوم افزایش می‌باید. با افزایش دمای هوای گرم ورودی، بازده قانون دوم افزایش می‌باید و با افزایش دمای مواد اولیه خروجی، بازده قانون دوم کاهش می‌باید.

۷-۳-۵-۳ جمع بندی سیکلون دوم

با انجام محاسبات و بر طبق جداول پیشین جدول زیر بدست می‌آید:

جدول (۴۲-۳): جمع بندی سیکلون دوم

کوره			
تغییر در دمای محیط			
	$\frac{\Delta I}{\Delta T}$	$\frac{\Delta \eta}{\Delta T}$	$\frac{\Delta \psi}{\Delta T}$
تغییر در بازگشت ناپذیری، بازده اول و دوم	-۰/۰۰۳	۰/۰۰۹	۰/۰۱۶
تغییر در دمای هوای گرم ورودی			
تغییر در بازگشت ناپذیری، بازده اول و دوم	۱/۶۷۲	-۰/۰۰۴	۰/۱۰۲
تغییر در دمای مواد اولیه خروجی			
تغییر در بازگشت ناپذیری، بازده اول و دوم	-۱/۴۵۶	۰/۰۴۲	-۰/۰۹۵

همانگونه که از جدول مشخص است، تغییر در دمای محیط باعث ایجاد تغییرات بیشتری در بازده دوم می‌گردد و این، بعنوان حساس‌ترین پارامتر در مقابل این تغییرات عمل می‌نماید.

تغییر در دمای هوای گرم ورودی تاثیر منفی بر بازده اول دارد و تاثیر آن بر بازده دوم مثبت و قابل توجه است.

موثرترین خاصیت از نظر بازده قانون اول دمای مواد اولیه خروجی در جهت مثبت و تغییر دمای هوای گرم ورودی در جهت منفی می‌باشد. افزایش دمای هوای گرم ورودی بیشترین تاثیر مثبت را بر بازده دوم دارد.

۳-۶-سیکلون شماره ۳:

۱-۶-۳ مطالعه موردنی

برای مطالعه سیستم سیکلون ۳ طلاءات زیر در دسترس می‌باشد:

جدول (۴۳-۳): مشخصات سیکلون سوم

سیکلون شماره ۲			
گازهای احتراق	K	دما	۹۳۷/۵۰
	Kpa	فشار	۹۷/۶۹
	m ³ /Kg-Cl	دنسی	۱/۳۶
	KJ/KgCl.K	گرمای ویژه	۲/۴۰
	KJ/Kg-Cl	آنالپی	۱۸۴۳/۳۲
	KJ/Kg-Cl	آنالپی اولیه	۲۸۰/۵۹
مواد اولیه ورودی	K	دما	۶۰۵/۵۲
	KJ/Kg-Cl.K	گرمای ویژه	۱/۴۰
	KJ/Kg-Cl	آنالپی	۴۵۶/۴۵
	KJ/Kg-Cl	آنالپی اولیه	۰۰/۰
دادست ورودی با مواد اولیه	K	دما	۶۰۵/۵۲
	KJ/Kg-Cl.K	گرمای ویژه	۰/۲۳
	KJ/Kg-Cl	آنالپی	۳۵۲/۴۸

	KJ/Kg-Cl	آنتالپی اولیه	۰/۰۰
داست ورودی با گاز	K	دما	۹۳۷/۵۰
	KJ/Kg-Cl.K	گرمای ویژه	۰/۳۰
	KJ/Kg-Cl	آنتالپی	۳۰۰/۵۰
	KJ/Kg-Cl	آنتالپی اولیه	۷۸/۱۰
هوای نشستی	K	دما	۲۹۸/۰۰
	Kpa	فشار	۱۰۱/۳۳
	m ³ /Kg-Cl	دبی	۰/۰۵
	KJ/Kg-Cl	آنتالپی	۱/۰۰
	KJ/Kg-Cl	آنتالپی اولیه	۱/۰۰
مواد اولیه خروجی	K	دما	۷۸۰/۰۰
	KJ/Kg-Cl.K	گرمای ویژه	۱/۷۱
	KJ/Kg-Cl	آنتالپی	۸۲۴/۲۲
	KJ/Kg-Cl	آنتالپی اولیه	۰۰/۰
داست خروجی با مواد	K	دما	۷۸۰/۰۰
	KJ/Kg-Cl.K	گرمای ویژه	۰/۳۹
	KJ/Kg-Cl	آنتالپی	۲۶۳/۹۸
	KJ/Kg-Cl	آنتالپی اولیه	۷۶/۰۰
گاز خروجی	K	دما	۸۰۰/۰۰
	Kpa	فشار	۹۶/۲۳
	m ³ /Kg-Cl	دبی	۱/۳۸
	KJ/Kg-Cl.K	گرمای ویژه	۲/۴۵
	KJ/Kg-Cl	آنتالپی	۱۵۴۳/۹۰
	KJ/Kg-Cl	آنتالپی اولیه	۳۱۴/۰۰
داست خروجی با گاز	K	دما	۸۰۰/۰۰
	KJ/Kg-Cl.K	گرمای ویژه	۰/۲۳
	KJ/Kg-Cl	آنتالپی	۱۲۳/۴۶
	KJ/Kg-Cl	آنتالپی اولیه	۸/۰۰
محیط	K	دما محیط	۲۹۸/۰۰
	KPa	فشار محیط	۱۰۱/۳۳

در نتیجه داریم:

جدول (۴۴-۳): بقای انرژی در سیکلون سوم

بقای انرژی	Hi-He-Loss=0	ΣHe	ΣHi
		۲۷۵۵/۵۶	۲۷۷۹/۴۶
اتلافات	(KJ/Kg-Cl) Loss	۲۳/۹۰	

جدول (۴۵-۳): تحلیل قانون دوم در سیکلون سوم

تحلیل اگزرنزی	H(T)	H(T_0)	ΔS	X
	واحد	KJ/Kg-Cl	KJ/Kg-Cl.K	KJ/Kg-Cl
	گازهای احتراق	۱۸۴۶/۶۰	۳۱۳/۰۰	۲/۷۵
	مواد اولیه ورودی	۵۲۴/۹۷	۰/۰۰	۱/۲۱
	داست مواد	۸۱/۶۸	۸/۰۰	۰.۱۷
	داست گاز	۳۲۵/۲۱	۷۶/۰۰	۰.۴۵
	نشستی	۱/۰۰	۱/۰۰	۰/۰۰
	جمع ورودی	۲۷۷۹/۴۶	۳۹۸/۰۰	۴/۵۸
	مواد اولیه خروجی	۸۲۴/۲۲	۰/۰۰	۱/۶۵
	داست مواد	۲۶۳/۹۸	۷۶/۰۰	۰/۳۸
	گاز خروجی	۲۶۳/۹۰	۳۱۴/۰۰	۲/۴۳
	داست گاز	۱۲۳/۴۶	۸/۰۰	۰/۲۳
	جمع خروجی	۲۷۵۵/۵۶	۳۹۸/۰۰	۴/۶۸
Xi-Xe				۵۱/۷۸۸
کار برگشت پذیر = بازگشت ناپذیری				

جدول (۴۶-۳): تحلیل بازده در سیکلون سوم

تحلیل بازدهی	بازده قانون اول	درصد
	۱۰/۷۷	
	بازده قانون دوم	
	۵/۱۰	

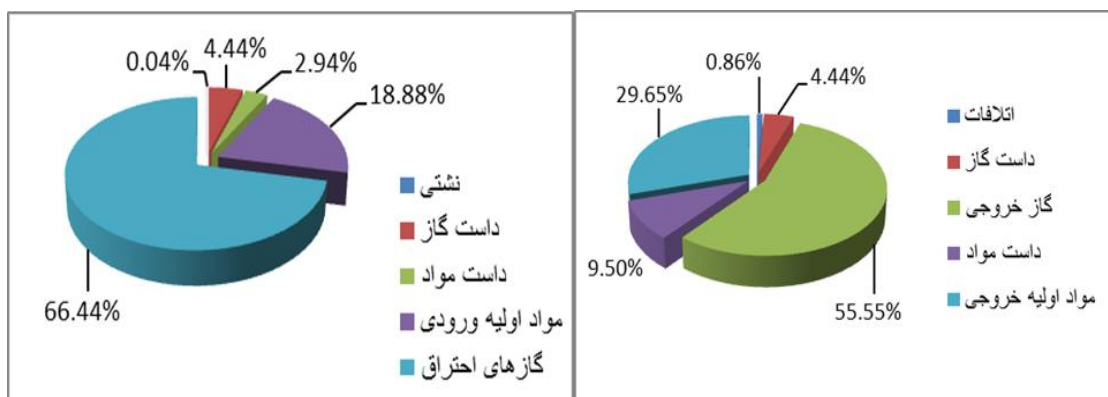
۲-۶-۳ تحلیل سیکلون سوم

با تحلیل نتایج به موارد زیر می‌رسیم:

۳-۶-۲-۱ تحلیل انرژی

جدول (۴۷-۳): تحلیل انرژی سیستم سیکلون سوم

تحلیل انرژی		واحد	H(T)	آنتالپی کل	درصد نسبت آنتالپی به آنتالپی کل
			KJ/Kg-Cl	KJ/Kg-Cl	%
آنتالپی ورودی	آنتالپی ورودی	گازهای احتراق	۱۸۴۶/۶۰	۲۷۷۹.۴۶	۶۶/۴۴
		مواد اولیه ورودی	۵۲۴/۹۷		۱۸/۸۸
		داست مواد	۸۱/۶۸		۲/۹۴
		داست گاز	۳۲۵/۲۱		۱۱/۷۰
		نشتی	۱/۰۰		۰/۰۴
	آنتالپی خروجی	مواد اولیه خروجی	۸۲۴/۲۲		۲۹/۶۵
		داست مواد	۲۶۳/۹۸		۹/۵۰
		گاز خروجی	۱۵۴۳/۹۰		۵۵/۵۶
		داست گاز	۱۲۳/۴۶		۴/۴۴
		اتلافات	۲۳/۹۰		۰/۸۶

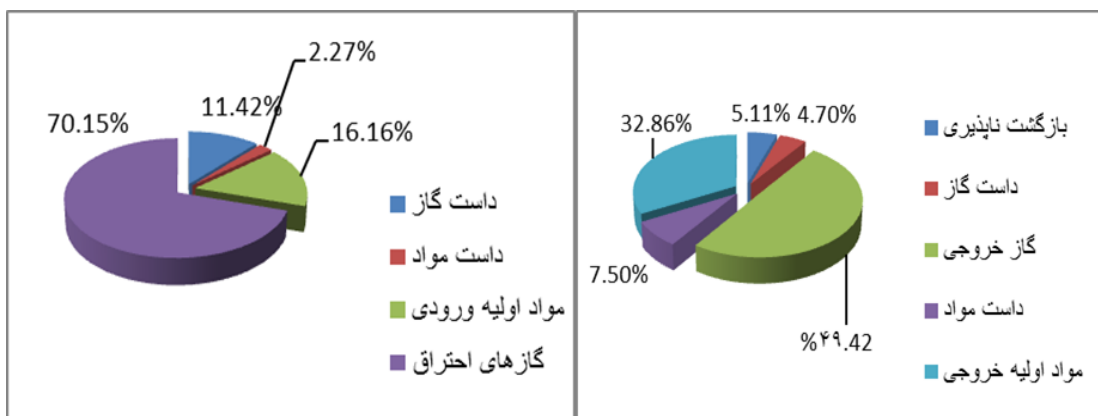


نمودار (۱۷-۳): درصد آنتالپی خروجی به آنتالپی کل در سیکلون سوم

جدول (۴۸-۳): تحلیل اگزرزی سیستم سیکلون سوم

تحلیل اگزرزی		واحد	H(T)	اگزرزی کل	درصد اگزرزی به اگزرزی کل
			KJ/Kg-Cl	KJ/Kg-Cl	%
	آنتالپی	گازهای احتراق	۷۱۲/۷۵	۱۰۱۵.۹۸	۷۰/۱۵

ورودی	مواد اولیه ورودی	۱۶۴/۱۲		۱۶/۱۶
	داست مواد	۲۳/۰۳		۲/۲۷
	داست گاز	۱۱۶/۰۷		۱۱/۴۲
	نشتی	۰/۰۰		۰/۰۰
آنتالپی خروجی	مواد اولیه خروجی	۳۳۳/۹۰		۳۲/۸۶
	داست مواد	۷۶/۱۵		۷/۵۰
	گاز خروجی	۵۰۶/۳۶		۴۹/۸۳
	داست گاز	۴۷/۷۸		۴/۷۰
	بازگشت ناپذیری	۵۱/۷۸		۵/۱۱



نمودار (۲۰-۳): درصد اگزرزی خروجی به اگزرزی کل در سیکلون سوم کل در سیکلون سوم

در سیکلون سوم بواسطه دمای پایین تر گازها و مواد نسبت به دو سیکلون اول و دوم، بازده اول افزایش می‌یابد.

بعثت دمای بالای گاز در سیکلون اول بازده‌ها بالا هستند. پس از آن در سیکلون دوم بازده‌ها کاهش دارند و به پایین ترین حد خود می‌رسند که آن بعلت دمای بالای مواد اولیه ورودی و دمای پایین گازهای ورودی می‌باشد. در سیکلون سوم بازده‌ها بعلت کاهش اختلاف دمای گازها و مواد اولیه افزایش می‌یابد و پیش بینی می‌شود در سیکلون چهارم نسبت به سیکلون سوم افزایش در بازده‌ها را شاهد باشیم.

۳-۶-۳ تحلیل حساسیت در سیکلون شماره ۳

در این قسمت تغییرات در هوای محیط، تغییر در دمای هوای گرم ورودی و تغییر در مواد اولیه خروجی مورد بررسی قرار خواهند گرفت.

۱-۳-۶-۳ تغییر در دمای محیط

تأثیر هوای محیط بر تغییرات بازگشتناپذیری، بازده قانون اول و دوم در جدول زیر نمایش داده شده است.

جدول (۳): تأثیر دمای محیط بر تغییرات بازگشتناپذیری، بازده قانون اول و دوم

دما (K)	بازگشتناپذیری (KJ/Kg-Cl)	بازده قانون اول (%)	بازده قانون دوم (%)
۲۸۸	۵۰/۸۴	۱۰/۵۹	۴/۷۸
۲۹۳	۵۱/۳۲	۱۰/۶۸	۴/۹۴
۲۹۸	۵۱/۷۸	۱۰/۷۷	۵/۱۰
۳۰۳	۵۲/۲۵	۱۰/۸۶	۵/۲۶
۳۰۸	۵۲/۷۱	۱۰/۹۵	۵/۴۳

۲-۳-۶-۳ تغییر در دمای هوای گرم ورودی

تأثیر هوای گرم ورودی بر تغییرات بازگشتناپذیری، بازده قانون اول و دوم در جدول زیر نمایش داده شده است.

جدول (۴): تأثیر دمای هوای گرم ورودی بر تغییرات بازگشتناپذیری، بازده قانون اول و دوم

دما (K)	بازگشتناپذیری (KJ/Kg-Cl)	بازده قانون اول (%)	بازده قانون دوم (%)
۹۳۰	۳۸/۴۸	۱۰/۸۴	۳/۸۴
۹۳۵	۴۷/۹۸	۱۰/۷۹	۴/۷۴
۹۴۰	۵۷/۵۰	۱۰/۷۳	۵/۶۳
۹۴۵	۶۷/۰۵	۱۰/۶۸	۶/۵۰
۹۵۰	۷۶/۶۲	۱۰/۶۳	۷/۳۶

۳-۳-۶-۳ تغییر در دمای مواد اولیه خروجی

تاثیر مواد اولیه خروجی بر تغییرات بازگشتناپذیری، بازده قانون اول و دوم در جدول زیر نمایش داده شده است.

جدول (۵۱-۳): تاثیر دمای مواد اولیه خروجی بر تغییرات بازگشتناپذیری، بازده قانون اول و دوم

دما (K)	بازگشتناپذیری (KJ/Kg-Cl)	بازده قانون اول (%)	بازده قانون دوم (%)
۷۷۰	۶۴/۷۱	۱۰/۱۵	۶/۳۷
۷۷۵	۵۸/۲۶	۱۰/۴۶	۵/۷۳
۷۸۰	۵۱/۷۸	۱۰/۷۷	۵/۱۰
۷۸۵	۴۵/۲۸	۱۱/۰۷	۴/۴۶
۷۹۰	۳۸/۷۶	۱۱/۳۸	۳/۸۱

۴-۳-۶-۳ تغییرات بازگشتناپذیری

همانگونه که از جداول مشخص می‌باشد، با افزایش دمای محیط، میزان بازگشتناپذیری‌ها در سیکلون سوم افزایش می‌یابد.

با افزایش دمای هوا گرم ورودی، میزان بازگشتناپذیری‌ها در سیکلون سوم افزایش می‌یابد و با افزایش دمای مواد اولیه خروجی، میزان بازگشتناپذیری‌ها در سیکلون سوم کاهش می‌یابد.

۵-۳-۶-۳ تغییرات بازده قانون اول

همانگونه که از جداول مشخص می‌باشد، با افزایش دمای محیط، بازده قانون اول افزایش می‌یابد.

با افزایش دمای هوا گرم ورودی، بازده قانون اول افزایش می‌یابد و با افزایش دمای مواد اولیه خروجی، بازده قانون اول افزایش می‌یابد.

۶-۳-۶-۳ تغییرات بازده قانون دوم

همانگونه که از جداول مشخص می‌باشد، با افزایش دمای هوا گرم ورودی، بازده قانون دوم

افزایش می‌یابد. این امر بواسطه افزایش در میزان اگزرسی ورودی سیستم می‌باشد.

با افزایش دمای محیط، بازده قانون دوم افزایش می‌یابد و با افزایش دمای مواد اولیه خروجی، بازده قانون دوم کاهش می‌یابد. این امر بواسطه افزایش اگزرسی خروجی می‌باشد

۷-۳-۶-۳ جمع بندی سیکلون سوم

با انجام محاسبات و بر طبق جداول پیشین جدول زیر بدست می‌آید:

جدول (۵۲-۳): جمع بندی سیکلون سوم

سیکلون سوم			
تغییر در دمای محیط			
	$\frac{\Delta I}{\Delta T}$	$\frac{\Delta \eta}{\Delta T}$	$\frac{\Delta \Psi}{\Delta T}$
تغییر در بازگشت‌ناپذیری، بازده اول و دوم	۰/۰۹۴	۰/۰۱۸	۰/۰۳۲
تغییر در دمای هوای گرم ورودی			
	$\frac{\Delta I}{\Delta T}$	$\frac{\Delta \eta}{\Delta T}$	$\frac{\Delta \Psi}{\Delta T}$
تغییر در بازگشت‌ناپذیری، بازده اول و دوم	۱/۹۰۷	-۰/۰۱۱	۰/۱۷۶
تغییر در دمای مواد اولیه خروجی			
	$\frac{\Delta I}{\Delta T}$	$\frac{\Delta \eta}{\Delta T}$	$\frac{\Delta \Psi}{\Delta T}$
تغییر در بازگشت‌ناپذیری، بازده اول و دوم	-۱/۲۹۸	۰/۰۶۲	-۰/۱۲۸

همانگونه که از جدول مشخص است، تغییر در دمای محیط باعث ایجاد تغییرات بیشتری در بازده دوم می‌گردد و این، بعنوان حساس‌ترین پارامتر در مقابل این تغییرات عمل می‌نماید.

تغییر در دمای هوای گرم ورودی تاثیر منفی بر بازده اول دارد و تاثیر آن بر بازده دوم مثبت و قابل توجه است.

تغییر در دمای مواد اولیه خروجی نسبت به بازده دوم حساس‌تر است و تغییرات آن باعث ایجاد

تغییرات منفی در آن می‌گردد.

۷-۳ سیکلون شماره ۴

۱-۷-۳ مطالعه موردنی

برای مطالعه سیستم سیکلون ۴ طلاعات زیر در دسترس می‌باشد

جدول (۵۳-۳): مشخصات سیکلون چهارم

سیکلون شماره ۴			
گازهای ورودی	K	دما	۸۰۰/۰۰
	Kpa	فشار	۹۶/۲۳
	$m^3/Kg-Cl$	دبی	۱/۳۸
	KJ/Kg-Cl.K	گرمای ویژه	۲/۵۰
	KJ/Kg-Cl	آنالپی	۱۵۶۹/۰۰
	KJ/Kg-Cl	آنالپی اولیه	۳۱۴/۰۰
مواد اولیه ورودی	K	دما	۳۵۳/۰۰
	KJ/Kg-Cl.K	گرمای ویژه	۱/۱۹
	KJ/Kg-Cl	آنالپی	۶۵/۴۵
	KJ/Kg-Cl	آنالپی اولیه	۰/۰۰
داست ورودی با مواد اولیه	K	دما	۳۵۳/۰۰
	KJ/Kg-Cl.K	گرمای ویژه	۰/۰۸
	KJ/Kg-Cl	آنالپی	۴/۴۰
	KJ/Kg-Cl	آنالپی اولیه	۰/۰۰
داست ورودی با گاز	K	دما	۸۰۰/۰۰
	KJ/Kg-Cl.K	گرمای ویژه	۰/۲۲
	KJ/Kg-Cl	آنالپی	۱۱۸/۴۴
	KJ/Kg-Cl	آنالپی اولیه	۸/۰۰
هوای نشتی	K	دما	۲۹۸/۰۰
	Kpa	فشار	۱۰۱/۳۳
	$m^3/Kg-Cl$	دبی	۰/۰۴
	KJ/Kg-Cl	آنالپی	۱/۳۰
	KJ/Kg-Cl	آنالپی اولیه	۱/۰۰
مواد اولیه خروجی	K	دما	۶۰۵/۰۰

	KJ/Kg-Cl.K	گرمای ویژه	۱/۷۲
	KJ/Kg.Cl	آنالپی	۵۲۸/۰۴
	KJ/Kg-Cl	آنالپی اولیه	۰/۰۰
داست خروجی با مواد	K	دما	۶۰۵/۰۰
	KJ/Kg-Cl.K	گرمای ویژه	۰/۲۳
	KJ/Kg-Cl	آنالپی	۷۵/۶۱
	KJ/Kg-Cl	آنالپی اولیه	۵/۰۰
گاز خروجی	K	دما	۶۱۸/۰۰
	Kpa	فشار	۹۳/۰۹
	m³/Kg-Cl	دبی	۱/۴۶
	KJ/Kg-Cl.K	گرمای ویژه	۲/۵۳
	KJ/Kg-Cl	آنالپی	۱۱۱۵/۶۰
	KJ/Kg-Cl	آنالپی اولیه	۳۰۶/۰۰
داست خروجی با گاز	K	دما	۶۱۸/۰۰
	KJ/Kg-Cl.K	گرمای ویژه	۰/۱۰
	KJ/Kg-Cl	آنالپی	۳۲/۰۰
	KJ/Kg-Cl	آنالپی اولیه	۰/۰۰
محیط	K	دمای محیط	۲۹۸/۰۰
	KPa	فشار محیط	۱۰۱/۳۳

در نتیجه داریم:

جدول (۵۴-۳): بقای انرژی در سیکلون چهارم

بقای انرژی	Hi-He-Loss=0	ΣHe	ΣHi
		۱۷۵۱/۲۵	۱۷۵۸/۲۹
اتلافات	(KJ/Kg-Cl) Loss	۷/۰۴	

جدول (۵۵-۳): تحلیل قانون دوم در سیستم سیکلون چهارم

تحلیل اگزرسی		H(T)	H(T_0)	ΔS	X
	واحد	KJ/Kg-Cl	KJ/Kg-Cl	KJ/Kg-Cl.K	KJ/Kg-Cl
	گازهای احتراق	۱۵۶۹/۰۰	۳۱۴/۰۰	۲/۴۸	۵۱۶/۷۵
	مواد اولیه ورودی	۶۵/۴۵	۰/۰۰	۰/۲۰	۵/۳۹
	داست مواد	۴/۴۰	۰/۰۰	۰/۰۱	۰/۳۶

	داست گاز	۱۱۸/۴۴	۸/۰۰	۰/۲۲	۴۵/۷۰
	نشتی	۱/۰۰	۱/۰۰	۰/۰۰	۰/۰۰
	جمع ورودی	۱۷۵۸/۲۹	۳۲۳/۰۰	۲/۹۱	۵۶۸/۱۹
	مواد اولیه خروجی	۵۲۸/۰۴	۰/۰۰	۱/۲۲	۱۶۵/۰۸
	داست مواد	۷۵/۶۱	۵/۰۰	۰/۱۶	۲۲/۰۷
	گاز خروجی	۱۱۱۵/۶۰	۳۰۶/۰۰	۱/۸۵	۲۵۹/۶۸
	داست گاز	۳۲/۰۰	۰/۰۰	۰/۰۷	۱۰/۲۶
	جمع خروجی	۱۷۵۱/۲۵	۳۱۱/۰۰	۳/۳۰	۴۵۷/۱۰
	Xi-Xe				۱۱۱/۱۰
	کار برگشت پذیر بازگشت ناپذیری				

جدول (۳-۵۶): تحلیل بازده سیکلون چهارم

تحلیل بازدهی	بازده قانون اول	درصد
	۲۶/۳۱	
	بازده قانون دوم	
	۱۹/۵۵	

با تحلیل نتایج به موارد زیر می‌رسیم:

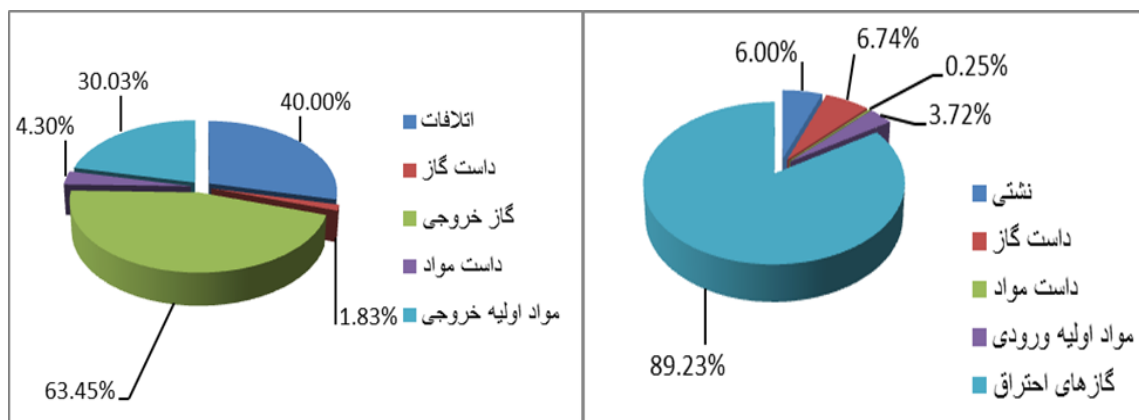
۳-۷-۲-۷ تحلیل سیکلون چهارم

۳-۷-۲-۱ تحلیل انرژی

جدول (۳-۵۷): تحلیل انرژی سیستم سیکلون چهارم

تحلیل انرژی	آنالیپی ورودی	واحد	H(T)	آنالیپی کل	درصد نسبت آنالیپی به آنالیپی کل
			KJ/Kg-Cl	KJ/Kg-Cl	%
تحلیل انرژی	آنالیپی ورودی	گازهای احتراق	۱۵۶۹/۰۰	۱۷۵۸/۲۹	۸۹/۲۳
		مواد اولیه ورودی	۶۵/۴۵		۳/۷۲
		داست مواد	۴/۴۰		۰/۲۵
		داست گاز	۱۱۸/۴۴		۶/۷۴
		نشتی	۱/۰۰		۰/۰۶

آنتالپی خروجی	مواد اولیه خروجی	۰/۰۶		۳۰/۰۳
	داست مواد	۷۵/۶۱		۴/۳۰
	گاز خروجی	۱۱۱۵/۶۰		۶۳/۴۵
	داست گاز	۳۲/۰۰		۱/۸۲
	اتلافات	۷/۰۴		۰/۴۰

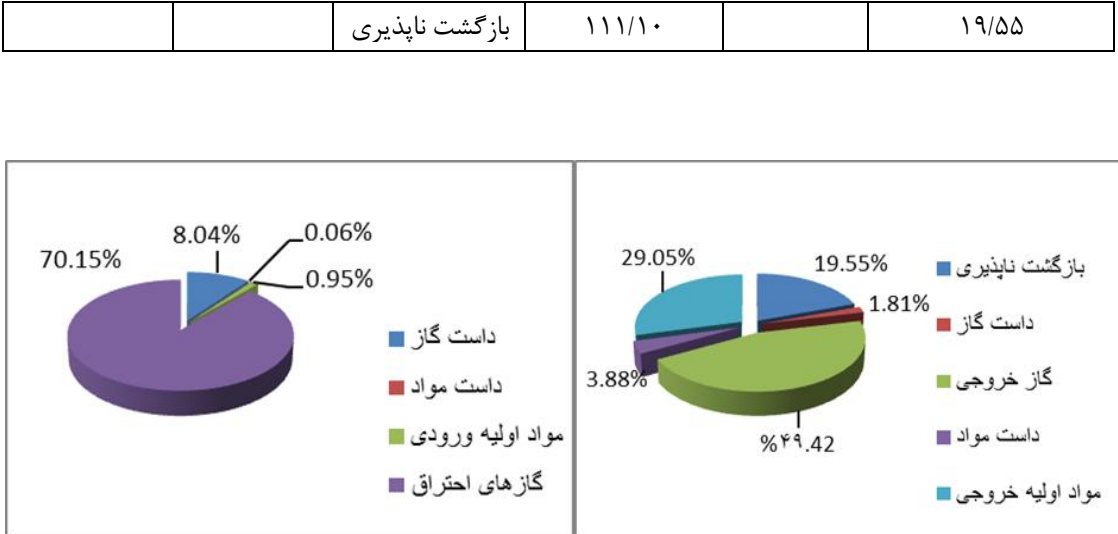


نمودار (۲۱-۳): درصد آنتالپی ورودی به آنتالپی خروجی به آنتالپی کل در سیکلون چهارم

۲-۷-۳ تحلیل اگزرزی

جدول (۵۸-۳): تحلیل اگزرزی سیستم سیکلون چهارم

تحليل اگزرزی		واحد	H(T) KJ/Kg-Cl	اگزرزی کل	درصد اگزرزی به اگزرزی کل
				KJ/Kg-Cl	%
آنالپی ورودی	گازهای احتراق	۵۱۶/۷۵	۵۶۸/۱۹	۹۰/۹۵	
	مواد اولیه ورودی	۵/۳۹		۰/۹۵	
	دانست مواد	۰/۳۶		۰/۰۶	
	دانست گاز	۴۵/۷۰		۸/۰۴	
	نشتی	۰/۰۰		۰/۰۰	
آنالپی خروجی	مواد اولیه خروجی	۱۶۵/۰۸		۲۹/۰۵	
	دانست مواد	۲۲/۰۷		۳/۸۸	
	گاز خروجی	۲۵۹/۶۸		۴۵/۷۱	
	دانست گاز	۱۰/۲۶		۱/۸۱	



نمودار (۳-۲۴): درصد اگررژی خروجی به اگررژی کل در نمودار (۳-۲۳): درصد اگررژی ورودی به اگررژی کل در سیکلون چهارم

همانگونه که پیش بینی می شد بازده اول و دوم در سیکلون چهارم افزایش یافتند. برای جمع بندی رفتار سیکلون ها جدول زیر را می آوریم.

۴-۷-۳ تحلیل حساسیت در سیکلون شماره ۴

در این قسمت تغییرات در هوای محیط، تغییر در دمای هوای گرم ورودی و تغییر در مواد اولیه خروجی مورد بررسی قرار خواهد گرفت.

۳-۷-۱ تغییر در دمای محیط

تأثیر هوای محیط بر تغییرات بازگشت‌ناپذیری، بازده قانون اول و دوم در جدول زیر نمایش داده شده است.

جدول (۳-۵): تأثیر دمای محیط بر تغییرات بازگشت‌ناپذیری، بازده قانون اول و دوم

دما (K)	بازگشت‌ناپذیری (KJ/Kg-Cl)	بازده قانون اول (%)	بازده قانون دوم (%)
۲۸۸	۱۰۷/۱۰	۲۶/۰۲	۱۷/۹۱
۲۹۳	۱۰۹/۱۲	۲۶/۱۶	۱۸/۷۲
۲۹۸	۱۱۱/۱۰	۲۶/۳۱	۱۹/۵۵
۳۰۳	۱۱۳/۰۲	۲۶/۴۶	۲۰/۴۱

۳۰۸	۱۱۴/۸۹	۲۶/۶۱	۲۱/۲۹
-----	--------	-------	-------

تغییر در دمای هوای گرم ورودی ۲-۳-۷-۳

تأثیر هوای گرم ورودی بر تغییرات بازگشتناپذیری، بازده قانون اول و دوم در جدول زیر نمایش داده شده است.

جدول (۳-۳): تأثیر دمای هوای گرم ورودی بر تغییرات بازگشتناپذیری، بازده قانون اول و دوم

دما (K)	بازگشتناپذیری (KJ/Kg-Cl)	بازده قانون اول (%)	بازده قانون دوم (%)
۸۰۰	۱۱۱/۱۰	۲۶/۳۱	۱۹/۵۵
۸۰۵	۱۱۹/۶۶	۲۶/۱۱	۲۰/۷۵
۸۱۰	۱۲۸/۲۶	۲۵/۹۱	۲۱/۹۱
۸۱۵	۱۳۶/۸۹	۲۵/۷۱	۲۳/۰۵
۸۲۰	۱۴۵/۵۴	۲۵/۵۲	۲۴/۱۵

تغییر در دمای هوای مواد اولیه خروجی ۳-۳-۷-۳

تأثیر مواد اولیه خروجی بر تغییرات بازگشتناپذیری، بازده قانون اول و دوم در جدول زیر نمایش داده شده است.

جدول (۳-۳): تأثیر دمای مواد اولیه خروجی بر تغییرات بازگشتناپذیری، بازده قانون اول و دوم

دما (K)	بازگشتناپذیری (KJ/Kg-Cl)	بازده قانون اول (%)	بازده قانون دوم (%)
۵۸۵	۱۳۰/۵۶	۲۴/۳۵	۲۲/۹۸
۵۹۰	۱۲۵/۷۶	۲۴/۸۴	۲۲/۱۳
۵۹۵	۱۲۰/۹۱	۲۵/۳۳	۲۱/۲۸
۶۰۰	۱۱۶/۰۲	۲۵/۸۲	۲۰/۴۲
۶۰۵	۱۱۱/۱۰	۲۶/۳۱	۱۹/۵۵

۴-۳-۷-۳ تغییرات بازگشت ناپذیری

همانگونه که از جداول مشخص می‌باشد، با افزایش دمای محیط، میزان بازگشت ناپذیری‌ها در سیکلون چهارم افزایش می‌یابد.

با افزایش دمای هوای گرم ورودی، میزان بازگشت ناپذیری‌ها در سیکلون چهارم افزایش می‌یابد و با افزایش دمای مواد اولیه خروجی، میزان بازگشت ناپذیری‌ها در سیکلون چهارم کاهش می‌یابد.

۵-۳-۷-۳ تغییرات بازده قانون اول

همانگونه که از جداول مشخص می‌باشد، با افزایش دمای محیط، بازده قانون اول افزایش می‌یابد. با افزایش دمای هوای گرم ورودی، بازده قانون اول کاهش می‌یابد و با افزایش دمای مواد اولیه خروجی، بازده قانون اول افزایش می‌یابد.

۶-۳-۷-۳ تغییرات بازده قانون دوم

همانگونه که از جداول مشخص می‌باشد، با افزایش دمای محیط، بازده قانون دوم افزایش می‌یابد. با افزایش دمای هوای گرم ورودی، بازده قانون دوم افزایش می‌یابد. این امر بواسطه افزایش اگزرژی خروجی می‌باشد. اگزرژی ورودی می‌باشد و با افزایش دمای مواد اولیه خروجی، بازده قانون دوم کاهش می‌یابد. این امر بواسطه افزایش اگزرژی خروجی می‌باشد.

۷-۳-۷-۳ جمع بندی سیکلون چهارم

با انجام محاسبات و بر طبق جداول پیشین جدول زیر بدست می‌آید:

جدول (۶۲-۳): جمع بندی سیکلون چهارم

کوره			
تغییر در دمای محیط			
	$\frac{\Delta I}{\Delta T}$	$\frac{\Delta \eta}{\Delta T}$	$\frac{\Delta \Psi}{\Delta T}$

تغییر در بازگشتناپذیری، بازده اول و دوم	۰/۳۹۰	۰/۰۳۰	۰/۱۶۹
تغییر در دمای هوای گرم ورودی			
تغییر در بازگشتناپذیری، بازده اول و دوم	$\frac{\Delta I}{\Delta T}$	$\frac{\Delta \eta}{\Delta T}$	$\frac{\Delta \Psi}{\Delta T}$
	۱/۲۲۲	-۰/۰۳۹	۰/۲۳۰
تغییر در دمای مواد اولیه خروجی			
تغییر در بازگشتناپذیری، بازده اول و دوم	$\frac{\Delta I}{\Delta T}$	$\frac{\Delta \eta}{\Delta T}$	$\frac{\Delta \Psi}{\Delta T}$
	-۰/۹۷۳	۰/۰۹۸	-۰/۱۷۱

همانگونه که از جدول مشخص است، تغییر در دمای محیط باعث ایجاد تغییرات بیشتری در بازده دوم می‌گردد و این، بعنوان حساس‌ترین پارامتر در مقابل این تغییرات عمل می‌نماید.

تغییر در دمای هوای گرم ورودی تاثیر منفی بر بازده اول دارد و تاثیر آن بر بازده دوم بیشتر و قابل توجه‌تر است. موثرترین خاصیت از نظر بازده قانون اول دمای مواد اولیه خروجی در جهت مثبت و تغییر دمای هوای گرم ورودی در جهت منفی می‌باشد. افزایش دمای هوای گرم ورودی بیشترین تاثیر مثبت را بر بازده دوم دارد.

۴-۷-۳ جمع بندی رفتار سیکلون‌ها

جدول (۶۳-۳): جمع بندی رفتار سیکلون‌ها

نام تجهیزات	آنتالپی مواد ورودی	آنتالپی گازهای ورودی	اختلاف آنتالپی ها	بازده اول	اگزرژی مواد ورودی	اگزرژی گازهای ورودی	اختلاف اگزرژی ها	بازده دوم
سیکلون اول	۱۰۶۲/۹۶	۲۹۹۱/۴۵	۱۹۲۸/۴۹	۱۷/۳۳	۴۸۸/۰۹	۱۷۱۲/۰۱	۱۲۲۳/۹۲	۲۹/۳۰
سیکلون دوم	۸۲۴/۲۲	۲۰۷۰/۱۹	۱۲۴۵/۹۷	۶/۱۲	۳۳۳/۹۰	۹۲۰/۳۶	۵۸۶/۴۶	۴/۴۵
سیکلون سوم	۵۲۴/۹۷	۱۸۴۶/۶۰	۱۳۲۱/۶۲	۱۰/۷۷	۱۶۴/۱۲	۷۱۲/۷۵	۵۴۸/۶۳	۵/۱۰
سیکلون	۶۵/۴۵	۱۵۶۹/۰۰	۱۵۰۳/۵۵	۲۶/۳۱	۵/۳۹	۵۱۶/۷۵	۵۱۱/۳۶	۱۹/۵۵

چهارم							
-------	--	--	--	--	--	--	--

جدول اختلاف دمایی در سیکلونها بصورت زیر خواهد بود:

جدول (۶۴-۳): اختلاف دماها در سیکلونها

نام تجهیزات	دماهی مواد ورودی (K)	دماهی گازهای ورودی (K)	اختلاف دماها
سیکلون اول	۹۳۷	۱۶۸۳	۷۴۶
سیکلون دوم	۷۸۰	۱۰۸۳	۳۰۳
سیکلون سوم	۶۰۵	۹۳۷	۳۳۲
سیکلون چهارم	۳۵۳	۸۰۰	۴۴۷

با توجه به دو جدول بالا براحتی می‌توان رفتار سیکلونها را تفسیر نمود. بخاطر تاثیر نسبتاً زیاد داستها در سیکلون اول بازده قانون اول آن علیرغم اختلاف دمایی و اختلاف آنتالپی بالا، نسبت به سیکلون چهارم کمتر است.

۸-۳ بازده کلی انرژی و اگزرژی

بازده انرژی و اگزرژی در هر یک از تجهیزات محاسبه شد. حال برای محاسبه بازده کلی انرژی و اگزرژی بترتیب زیر عمل می‌نماییم:

جدول (۶۵-۳): بازده کلی قانون اول در کارخانه

نام تجهیزات	بازده قانون اول	آنالپی کل ورودی	حاصلضرب آنتالپی در بازده
کولر	۴۴/۹۰	۳۱۲۱/۳۱	۱۴۰۱۴۶/۸۲
کوره و متعلقات	۱۶/۳۵	۶۵۷۷/۶۵	۱۰۷۵۴۴/۵۸
سیکلون اول	۱۷/۳۳	۵۰۶۶/۶۵	۸۷۸۰۵/۰۴
سیکلون دوم	۶/۱۲	۳۹۰۸/۶۴	۲۳۹۲۰/۸۸
سیکلون سوم	۱۰/۷۷	۲۷۷۹/۴۶	۲۹۹۳۴/۷۸
سیکلون چهارم	۲۶/۳۱	۱۷۵۸/۲۹	۴۶۲۶۰/۶۱
مجموع		۲۲۲۱۲/۰۰	۴۳۵۶۱۲/۷۱

بنابراین بازده قانون اول بصورت زیر بدست می‌آید:

$$\eta_{\text{tot}} = \frac{435612.71}{23212} = \%18.77$$

برای بدست آوردن بازده دوم داریم:

جدول (۶۶-۳): بازده کلی قانون دوم در کارخانه

نام تجهیزات	بازده قانون دوم	اگزرژی کل ورودی	حاصلضرب اگزرژی در بازده
کولر	۴۱/۹۲	۹۲۴/۰۲	۳۸۷۳۴/۹۲
کوره و متعلقات	۳۹/۶۳	۴۵۰۱/۵۴	۱۷۸۳۹۶/۰۳
سیکلون اول	۲۹/۳۰	۲۴۴۷/۴۸	۷۱۷۱۱/۱۶
سیکلون دوم	۴/۴۵	۱۵۳۸/۶۵	۶۸۴۶/۹۹
سیکلون سوم	۵/۱۰	۱۰۱۵/۹۸	۵۱۸۱/۵۰
سیکلون چهارم	۱۹/۵۵	۵۶۸/۱۹	۱۱۱۰۸/۱۱
مجموع		۱۰۹۹۵/۸۶	۳۱۱۹۷۸/۷۲

بنابراین بازده قانون دوم بصورت زیر بدست می‌آید:

$$\Psi_{\text{tot}} = \frac{311978.72}{10995.86} = \%28.37$$

فصل چهارم: بررسی فرایندهای بازیافت

۱-۴ مقدمه:

در فصول قبل متوجه شدیم مهم‌ترین منابع اتلاف حرارتی برای بازیافت در صنعت سیمان عبارتند از:

(۱) هوای داغ خروجی از خنک کن کوره

(۲) گرمای جداره کوره

(۳) گازهای داغ خروجی از پیش‌گرمکن

هر چند این منابع کاربردهای دیگری نیز در واحد تولید سیمان دارند چنانکه گازهای داغ خروجی از پیش‌گرمکن برای خشک کردن مواد اولیه، پس از خردایش در آسیاب مواد اولیه مورد استفاده قرار می‌گیرد (این کاربرد در واحدهای تولید سیمان متداول بوده و در واحد سیمان شهرود نیز به همین ترتیب می‌باشد).

۱-۱-۴ بررسی مطالعات گذشته

مطالعات متعددی در رابطه با بازیابی انرژی از حرارت اتلافی در صنعت سیمان و تولید الکتریسته صورت گرفته است به عنوان مثال آقایان انگین و آری میزان توان تولیدی خالص را در یک واحد ۶۰۰ تنی در روز را یک مگاوات گزارش کردند [14]. بنا به مطالعات آقای خورانا و همکاران نیز میزان توان تولیدی برای یک واحد تولید سیمان ۳۸۰۰ تنی در روز ۶/۴ مگاوات است [13]. وجه مشترک این مطالعات و مطالعات مشابه دیگر عدم بررسی دقیق چرخه تولید توان و میزان اتلافات انرژی و اگزرزی در فرایند تولید الکتریستیته است.

اما آقای وانگ و همکاران چرخه های توانی را با تفصیل بیش تری بررسی کرده اند. نتایج این مطالعه در مورد چرخه های مختلف بازیافت حرارت و تولید توان در یک واحد تولید سیمان ۵۰۰۰ تنی

در روز که مجهر به کوره و پیش گرمن ۴ مرحله ای است نشان می دهد که چرخه بخار با تبخیر ناگهانی با بازده حرارتی یا انرژی ۲۵/۷٪ بهترین عملکرد را از نقطه نظر انرژی دارد [22]. وجه مشترک این مطالعه و برخی مطالعات پیشین نیز عدم در نظر گرفتن حرارتی اتلافی از جداره کوره دوار که حجم قابل توجهی از اتلافات را در بر می گیرد، می باشد.

۲-۴ محاسبه میزان گرمای اتلافی

۱-۲-۴ گرمای اتلافی از جداره کوره

توزیع دما در نقاط مختلف کوره مطالعه در جدول (۱-۴) آورده شده است.

جدول (۱-۴): توزیع دما در نقاط مختلف کوره

از ابتدای کوره تا رینگ اول	از رینگ اول تا رینگ دوم	از رینگ دوم تا انتهای کوره	T (°C)
۲۷۰-۲۸۰-۲۹۰-۲۷۰			
۲۸۰-۲۹۰-۳۰۰-۳۳۰-۳۲۰			
۳۳۰-۳۴۰-۳۲۰-۳۴۰-۳۱۰			

نحوه محاسبه و میزان گرمای اتلافی کوره در جدول (۲-۴) بیان گردیده است.

جدول (۲-۴): میزان گرمای اتلافی از کوره

میزان اتلافات KJ/Kg-Cl	داده ها	روابط استفاده شده	منبع
۳۸۶	$\sigma = 5 / 67 \times 10^{-8} W / m^2 K^4$. $A_{ki ln} = 565 / 48 m^2, T_s = 581 K$, $T = 288 K, m_{clinker} = 6 / 944 kg / s$ $\varepsilon = 0 / 78 (oxidizedsuracean[27])$,	$Q_{12} = \sigma A_{ki ln} (T_s^4 - T_\infty^4) / 1000 \dot{m}_{clinker}$	تشعشع از سطح کوره
۱۷۱	$Re = 373,110 (V_{air} = 3 m / s)$ $Nu = 773 (Hilbert, s equation, an)$, at $T_f = 280^\circ C$ (film temp.)[27]	$Q_{13} = h_{con} A_{ki ln} (T_s - T_\infty)$, $h_{con} = \frac{k_{air}}{D_{i ln}} Nu$	همرفتی از سطح کوره

طبق نتایج به دست آمده از جدول فوق تلفات حرارتی ناشی از تششع و جابجایی برابر ۵۵۷ KJ/Kg-Cl می‌باشد که با توجه به میزان کلینکر تولیدی برابر با ۲۱/۲۷۴ مگاوات در نظر گرفته می‌شود.

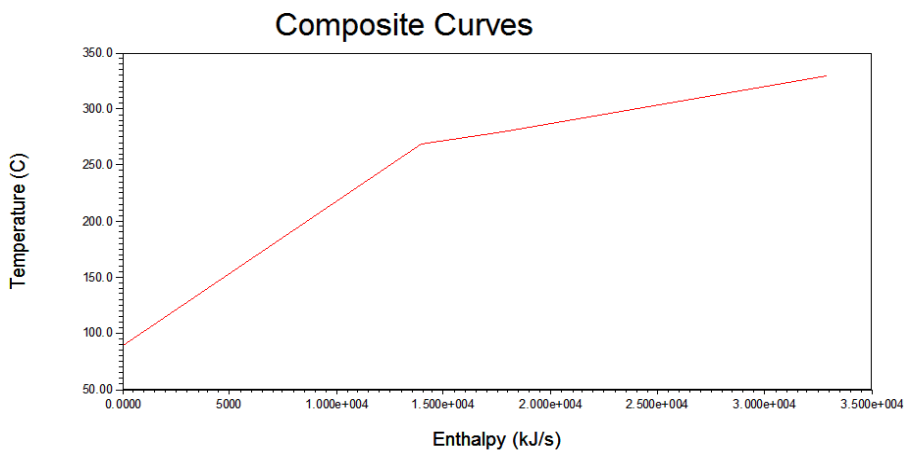
۲-۲-۴ گرمای اتلافی از کولر

نحوه محاسبه و میزان گرمای اتلافی از خنک کن در فصل چهار بیان گردیده است با توجه به اطلاعات به دست آمده در این فصل میزان گرمای قابل بازیافت که از گازهای اضافی خنک کن که با دمای ۲۸۰°C بدون استفاده وارد اتمسفر می‌گردد، برابر با ۴۵۳ KJ/Kg-Cl می‌باشد که با توجه به میزان کلینکر تولیدی برابر با ۱۷/۳۳۲ مگاوات در نظر گرفته می‌شود.

۳-۴ بررسی سیستم‌های بازیافت

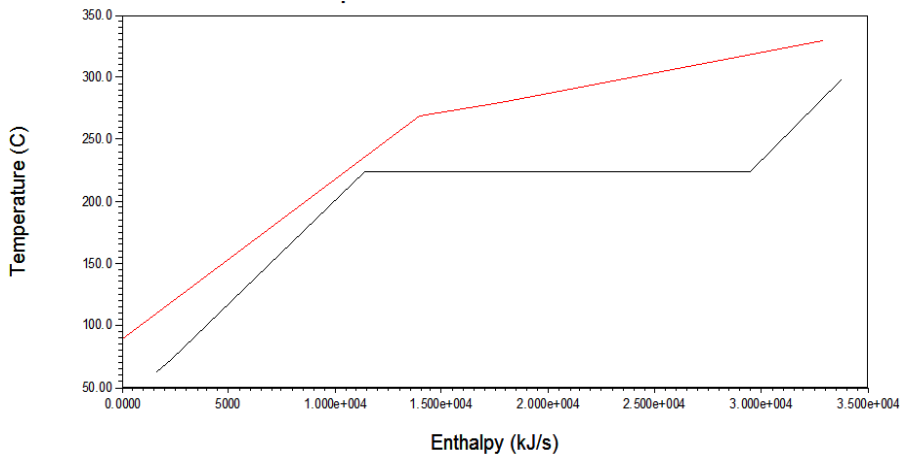
دو منبع اصلی بازیابی حرارتی در واحدهای تولید سیمان شرایط ترمودینامیکی متفاوتی دارند به همین دلیل، دو مبدل حرارتی متفاوت در چرخه‌های بازیابی حرارتی به کار می‌رود.

یکی دیگر از محدودیت‌های عملیاتی به منظور به کارگیری منابع اتلاف حرارتی در چرخه‌های تولید توان آستانه، محدودیت پایین آوردن دمای گازهای خروجی این منابع (نقطه شبنم این جریان ها) است این محدودیت در مورد گازهای داغ خروجی از کولر که عاری از گازهای حاصل از احتراق و مواد خورنده هستند به طور جدی مطرح نمی‌گردد و گازهای خروجی از کولر را می‌توان تا دمای ۹۰ درجه سانتیگراد کاهش داد.



شکل (۱-۴): منحنی جریان‌های گرم حاصل از بازیافت

شکل (۱-۴) تصویری از منحنی جریان‌های گرم حاصل از بازیافت را نشان می‌دهد. با توجه به مطالب ذکر شده در فصل دوم می‌توان فهمید در مبدل‌های حرارتی، هر اندازه اختلاف دمای جریان‌های گرم و سرم بیشتر باشد، میزان تخریب اگزرزی در مبدل نیز افزایش می‌یابد. علاوه می‌دانیم، در سیکل‌های توان، با افزایش دمای سیال ورودی به توربین، راندمان سیکل نیز افزایش می‌یابد. این مهم، در تولید الکتریسیته از منابع حرارتی دما پایین تنها زمانی اتفاق می‌افتد که انتقال حرارت از نوع پینچ آستانه (در محل منبع گرم) باشد. به عنوان مثال همانطور که در شکل (۲-۴) مشاهده می‌شود در صورت استفاده از سیکل رانکین ساده به عنوان سیکل بازیاب، علاوه بر اینکه در بخش‌هایی از نمودار، اختلاف دمای بالایی بین جریان‌های سرد و گرم وجود دارد، دمای خروجی سیال سرد نیز پایین‌تر از حد مطلوب می‌باشد.



شکل (۲-۴): نمونه‌ای از منحنی ترکیبی برای سیکل رانکین ساده

برای بر طرف کردن این مشکل روش‌های مختلفی که برای بازیابی حرارتی و تولید الکتریسیته از منابع اتلاف حرارتی (دماپایین) پیشنهاد می‌گردد عبارتند از: الف) چرخه بخار همراه با تبخیر ناگهانی^۱ ب) چرخه بخار دو فشاری^۲ ج) چرخه کالینا^۳ د) چرخه رانکین با سیال عامل آلی^۴

جدول (۳-۴) ثابت‌های عملیاتی برای سیکل‌های پیشنهادی را نشان می‌دهد

جدول (۳-۴): ثابت‌های عملیاتی برای سیکل‌های مختلف

۸۸	حداقل کیفیت (x) مجاز برای توربین (%)
۸۵	راندمان ایزنتروپیک توربین (%)
۷۰	راندمان آیزنتروپیک پمپ (%)
۱۰	دمای نقطه‌ی پینچ (°C)

۱-۳-۴ چرخه بخار همراه با تبخیر ناگهانی

ساختار سیکل بخار تک مرحله با تبخیر ناگهانی پیشنهادی در شکل (۳-۴) نشان داده شده

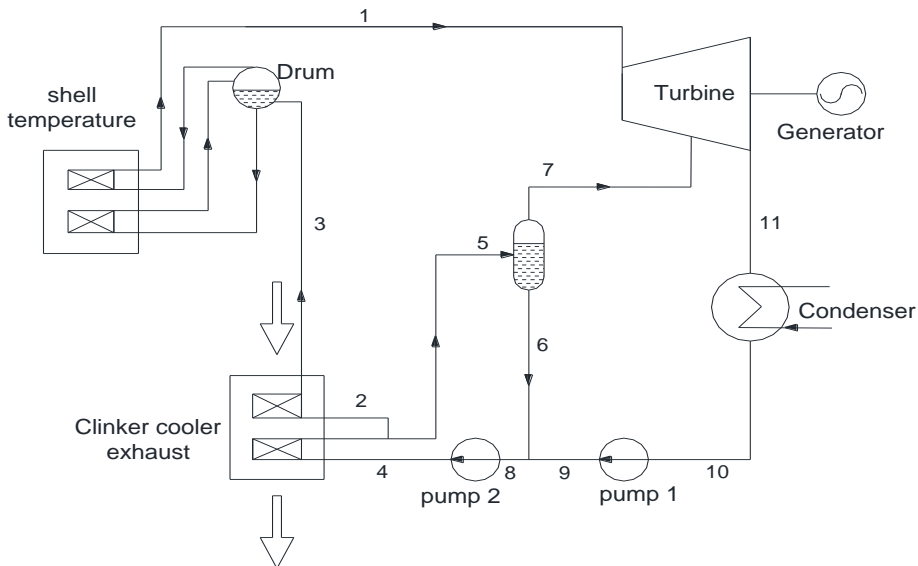
Single flash steam cycle^۱

Dual –pressure steam cycle^۲

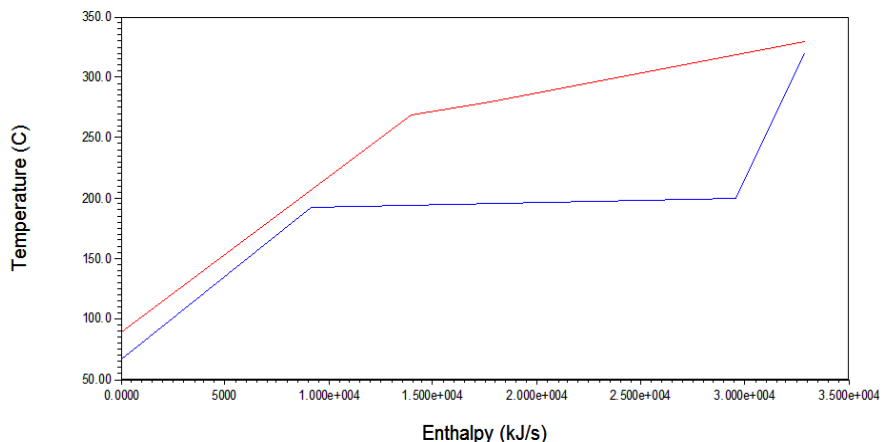
Kalina cycle^۳

Organic Rankine cycle^۴

است.



شکل (۳-۴): ساختار سیکل بخار تک مرحله با تبخیر ناگهانی پیشنهاد



شکل (۴-۴): منحنی‌های ترکیبی سیکل تبخیر ناگهانی

در این چرخه با اضافه کردن تانک تبخیر ناگهانی و جدا کردن بخشی از سیال سرد در فشاری پایین‌تر منحنی ترکیبی پینچ را به پینچ آستانه (در محل یوتیلیتی گرم) تبدیل می‌گردد (شکل ۴-۴). در این چرخه سیال میان یافته در کندانسور به کمک پمپ وارد مبدل حرارتی هوای داغ خنک کن می‌شود، بخشی از سیال در این مبدل پیش گرم شده و در مبدل کوره فوق داغ می‌گردد.

مابقی سیال پیش گرم شده نیز وارد تانک تبخیر ناگهانی و بخار اشباع تولید می‌گردد. در تبخیر ناگهانی حجم مشخصی از بخار بواسطه کاهش فشار از آب جدا می‌گردد البته با افت بیشتر فشار حجم بخار افزایش یافته اما توان تولیدی بخار با فشار پایین‌تر کاهش می‌یابد، با انبساط جریان‌های بخار فوق داغ و بخار اشباع تانک تبخیر ناگهانی در توربین، الکتریسیته تولید می‌گردد.

شرایط عملیاتی در بخش‌های مختلف سیکل در جدول (۴-۴)،

جدول (۵-۴) و جدول (۶-۴) آورده شده است.

جدول (۴-۴): شرایط عملیاتی در بخش‌های مختلف سیکل بخار همراه با تبخیر ناگهانی

شماره جریان	T (°C)	p (MPa)	x	h (KJ/Kg)	s (KJ/Kg K)	\dot{m} (Kg/s)
۱	۳۲۰/۰۰	۱/۷	۱/۰۰۰	۳۰۷۶	۶/۹۲۹	۱۰/۶۴
۲	۱۹۹/۳	۱/۷	۰/۰۰۰	۸۴۹/۴	۲/۳۲	۱۰/۶۴
۳	۲۰۴/۳	۱/۷	۰/۲۶۲	۱۳۷۷	۲/۳۷۲	۱۰/۶۴
۴	۶۳/۵	۱/۷	۰/۰۰۰	۲۶۷/۵	۰/۸۷۴۹	۱۵/۶۷
۵	۱۹۹/۳	۱/۷	۰/۰۰۰	۸۴۹/۳۷	۲/۳۲۴۱	۵/۰۳۵
۶	۱۴۰/۸	۰/۳۷	۰/۰۰۰	۵۹۲/۸	۱/۷۴۸	۴/۴۳۴
۷	۱۴۰/۸	۰/۳۷	۱/۰۰۰	۲۷۳۴	۶/۹۲۲	۰/۶۰۱۶
۸	۶۳/۱۷	۰/۳۷	۰/۰۰۰	۲۶۴/۷	۰/۸۷۰۵	۱۵/۶۷
۹	۳۲/۲۲	۰/۳۷	۰/۰۰۰	۱۳۵/۳	۰/۴۶۷۲	۱۱/۲۴
۱۰	۳۲/۱۶	۰/۰۰۶	۰/۰۰۰	۱۳۴/۷	۰/۴۶۶۵	۱۱/۲۴
۱۱	۳۶/۱۶	۰/۰۰۶	۰/۹۰۰	۲۳۲۵	۷/۴۹۲۷	۱۱/۲۴

جدول (۵-۴): جزئیات عملکرد سیکل بخار همراه با تبخیر ناگهانی

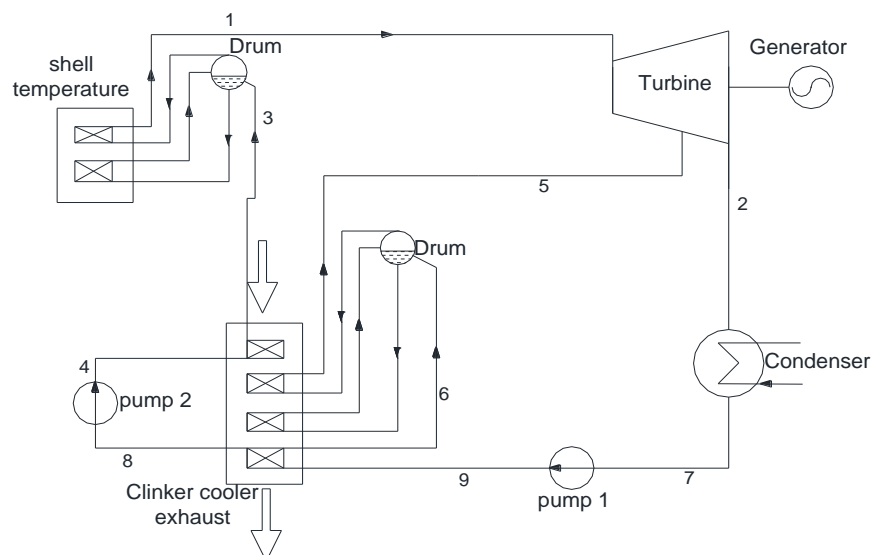
توان تولیدی توربین	۷۰.۵
توان مورد نیاز پمپ ۱	۶/۵۲
توان مورد نیاز پمپ ۲	۴۳/۵۶
توان خروجی مفید	۶۹۵۵
بازده انرژی سیکل (%)	۲۱/۱۹
بازده اگزرسیون سیکل (%)	۴۹/۶۶

جدول (۶-۴): میزان اگرژتی ورودی خروجی و تخریب اگرژتی در اجزای مختلف سیکل بخار همراه با تبخیر ناگهانی

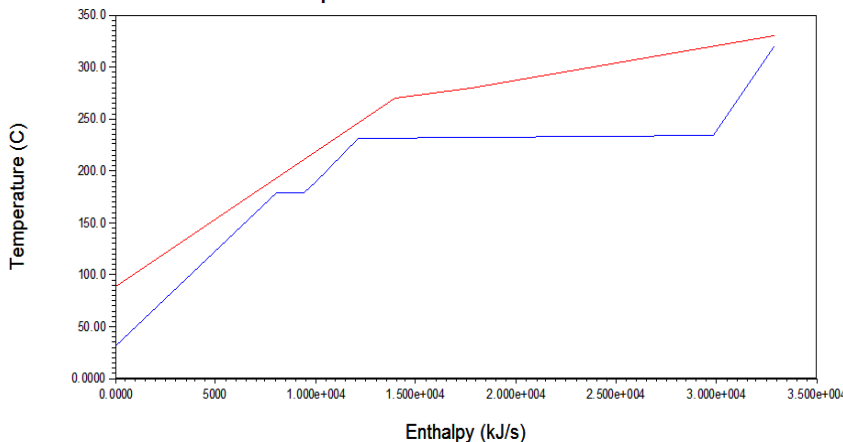
	تجهیزات	مقدار (KW)	(%)
اگرژتی ورودی	جداره کوره	۸۷۵۷	۶۲/۶
	خنک کن	۵۲۴۷	۳۷/۴
	مجموع	۱۴۰۰۴	۱۰۰/۰
اگرژتی خروجی	توان خروجی	۶۹۵۵	۴۹/۶۶
تخریب اگرژتی	مبدل کوره	۱۳۵۸/۳۸	۹/۷
	مبدل خنک کن	۱۱۲۸/۷	۸/۰۶
	توربین	۲۳۳۳/۰۶	۱۶/۶۶
	کندانسور	۱۹۸۱/۵	۱۴/۱۵
	۱ پمپ	۲/۹	۰/۰
	۲ پمپ	۲۳/۸	۰/۱۷
	فلاشر	۷۴/۲۲	۰/۵۳
	تداخل جریان ۶ و ۹	۲۲۵/۴۶	۱/۶۱

۲-۳-۴ چرخه بخار دو فشاری

ساختار سیکل بخار دو فشاری پیشنهادی در شکل (۵-۴) نشان داده شده است.



شکل (۵-۴): ساختار سیکل بخار دو فشاره پیشنهادی



شکل (۶-۴): منحنی‌های ترکیبی سیکل بخار دو فشاری پیشنهادی

در چرخه دو فشاری با جدا کردن بخشی از سیال سرد در فشاری پایین‌تر و ما فوق گرم کردن و فرستادن آن به توربین در این فشار، منحنی ترکیبی پینچ را به پینچ آستانه (در محل منبع حرارتی گرم) تبدیل می‌گردد (شکل (۶-۴)). جریان بخار ورودی به توربین در دو سطح فشاری تولید می‌گردد. در این چرخه نیز سیال میان یافته با عبور از پمپ فشار پایین‌تر وارد مبدل هوای داغ خنک کن شده و پیش‌گرم می‌شود. بخشی از سیال پیش‌گرم شده در همین مبدل و همان فشار اولیه فوق داغ شده و به عنوان بخار با فشار پایین‌تر وارد توربین می‌گردد بخشی دیگر از سیال پیش‌گرم شده نیز با عبور از پمپ فشار بالا در مبدل هوای داغ خنک کن و البته فشاری بالاتر فوق داغ می‌گردد. درنهایت انبساط مخلوط بخارهای فوق داغ شده در توربین منجر به تولید توان می‌گردد.

شرایط عملیاتی در بخش‌های مختلف سیکل بخار دو فشاری در جدول (۷-۴)، جدول (۸-۴) و جدول (۹-۴) آورده شده است.

جدول (۷-۴): شرایط عملیاتی در بخش‌های مختلف سیکل بخار دو فشاری

شماره جریان	T (°C)	p (MPa)	x	h (KJ/Kg)	s (KJ/Kg.K)	\dot{m} (Kg/s)
۱	۳۲۰	۴/۵۰۰	۱/۰	۳۰۰۰	۶/۳۸	۱۰/۸۴

۲	۳۶/۱۷	۰/۰۰۶	۰/۹	۲۳۲۵	۷/۵۴۸	۱۱/۵
۳	۲۵۷/۵	۴/۵	۰/۱۲۴۸	۱۳۳۱	۲/۸۶۱	۱۰/۸۴
۴	۱۶۶/۹	۴/۵	۱/۰	۷۰۷/۹	۲/۰۰۷	۱۰/۸۴
۵	۱۸۹	۰/۸۱۲	۱/۰	۲۸۱۳	۶/۷۵۳	۰/۶۶۶
۶	۱۶۶	۰/۸۱۲	۰/۰۰۰	۷۰۲	۲/۰۰۳	۰/۶۶۶
۷	۳۲/۱۶	۰/۰۰۶	۰/۰۰۰	۱۳۴/۷	۰/۴۶۶۲	۱۱/۵
۸	۱۶۶	۰/۸۱۲	۰/۰۰۰	۷۰۲	۲/۰۰۳	۱۰/۸۴
۹	۳۲/۲۸	۰/۸۱۲	۰/۰۰۰	۱۳۵/۹	۰/۴۶۷۶	۱۱/۵

جدول (۸-۴): جزئیات عملکرد سیکل بخار دو فشاری

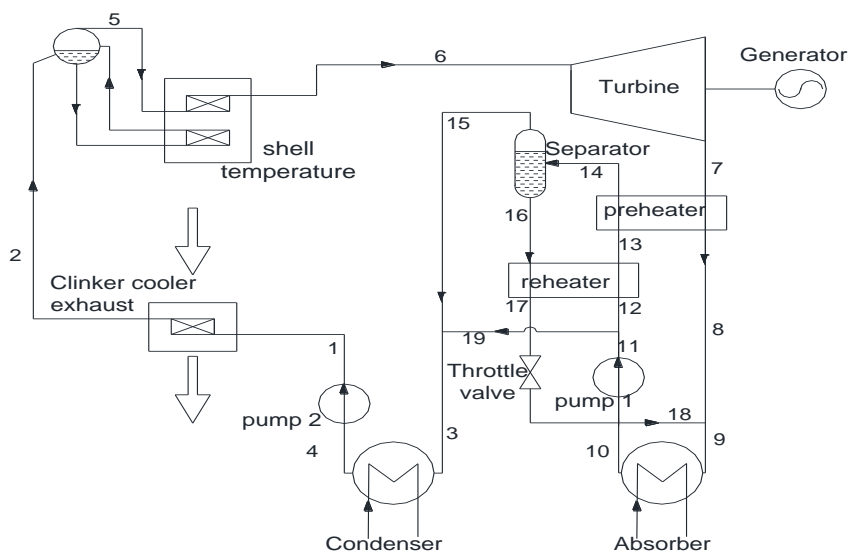
توان تولیدی توربین	۶۴۹۱
توان مورد نیاز پمپ ۱	۱۴/۱۷
توان مورد نیاز پمپ ۲	۶۴/۴۴
توان خروجی مفید	۶۴۱۲
بازده انرژی سیکل	۱۹/۵۴
بازده اگرژی سیکل	۴۵/۷۹

جدول (۹-۴): میزان اگرژی ورودی خروجی و تخریب اگرژی در اجزای مختلف سیکل بخار دو فشاری

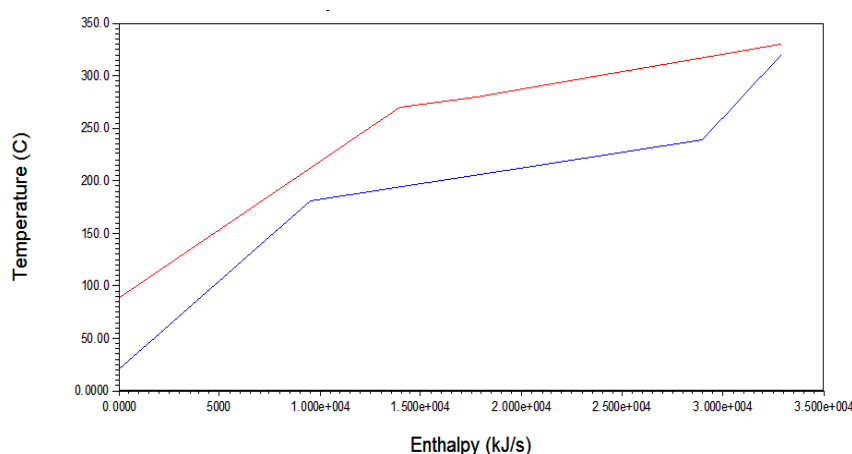
	تجهیزات	مقدار (KW)	(%)
اگرژی ورودی	جداره کوره	۸۷۵۷	۶۲/۵۳
	خنک کن	۵۲۴۷	۳۷/۴۶
	مجموع	۱۴۰۰۴	۱۰۰/۰
اگرژی خروجی	توان خروجی	۶۴۱۲	۴۵/۷۹
تخریب اگرژی	مبدل کوره	۴۴۰/۹۱	۳/۱۴
	مبدل خنک کن	۷۸۲/۰۶	۵/۵
	توربین	۴۱۹۱/۱۹	۲۹/۹۲
	کندانسور	۲۱۶۰/۶۵	۱۵/۴۲
	پمپ ۱	۵/۶	۰/۰
	پمپ ۲	۱۰/۲۱	۰/۱

۳-۳-۴ چرخه کالینا

ساختار سیکل کالینا پیشنهادی در شکل (۷-۴) نشان داده شده است.



شکل (۷-۴): ساختار سیکل کالینا پیشنهادی



شکل (۸-۴): منحنی‌های ترکیبی سیکل کالینا پیشنهادی

در چرخه کالینا مخلوط آب و آمونیاک به عنوان سیال عامل مورد استفاده قرار می‌گیرد در این سیکل با تغییر درصد آب و آمونیاک منحنی ترکیبی پینچ را به پینچ آستانه (در محل یوتیلیتی گرم)

تبدیل می‌گردد (شکل ۸-۴). در این سیکل تبخیر یا میعان مخلوط در یک بازه دمایی صورت می‌گیرد و از این جهت است که طی فرایند تبادل حرارتی میزان بازگشت ناپذیری‌ها و تخریب اگزرسی بواسطه کاهش اختلاف دمای منبع گرم و منبع سرد کاهش می‌یابد.

در این چرخه مخلوط آب و آمونیاک به کمک مبدل هوای داغ خنک کن پیش‌گرم شده و در مبدل جداره کوره به بخار و بخار فوق داغ تبدیل می‌گردند و بخار فوق داغ در توربین منبسط می‌شود جریان خروجی از توربین در مبدل‌ها خنک شده و بعد از اختلاط با مخلوط غلیظ آب در یک جاذب و به کمک آب خنک کن چگالیده می‌شود.

فشار مایع اشباع خروجی از جاذب به کمک یک پمپ (تا یک سطح فشار میانی) افزایش یافته و در دو مرحله این مایع پیش‌گرم می‌شود این جریان اشباع با ورود به تانک تبخیر ناگهانی به یک جریان مایع با غلظت پایین آمونیاک تبدیل شده و سپس دما و فشار آن پایین آورده می‌شود (جریان رقیق کننده خروجی توربین) بخار با غلظت بالا از آمونیاک نیز بعد از اختلاط با بخشی از مایع اشباع پمپ شده از جاذب مخلوط گشته و در کندانسور چگالیده می‌شود. این مخلوط سیال عامل اصلی چرخه به شمار رفته و پس از افزایش فشار وارد مبدل هوای داغ خنک کن می‌گردد [33].

شرایط عملیاتی در بخش‌های مختلف سیکل در جداول جدول ۱۰-۴، جدول ۱۱-۴ و جدول ۱۲-۴ آورده شده است.

جدول ۱۰-۴: شرایط عملیاتی در بخش‌های مختلف سیکل کالینا

شماره جریان	T (°C)	p (MPa)	x	h (KJ/Kg)	s (KJ/Kg.k)	m (Kg/s)	AM/WA
۱	۳۲/۱۹	۸/۶۸۰	۰/۰	-۱۳۰/۵	۰/۱۷۳۶	۱۲/۴۹	۰/۴۳
۲	۲۱۸	۸/۶۸۰	۰/۲۰۵۵	۱۰۴۹	۳/۰۹۴	۱۲/۴۹	۰/۴۳
۳	۴۳/۹۴	۱/۸۰۴	۰/۱۸۸۵	۲۶۵/۸	۱/۴۹۹	۱۲/۴۹	۰/۴۳
۴	۳۲/۱۶	۱/۸۰۴	۰/۰	-۱۴۵/۵	۰/۱۵۶	۱۲/۴۹	۰/۴۳
۵	۲۶۳	۸/۶۸۰	۱/۰	۲۳۰۴	۵/۵	۱۲/۴۹	۰/۴۳

۶	۳۲۰/۰	۸/۶۸۰	۱/۰	۲۴۹۶	۵/۸۴	۱۲/۴۹	۰/۴۳
۷	۹۰	۰/۱۳۰	۰/۹	۱۸۹۴	۶/۲۵	۱۲/۴۹	۰/۴۳
۸	۸۳/۱۴	۰/۱۳۰	۰/۸۵۹۹	۱۳۷۳	۴/۸	۱۲/۴۹	۰/۴۳
۹	۷۰	۰/۱۳۰	۰/۲۸۹۴	۶۳۳.۵	۲/۵۲۲	۲۶/۰۲	۰/۳۲۴۸
۱۰	۳۲/۱۶	۰/۱۳۰	۰/۰	-۶۵/۵	۰/۳۷۲۳	۲۶/۰۲	۰/۳۲۴۸
۱۱	۳۲/۱۹	۰/۱۸۰	۰/۰	-۴۴/۹	۰/۲۰۷۱	۲۶/۰۲	۰/۳۲۴۸
۱۲	۳۲/۱۹	۰/۱۸۰	۰/۰	-۱۱۴/۹	۰/۲۰۷۱	۱۶/۶۸	۰/۳۲۴۸
۱۳	۵۹/۶۲	۰/۱۸۰	۰/۱۴۱۲	۳۰۲	۱/۵۱۲	۱۶/۶۸	۰/۳۲۴۸
۱۴	۸۰/۵۰	۰/۱۸۰	۰/۳	۶۹۲/۳	۲/۶۵۴	۱۶/۶۸	۰/۳۲۴۸
۱۵	۸۰/۵۰	۰/۱۸۰	۱/۰	۱۶۷۶/۱	۶/۱۳۹	۲/۶۵۵	۰/۸۲
۱۶	۸۰	۰/۱۸۰	۰/۰	۴۷۰	۱/۸۸۱	۱۴/۰۲	۰/۲۳۱
۱۷	۳۰/۰۳	۰/۱۸۰	۰/۰	-۲۵/۷۸	۰/۴۰۹۸	۱۴/۰۲	۰/۲۳۱
۱۸	۳۰۳	۰/۱۳۰	۰/۰	-۲۵/۷۸	۰/۴۱	۱۴/۰۲	۰/۲۳۱
۱۹	۳۲/۱۹	۰/۱۸۰	۰/۰	-۱۱۴/۹	۰/۲۰۷۱	۹/۸۴	۰/۳۲۴۸

جدول (۱۱-۴): جزئیات عملکرد سیکل کالینا

توان تولیدی توربین	۶۳۹۰
توان مورد نیاز پمپ	۹/۷
توان مورد نیاز پمپ	۷۱/۹
توان خروجی مفید	۶۳۰.۸.۴
بازده انرژی سیکل	۲۳/۴۶
بازده اگزرزی سیکل	۵۴/۹۷

جدول (۱۲-۴): میزان اگزرزی ورودی خروجی و تخریب اگزرزی در اجزای مختلف سیکل کالینا

	تجهیزات	مقدار (KW)	(%)
اگزرزی ورودی	جداره کوره	۸۷۵۷	۶۲/۵۳
	خنک کن	۵۲۴۷	۳۷/۴۶
	مجموع	۱۴۰۰.۴	۱۰۰/۰
اگزرزی خروجی	توان خروجی	۶۳۰.۸.۴	۵۴/۹۷
تخریب اگزرزی	مبدل کوره	۱۶۷۱/۹	۱۱/۹۳
	مبدل خنک کن	۱۰۳۲/۰.۴	۷/۳۶
	توربین	۱۴۸۷/۷۷	۱۰/۶۲
	جادب	۱۸۶۸/۶	۱۳/۳۴

کندانسور	۷۲۱/۱	۵/۱۴
پیش‌گرمایش	۳۱۶/۰۸	۲/۲
گرمایش مجدد	۱۴۰/۹	۱/۰
شیر اختناق	۱/۰۵	۰/۰
پمپ ۱	۳/۹	۰/۰
پمپ ۲	۷۵/۸	۰/۵۴
تداخل جریان ۳ و ۱	۲۲۳/۴	۱/۵۹
تداخل جریان ۱۹ و ۱۵	۱۵۴/۲۳	۱/۱

۴-۳-۴ چرخه رانکین با سیال عامل آلی

به منظور استحصال توان بیشتر از منابع اتلاف حرارتی واحد تولید سیمان در این چرخه از سیال آلی به عنوان سیال عامل استفاده می‌گردد. در واقع چرخه رانکین با سیال عامل آلی بربنای همان اصول چرخه رانکین ساده عمل می‌کند اما به منظور بازیابی حرارتی از منابع دما پایین از یک سیال با دمای تبخیر پایین‌تر بهره می‌گیرد در مقایسه با سه چرخه قبلی بخار تولیدی در چرخه رانکین با سیال عامل آلی در یک سطح فشار تولید می‌گردد و از این جهت طراحی توربین در چرخه رانکین با سیال عامل آلی آسان‌تر خواهد بود [28].

از طرفی در چرخه رانکین با سیال عامل آلی فرایند کندانس به طور معمول توسط هوا انجام می‌شود زیرا حرارت نهان سیال‌های آلی عامل این چرخه‌ها بسیار کمتر از آب است بنابراین از سیستم مذکور می‌توان در مناطقی که دستری به آب وجود ندارد استفاده کرد [29].

۱-۴-۳-۴ مطالعات پیشین در زمینه سیکل رانکین آلی

در زمینه بهینه‌سازی این چرخه مقالات زیادی به چاپ رسیده است. تعدادی از این مطالعات معطوف به بیشینه‌سازی بازده چرخه، با انتخاب سیال عامل مناسب می‌باشد. انتخاب سیال تنها به خواص ترمودینامیکی و فیزیکی سیال وابسته نبوده، بلکه اینمنی، در دسترس بودن، هزینه، بازده

گرمای بالا، اثرات زیست محیطی و سازگاری با مواد تشکیل دهنده سیستم معیارهای اساسی برای انتخاب سیال مناسب می‌باشد. مشخصات سیال عامل مناسب عبارتند از: حجم مخصوص پایین، فشار مناسب در مبدل گرمایی، پایداری گرمایی، هزینه پایین، گرمای نهان و چگالی بالا، گرمای مخصوص پایین و همچنین حداقل اثرات زیست محیطی از جمله ظرفیت پایین تخریب اُزون، ظرفیت پایین گلخانه‌ای (گرمایش کرہ زمین) و عمر کوتاه مدت در اتمسفر می‌باشد. در این بین Dai و همکاران [30] آقای Tchanche و همکاران [31]. در نهایت آقای آبتین عطایی و همکاران [32] در زمان‌های مختلف با بررسی چندین سیال عامل به بهینه‌سازی چرخه رانکین آلی پرداخته‌اند. بررسی آن‌ها نشان داد R113, R123 و ایزوپنتان، مناسب ترین سیالات برای این چرخه می‌باشد، با این تفاوت که بالاترین بازده و بیشترین اثرات مخرب را بر محیط زیست دارد، ولی سیال مناسبی از نظر ایمنی می‌باشد. ایزوپنتان کمترین بازده را دارد و بالاترین حجم مخصوص بخار، اما سیالی با فشار بالاتر از فشار جو و اشتعال پذیری بالا می‌باشد. R123 سیالی با بازده گرمایی بالا و اثرات مخرب زیست محیطی پایین می‌باشد.

در مطالعات انجام گرفته توسط آقای وانگ [22] از سیکل رانکین آلی با سیال R123 مورد مطالعه قرار گرفت که در کمال تعجب از این سیال در دمایی (330°C) بالاتر از نقطه بحرانی استفاده شده است که نقاط ضعف این پژوهش به حساب می‌آید.

لذا با توجه به محدودیت دمایی برای استفاده از سیال R123، و خواص ترمودینامیکی پایین و اثرات زیستمحیطی سایر سیالات آلی، از بررسی سیکل رانکین آلی به منظور تولید الکتریسیته از اتلafات فرایند تولید سیمان چشم پوشی می‌کنیم.

۴-۴-نتیجه‌گیری و انتخاب سیکل مناسب

علاوه بر مطالب ذکر شده به منظور انتخاب مناسب ترین سیکل، هزینه سرمایه‌گذاری سیستم

نیز معیاری اساسی برای انتخاب سیکل مناسب می‌باشد.

هزینه سرمایه گذاری اولیه سیستم‌های بازیافت حرارت در جدول (۱۳-۴) آورده شده است.

جدول (۱۳-۴): هزینه سرمایه گذاری اولیه سیستم‌های بازیافت حرارت [34]

کالینا	رانکین آلی	بخار دو فشاری	بخار با تبخیر ناگهانی	چرخه بازیافت
۲۱۹۶	۱۷۶۵	۱۰۸۸	۱۰۸۳	هزینه سرمایه گذاری (ریال بر وات)

نتایج بررسی‌ها نشان می‌دهد که راندمان حرارتی و برق تولیدی چرخه کالینا از راندمان حرارتی و برق تولیدی سایر چرخه‌های پیشنهادی بیشتر است این در حالی است که هزینه سرمایه گذاری اولیه چرخه کالینا نیز نسبت به چرخه‌های بخاری بالاتر است. با توجه به راندمان حرارتی بالای چرخه کالینا و البته در نظر گرفتن ملاحظات هزینه‌ای فناورانه و زیست محیطی، انتخاب چرخه مناسب برای شبیه سازی فرایند بازیافت حرارتی از جداره کوره و هوای داغ خروجی از خنک کن کلینکر نیازمند بررسی‌های اقتصادی می‌باشد.

فصل پنجم: جمع بندی و نتیجه گیری

۱-۵ جمع‌بندی

می‌توان تاثیر مطالب عنوان شده را بر حسب بازده‌های اول و دوم در تجهیزات مختلف را به صورت زیر نوشت و از آن‌ها برای یافتن راهکارهای بهبود انرژی در هر یک از تجهیزات استفاده نمود.

در سیستم کولر و کوره و با توجه به نتایج قبلی در می‌یابیم احداث کارخانجات سیمان در نقاط آب و هوایی گرم از راندمان بهتری برخوردار بوده و اینکه در فصول گرم کارخانه با راندمان بهتری کارمی‌کند. تاثیر دمای محیط بر سیستم کوره قابل ملاحظه بوده و این تاثیر در بازده دوم بیشتر است. علت این امر کاهش بیشتر اگررژی خروجی نسبت به اگررژی ورودی با تغییرات دمای محیط (سیستم مرده) می‌باشد. افزایش دمای گازهای خروجی در سیستم کولر باعث کاهش در بازده‌های اول و دوم می‌گردد. این امر بواسطه خروج مقادیر قابل توجه انرژی و اگررژی از سیستم می‌باشد. بنابراین هر گونه کاهش در دمای گاز یا استفاده از انرژی و اگررژی آن به راندمان سیستم کمک می‌نماید. این قسمت پتانسیل بالقوه زیادی جهت اعمال راهکارهای بهبود انرژی همچون سیستم‌های CHP را دارد می‌باشد.

در قسمت کوره دمای محیط تاثیر مطلوبی بر بازده‌ها دارد و سیستم کوره در هوای گرم از راندمان بهتری برخوردار است. در سیستم کوره پارامترهای قابل تغییر به هوای ثانویه و مواد اولیه خروجی محدود می‌شوند. افزایش دمای مواد اولیه تاثیر منفی بر بازده اول داشته اما تاثیر منفی بر بازده دوم ندارد و تاثیر تغییر در تمامی پارامترهای بخش کوره باعث افزایش بازده دوم می‌گردد. با تغییر دمای مواد اولیه ورودی بازده اول به میزان 0.32 کاهش می‌یابد، در حالی که بازده دوم بمیزان 0.15 افزایش می‌یابد. افزایش دمای هوای ثانویه نیز تاثیر بهتری بر بازده دوم نسبت به بازده اول دارد.

در سیستم سیکلون‌ها بطور کلی مواد خروجی و هوای گرم ورودی موثرترین پارامترها هستند. افزایش دمای مواد اولیه خروجی از یک سو باعث افزایش بازده اول شده و از سوی دیگر باعث کاهش بازده دوم با ضریب $1/6$ برابر می‌گردد. افزایش دمای هوای گرم ورودی باعث افزایش بازده دوم و

کاهش بازده اول با ضریب ۷/۷ برابر می‌گردد. بنابراین تاثیر پارامتر هوای گرم ورودی بسیار بیشتر از مواد اولیه خروجی در این سیستم‌ها می‌باشد.

همانطور که مطالب فصول قبل مشهود است استفاده از گازهای خروجی از دودکش و گرمای اتلافی از جداره کوره باعث تغییرات زیادی در بازده قانون اول و دوم داشته و برای این منظور با توجه به راندمان حرارتی بالای چرخه بخار با تبخیر ناگهانی و البته در نظر گرفتن ملاحظات هزینه‌ای فناورانه و زیست محیطی، چرخه بخار با تبخیر ناگهانی برای شبیه سازی بازیافت حرارتی از جداره کوره و هوای داغ خروجی از خنک کن کلینکر در طرح مذکور انتخاب شده است. از محاسبات مربوط به این فصل مشاهده می‌گردد چرخه مذکور قادر است به میزان 6955 kW از برق مورد نیاز کارخانه را تامین نماید.

در پایان می‌توان گفت بر مبنای تحلیل‌های انرژی و اگزرژی راهکارها و تاثیر هر یک بر بازده‌های اول و دوم در یک کارخانه سیمان مشخص شده است. اجرای این راهکارها و اعمال آن‌ها در هر کارخانه با توجه به شرایط هر کارخانه متفاوت می‌باشد و برای اجرای هریک بایستی تحلیل‌های هزینه و فایده صورت گیرد

۲-۵ پیشنهادها

با عنایت به فرض‌هایی که برای توسعه پایان‌نامه حاضر در نظر گرفته شد، موارد زیر به عنوان مسئله‌های تحقیق‌ها و مطالعات آتی در کنار توسعه مدل جریان بهینه انرژی و اگزرژی صنعت سیمان پیشنهاد می‌شود.

۱. تحلیل هزینه و فایده در اجرای هر یک از پژوهش‌های ذکر شده.
۲. برآورد جزئی هزینه‌های فنی و اقتصادی استفاده از سوخت‌های جایگزین.

۳. بررسی و بهسازی راندمان قوانین اول و دوم ترمودینامیک در سیستم کولر به همراه سیستم‌های بازیاب به عنوان یک حجم کنترل.

پیوست‌ها

پیوست الف: شناسایی و بررسی فرآیندهای مختلف

در تولید سیمان

الف-۱ شرح فرآیند تولید سیمان

مواد اصلی جهت ساخت و تولید سیمان عبارتند از:

الف) سنگ آهک که معمولاً از معادن، نزدیک به محل کارخانه استخراج می‌شود.

ب) سیلیکا و آلومینا که از خاک رس و ماسه حاصل می‌شوند.

ج) آهن که از سنگ آهن یا سرباره‌های کارخانه‌های فولاد سازی. تأمین می‌شود.

فرآیندهای اصلی تولید شامل موارد زیر می‌باشند:

- .۱. استخراج سنگ آهک
- .۲. خرد کردن سنگ آهک
- .۳. آماده سازی دیگر مواد خام
- .۴. نرم کردن مواد خام در آسیاب‌های مواد خام
- .۵. ذخیره سازی خوراک خام در سیلوهای ذخیره
- .۶. مخلوط کردن سنگ آهک پودر شده جهت کنترل درصد کربنات کلسیم(CaCO₃)
- .۷. پختن مواد خام جهت بدست آوردن کلینکر

.۸. پودر کردن کلینکر همراه با گچ در آسیاب سیمان

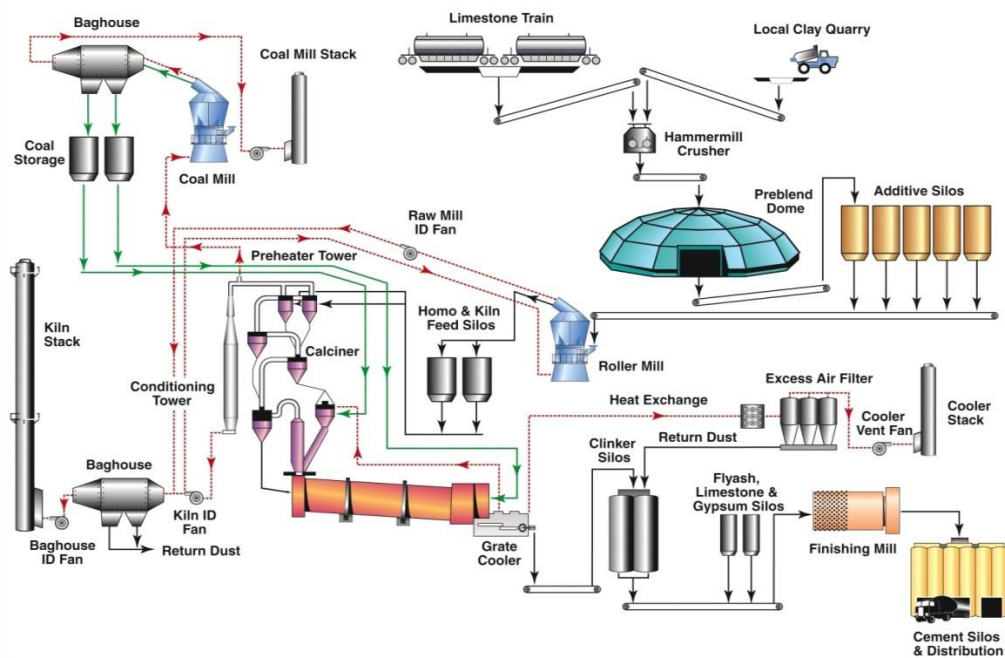
.۹. ذخیره سازی سیمان در سیلوی ذخیره

.۱۰. بسته بندی و حمل سیمان از کارخانه به نقاط مصرف

خوارک کوره با خرد کردن، پودر کردن و اختلاط مواد خام بصورت مخلوطی با ترکیب همگن آماده می شود به طوری که پس از گرمایش اولیه که جهت خروج آب و گاز کربنیک انجام می گیرد. عمد مواد خام ، شامل ۶۴ درصد اکسید کلسیم (CaO)، ۲۲ درصد اکسید سیلیسیم (SiO_2)، ۵/۳ درصد اکسید آلومینیوم (Al_2O_3) و ۳ درصد اکسید آهن (بصورت Fe_2O_3) می باشد. این مواد سپس در دمای بسیار بالا قرار می گیرند تا توسط انجام واکنش های شیمیایی کلینکری تولید نمایند که دارای چهار جزء اصلی آلت، بلیت، سلیت و آهن مطابق با جدول باشد [23].

جدول (۱-۶): ترکیبات کلینکر سیمان پرتلند

درصد در سیمان های معمولی	علامت اختصاری شمیست های سیمان	فرمول شیمیایی	نام فاز معنی	نام شیمیایی
۴۵	C 3S	3 CaO. SiO ₂	آلت	تری کلسیم سیلیکات
۲۵	C2S	4CaO.SiO ₂	بلیت	دی کلسیم سیلیکات
۱۲	C 3A	3 CaO. Al ₂ O ₃	سلیت	تری کلسیم آلومینات
۸	C 4AF	4CaO. Al ₂ O ₃ Fe ₂ O ₃	آهن	تترا کلیسم آلومینیو فریت



شکل (الف-۱): مراحل مختلف تولید سیمان پرتلند (فرایند خشک)

مراحل اصلی فرایند تولید سیمان شکل (الف-۱) در بطور شماتیک نشان داده شده است.

حجم اعظم مواد خام ، کربنات کلسیم (CaCO_3) یا مواد مشابه می باشد، سنگ آهک از معدن در ابعادی به قطر تقریبی ۷۵۰ میلی متر استخراج می گردد این سنگها می بایست تا قطر تقریبی ۱۰ میلی متر خرد شوند و سپس با سنگ سیلیس و سایر اضافات برای آسیاب شدن و رسیدن به قطری در حدود ۶۰ میکرومتر ترکیب شوند. گاهی عمل خرد کردن اولیه در محل معدن و قبل از حمل مواد به کارخانه سیمان انجام می شود . پس از آسیاب کردن بسته به نوع دقیق فرآیند ممکن است به مواد مقداری آب افزوده گردد، سپس مخلوط در کوره دوار جهت تبدیل به کلینکر در معرض دمای بالا قرار می گیرد. کلینکر حاصل از فرآیند انجام شده در کوره دوار قبل از انجام فرآیندهای بعدی می بایست خنک شود که این فرآیند در یک مبدل حرارتی بنام کولر کلینکر انجام می گیرد.

پس از خنک کردن ، کلینکر تولیدی ذخیره و یا فروخته شده و سپس جهت آسیاب کردن بعدی حمل می شود و یا در محل کارخانه با افزودن گچ و دیگر اضافات آسیاب شده به سیمان تبدیل می گردد. سیمان تولیدی سپس بسته بندی شده و یا بصورت فلهای به توزیع کنندگان ارائه می شود.

الف-۱- بررسی فعل و انفعالات شیمیایی در کوره سیمان

کوره های سیمان ، کوره هایی با طولی تا ۲۳۰ متر و قطر تا ۸ متر و زاویه شیب ۳ تا ۶ درجه بوده و با آجرهای مقاوم و نسوز با دمای بالا پوشیده شده اند . این کوره ها در حدود ۵۰ تا ۷۰ دور در ساعت در کارخانجات قدیمی تر سیمان دوران داشته و در کارخانه های جدیدتر بین ۱۷۰ تا ۱۸۰ دور بر ساعت می چرخند. خوراک کوره در قسمت بالاتر انتهای آن وارد شده و با چرخش آهسته کوره به آهستگی به سمت ابتدای کوره جایی که مشعل در آن قرار دارد حرکت می کند سوخت مصرفی کوره زغال سنگ، گاز طبیعی، سوخت مایع نفتی (مازوت و گازوئیل) یا ترکیبی از سوخت های ذکر شده می باشد.

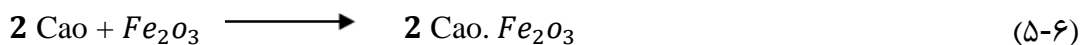
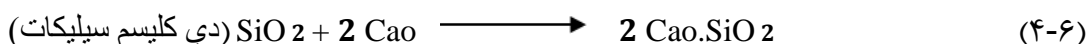
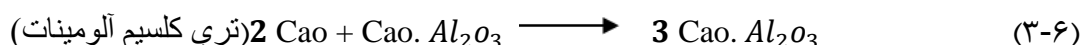
نواحی حرارتی مختلفی در کوره سیمان موجود است. در انتهای کوره که در ارتفاع بالاتری نسبت به ابتدای آن قرار دارد و خوراک کوره از آنجا به کوره وارد می شود ناحیه خشک کردن و پیش گرماش کوره قرار گرفته که در آن، مواد به دمایی در حدود ۸۰۰ درجه سانتی گراد می رساند سپس این ناحیه، با ناحیه کلسینه کردن که در واقع محل خارج شدن گاز کربنیک (CO_2) از سنگ آهک است دنبال می شود . در این ناحیه مواد در دمایی نزدیک به ۱۰۰۰ درجه سانتی گراد به آهک آزاد^۱ تبدیل می شود. واکنش شیمیایی که در این ناحیه رخ می دهد عبارت است از :



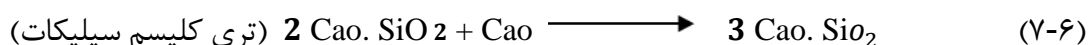
با گذشت زمان واکنش کلسیناسیون کامل می گردد . آهک آزاد وارد ناحیه بینابینی شده و

¹ Free Lime

اکسید پایه (CaO) با سیلیکا (SiO_2) و آلومینا (Al_2O_3) وارد واکنش می‌گردد. دمای این ناحیه در محدوده ۱۰۰۰ تا ۱۲۰۰ درجه سانتی‌گراد حفظ می‌شود. واکنش‌هایی که در این ناحیه رخ می‌دهند عبارتند از:



ناحیه بعدی ناحیه سینترینگ است که در آن در دمایی حدود $1300^{\circ}C$ ، سینترینگ مواد آغاز می‌گردد. در هنگام سینتر شدن مواد، ماده دی‌کلسیم سیلیکات با آهک آزاد باقیمانده به حالت اشباع رسیده و تشکیل تری کلسیم سیلیکات می‌دهد.



سر انجام مواد به ناحیه شعله می‌رسند. که دما در آن ناحیه که اصطلاحاً به داغی سفید^۱ معروف است در حدود ۱۴۲۵ تا ۱۵۵۰ درجه سانتی‌گراد می‌باشد [23].

در حالت شبه مایعی که در این مرحله وجود دارد. مواد به رنگ سیاه در آمد و گرده‌هایی با قطر تقریبی ۲۵ میلی متر را تشکیل می‌دهند که پس از سرد شدن کلینکر^۲ نامیده می‌شود.

پس از این ناحیه بسیار گرم دما کاهش می‌یابد و کلینکر شروع به سرد شدن می‌کند . و سرانجام

¹ white hot

² Clinker

مواد از کوره به خنک کننده (کولر) می‌ریزد که از میان آن حجم زیادی از هوا نسبتاً خنک عبور می‌نماید.

به جهت جلوگیری از اتلافات حرارتی هوا از خنک کننده به کمک کانالی به کوره انتقال یافته و بعنوان هوا احتراق مورد استفاده قرار می‌گیرد. هواخروجی از کولر بصورت عرضی وارد کوره شده و متلاطم می‌گردد که اغلب برخی از ذرات ریز مواد خام را نیز با خود به سمت انتهایی کوره می‌برد.

کلینکرتولیدی سپس به مرحله آسیاب نهایی هدایت شده و در آنجا قبل از آسیاب در حدود ۵ درصد گچ به آن اضافه می‌گردد.

پس از آن مخلوط در آسیاب‌های گلوله‌ای یا استوانه‌ای پودر شده و معمولاً توسط نقاله‌های پنوماتیکی به سیلوهای ذخیره انتقال می‌یابد.

الف-۱-۲ روش‌های پخت سیمان

چهار نوع اصلی از فرآیندهای پخت سیمان که در حال حاضر از آنها در خطوط تولید سیمان استفاده می‌شود عبارتند از [23]

- فرآیند مرطوب (تر)

- فرآیند نیمه مرطوب

- فرآیند نیمه خشک

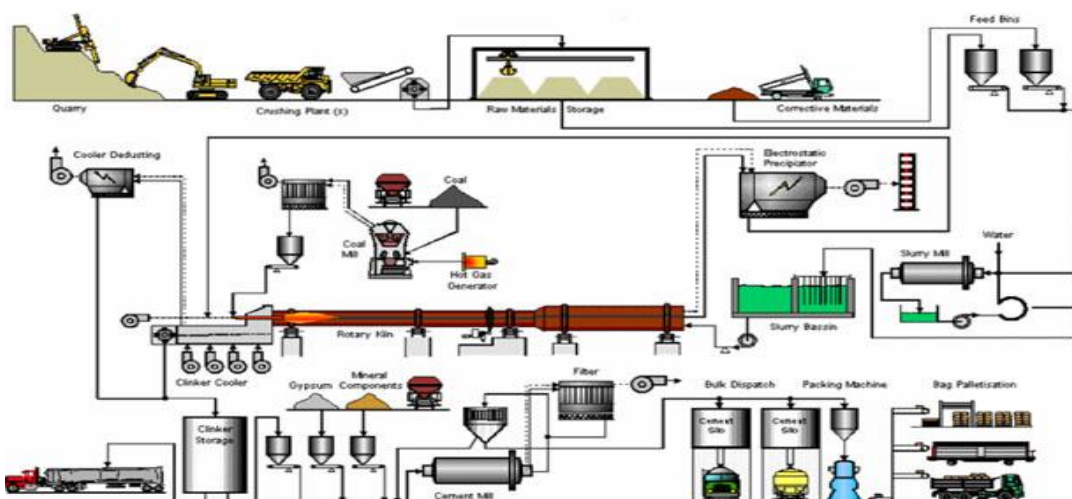
- فرآیند خشک

که از میان فرآیندهای فوق بهترین فرآیند از نقطه نظر کارایی انرژی و همچنین معمول‌ترین فناوری بکار گرفته شده امروزی، فرآیند خشک می‌باشد.

الف-۱-۲- فرآیند مرطوب

در حال حاضر بخش قابل توجهی از سیمان در جهان هنوز به شیوه فرآیند مرطوب تولید می‌شود. در فرآیند مرطوب مواد خام به کمک ۳۰ تا ۴۰ درصد افزودن آب مخلوط آماده می‌شوند و در قسمت انتهایی بالایی کوره بصورت دوغاب وارد می‌شود.

فرآیند مرطوب مخصوصاً هنگامی مفید است که مواد خام حاوی مقدار زیادی رطوبت در هنگام استخراج از معدن باشند. این فرآیند همچنین دارای این مزیت است که خوراک کوره بصورت یکنواخت می‌باشد اما نیازمند به صرف مقدار انرژی بیشتری نسبت به سایر کوره هاست زیرا آب باید در طول فرآیند تبخیر شود. در این حالت نیز واکنش‌هایی که قبلًا ذکر شده‌اند روی می‌دهد.

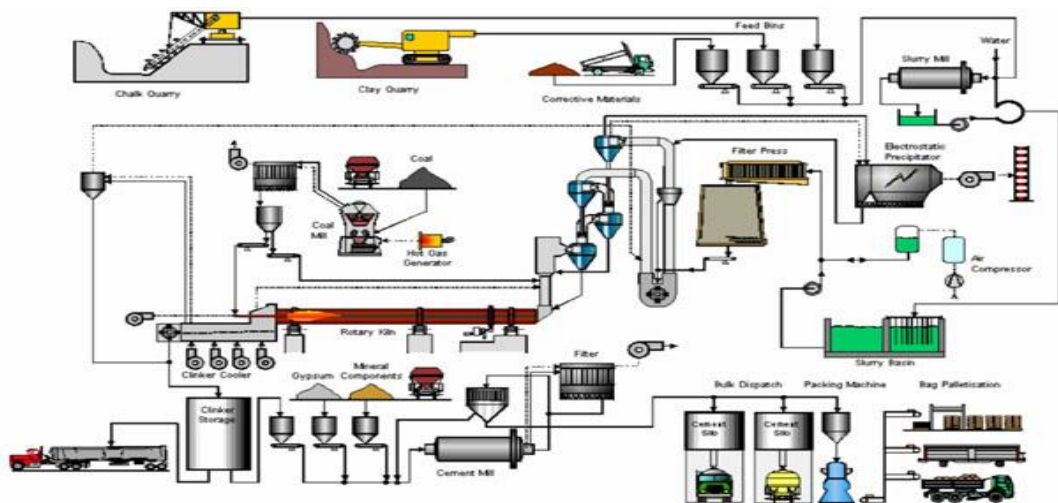


شکل (۲-۶): تولید سیمان به روش فرآیند مرطوب

الف-۱-۲- روش نیمه‌مرطوب

در فرآیند تولید سیمان به روش نیمه‌مرطوب مواد خام آماده شده توسط فرآیند مرطوب ابتدا بصورت مکانیکی (عموماً با استفاده از فیلتر پرس) آب‌گیری شده و سپس به شکل گرددهایی به واحد خشک‌کن وارد می‌شوند. این واحد خشک کننده ممکن است سومین قسمت از یک پیش گرم کن

متحرک مشبك^۱ باشد. امروزه یک خشک‌کن پخش یا پراکنشی یا خشک‌کن ضربه‌ای قبل از پیش‌گرم‌کن (پری‌هیتر) یا پری‌کلسانیر کوره نصب می‌شود. در شکل (الف-۳) نمونه‌ای از یک سیستم نیمه‌مرطوب با پیش‌گرم‌کن نشان داده شده است.



شکل (الف-۳): فرایند تولید سیمان (فرایند نیمه مرطوب)

الف-۳-۲ روش نیمه‌خشک

در سیستم نیمه‌خشک گرده‌های تشکیل شده از مواد خام حاوی تقریباً ۱۲٪ آب می‌باشند. پیش‌گرم‌کن متحرک کوره تا جایی که از نظر فنی بصورت یک واحد پیش فرایندی باشد، ادامه می‌یابد. کوره‌های از این نوع دارای برخی معایب ذاتی در سیستم به شرح زیر می‌باشند:

- هزینه اولیه نسبتاً بالا و همچنین عملکرد پر هزینه در قبال خروجی از کوره
- کیفیت خاص مورد نیاز مواد خام
- مصرف گرمای کلی نسبتاً بالا

^۱ Traveling Grate Preheated

- محدودیت در استفاده از سوخت‌های با کیفیت پایین

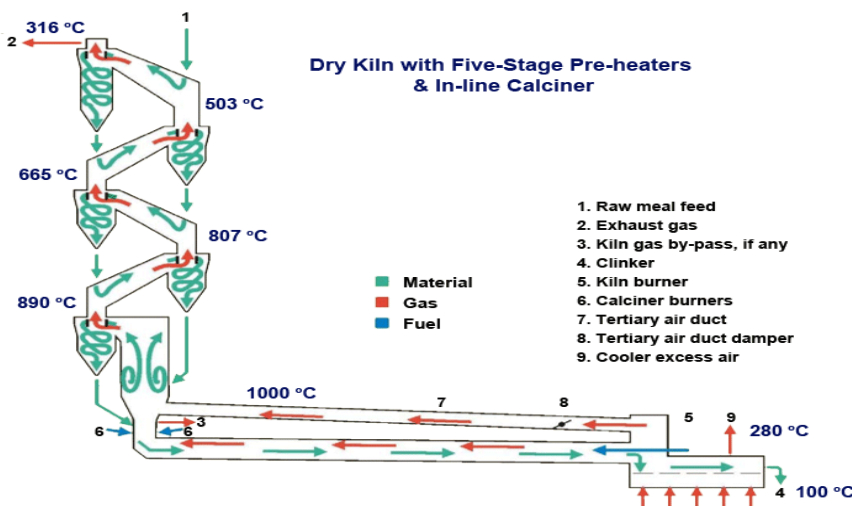
- عدم توانایی در کاربرد پیش‌کلسیناسیون

به دلایل ذکر شده فوق، این سیستم اهمیت خود را از دست داده است. بسته به شرایط محلی در موقعیت‌های مشخص استفاده از سیستم پیش‌گرمایش مطلوب به نظر می‌رسد.

الف-۱-۴-۲ روشن خشک

در فرآیند خشک از کوره‌های بلندی که در فرآیند مرطوب نیز از آن استفاده می‌شود بهره‌برداری می‌گردد در فرآیند خشک مقدار قابل توجهی از مصرف انرژی کاسته می‌شود و این فرآیند می‌تواند اغلب مشکلات ناشی از انتشار آلاینده‌های محیط زیست را کاهش دهد. علاوه بر این تکنیک‌های فرآیندی خشک جدیدتری پدید آمده‌اند که نسبت به فرایندهای خشک قبلی که در مقایسه با روش مرطوب از مصرف انرژی کمتری برخوردار بوده‌اند، انرژی کمتری مصرف می‌نمایند.

کارخانجات سیمان جدیدتر از فرآیند خشکی استفاده می‌کنند که در آن مواد خام به صورت پودر خشک به کوره تغذیه می‌شوند. در کارخانه‌هایی که در سال‌های اخیر نصب شده‌اند، از واحدهای پیش‌گرمایش و پیش‌کلسیناسیون به جهت بهبود راندمان حرارتی فرآیند با استفاده از عبور گازهای داغ کوره از میان آن‌ها و قبل از ورود خوراک به کوره، استفاده به عمل آمده است.



شکل (الف-۴): دپارتمان پخت در فرآیند خشک شامل یک سیستم پیش‌گرمایش معلق

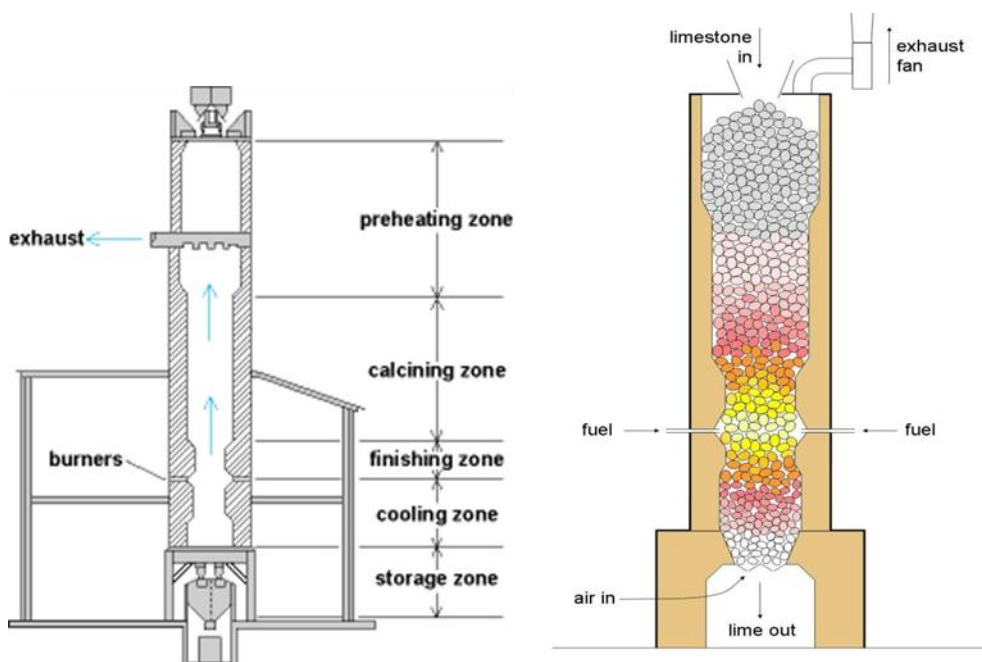
چنانچه در شکل (الف-۴) نشان داده شده است، مواد خام پودر شده در بالاترین نقطه به پیش‌گرم کن و در جهت خلاف با جريان هوا وارد می‌شوند اين جريان هوا از کولر (خنک کن کلينکر) جريان يافته و بنابراین بدليل عبور از عرض کولر گرم می‌شود. همچنین مقطعي از يك کوره دوار کوتاه قبل از هدایت آن به پیش‌گرم کن وجود دارد بنابراین جريان مذکور نه تنها برای پیش‌گرمایش به اندازه کافي داغ است بلکه تا حدی مواد ورودی را نيز پیش کليسينه می‌نماید [23].

ترتيب فيزيكي از مجموعة اي سيكلونها بر روی پیش گرم کننده بطوری که هواي داغ و خوراک بتوانند تماس مناسبی برای بيشينه انتقال حرارت و راندمان بهينه داشته باشند امكان پذير است.

اضافه کردن يك کلسايير که در واقع يك کوره ساكن مستقر در بين کوره دوار و پیش‌گرم کن معلق می‌باشد، مقدار پیش کليسينه شدن را که در پیش‌گرم کن اتفاق می‌افتد افزایش می‌دهد. و بدین ترتيب پتانسيل ظرفيت کوره دوار افزایش می‌يابد هنگامی که مواد خام تمامي مراحل را طى نمود سپس تا دماي ۸۰۰ درجه سانتي گراد گرم شده و قبل از ورود به کوره بصورت گسترده‌تری کليسينه می‌شود. دماي گازهای داغ در اين از مرحله از ۱۰۰۰ درجه سانتي گراد به ۳۰۰ درجه

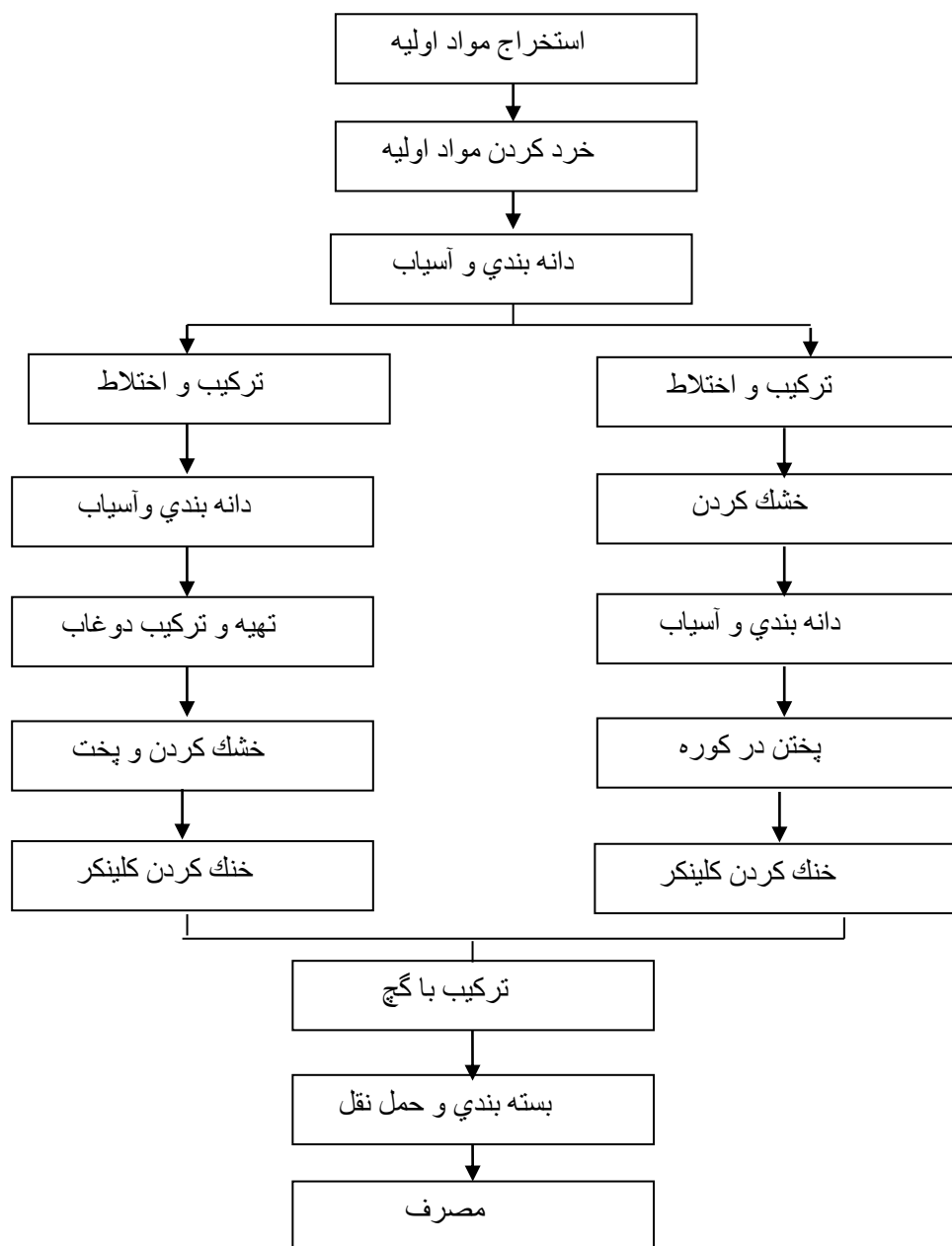
سانتی‌گراد کاهش می‌یابد. خوراک داغ پس از عبور از پیش‌گرم‌کننده و کلساینر سریع به یک کوره دوار کوتاه جهت تبدیل به کلینکر وارد می‌شود [23].

در کوره‌های شفتی (قائم) نوع دیگری از فرآیند تولید خشک بکار گرفته می‌شود. کوره‌های شفتی در مقایسه با کوره‌های دوار به قدرت و گرمایی کمتری به ازای هر تن کلینکر تولیدی نیازمندند. و قابل مقایسه با سیستم‌های دارای پیش‌گرمایش هستند اما عیب اصل آن‌ها ظرفیت پایین و یکنواختی. کمتر محصول می‌باشد. شکل (الف-۵) طرحی از یک کوره شفتی ارائه شده است [۲۳]



شکل (۵-۶): کوره قائم

طرح کلی فرآیندهای مرطوب و خشک بصورت نمودار جریانی در شکل مشاهده می‌گردد.



نمودار (۱-۶): نمودار جریان کلی فرآیندهای مختلف تولید سیمان

الف-۱-۳ شرح تجهیزات مورد استفاده در خط تولید سیمان [23]

چنانچه قبلاً نیز ذکر گردید مواد اولیه تولید سیمان پرتلند اساساً شامل مواد آهکی و رسی می‌باشد و سنگ آهک (کربنات کلسیم) بخش عمدۀ مواد خام را تشکیل می‌دهد. پس از سنگ آهک خاک رس دومین بخش تشکیل دهنده مواد خام سیمان است که در واقع تعیین کننده آلومین، سیلیس و دیگر اکسیدهای مورد نیاز در ترکیب سیمان می‌باشد. لازم به ذکر است که مخلوط طبیعی سنگ آهک و خاک رس اصطلاحاً مارل^۱ نامیده می‌شود. این مواد حاصل استخراج و بهره برداری از معادن مواد اولیه سیمان است. سپس با انجام مراحل فرآیندی دیگر شامل خردایش، آسیاب کردن و سرانجام پخت و آسیاب و افزودن مواد افزودنی، سیمان تولید می‌گردد. در زیر به روند تولید سیمان در مراحل فرآیندی و نیز تجهیزات بکار برده شده در هر فرایند پرداخته می‌شود:

الف-۱-۳-۱ استخراج مواد اولیه^۲

معادن مواد اولیه سیمان بخصوص سنگ آهک، خاک رس، مارل، سنگ گچ و بصورت روباز هستند. در استخراج موادی مانند سنگ آهک، سنگ آهن و سنگ گچ به چاله زنی و آتشباری می‌باشد که عمل چاله زنی توسط وسایلی مانند دریل واگنی یا چکش دستی انجام می‌شود. پس از آتشباری، با استفاده از وسایلی چون بولدوزر و اسکاواتور جابجایی و ذخیره کردن مواد استخراج شده انجام می‌شود.

مواد اولیه دیگر مانند خاک رس و مارل نیاز به عملیات آتشباری و چاله زنی نداشته و عمل جابجایی و ذخیره سازی آن‌ها به کمک بولدوزر و دستگاه‌های مشابه انجام می‌گردد. البته با پیشرفت فناوری ماشین آلات معدنی استخراج سنگ آهک نیز به تدریج بدون نیاز به عملیات آتشباری امکان‌پذیر شده است.

¹ marl

² Quarrying

بارگیری مواد اولیه سیمان بوسیله لودر یا بیل مکانیکی صورت گرفته و حمل این مواد بوسله کامیون، نوار نقاله، واگن های زمینی یا هواپی انجام می شود. البته استفاده از روش های مختلف استخراج، بارگیری و حمل مواد اولیه به کارخانه بستگی به عواملی چون فاصله معدن تا کارخانه، نوع معدن و ملاحظات اقتصادی و سرمایه گذاری دارد. مواد اولیه استخراج شده از معادن مختلف ابعاد متفاوتی را دارا بوده و لذا به صورتی که استخراج شده اند قابل استفاده از مستقیم در کوره نمی باشند بنابراین لازم است تا فرآیند دیگری بنام خرد کردن مواد اولیه یا خردایش بر آنها انجام گیرد.

الف ۱-۳-۲ خرد کردن مواد اولیه یا خردایش

در این قسمت مواد اولیه استخراج شده خرد شده و به ابعادی در حدود کمتر از ۱۰ سانتی متر می رساند برای خرد کردن سنگ آهک و یا مواد اولیه با ابعاد بالا، از دستگاه های خرد کن با طرح های مختلف استفاده می شود که در زیر به بعضی از آن ها اشاره می شود.

الف- سنگ شکن متحرک^۱

در مواردی که سنگ شکن در معدن واقع شده است بدلیل عقب نشینی تدریجی معدن در طول استخراج از آن و برای صرفه جویی در حمل و نقل ماشین آلات از این نوع سنگ شکن استفاده می شود. این سنگ شکن مجموعه متحرکی است که بر روی چرخ زنجیر یا تایر قرار داشته و قادر است تا همزمان با تغییر محل سکوی استخراج و بارگیری مواد اولیه، تغییر مکان دهد. مواد خرد شده توسط این سیستم، به وسیله نوار نقاله یا کامیون به کارخانه ارسال می شود. معمولاً استفاده از نوار نقاله یا واگن هواپی هنگامی مقرر بصرفه است که فاصله کارخانه تا معدن کمتر از ۵ کیلومتر باشد.

ب- سنگ شکن های ثابت^۱

^۱ Mobile Crusher

انتخاب نوع سنگ شکن بستگی به نوع و جنس سنگ مصرفی و ابعاد مورد نیاز سنگ خرد شده دارد.
لذا گاهی اوقات با یکبار خرد کردن و در موقعی نیز دو یا سه مرحله عمل خرد کردن، ابعاد مورد
نیاز سنگ را تأمین خواهد نمود. مواد خروجی از سنگ شکن ها باید دارای ابعاد محدودی باشند. تا
در کار آسیاب های مواد که جهت پودر کردن مواد اولیه بکار برده می شوند اشکالی ایجاد نشود.

از جمله انواع مختلف سنگ شکن های ثابت که در صنعت سیمان بکار برده می شوند می توان به
سنگ شکن فکی، مخروطی، ضربه ای، چکشی و استوانه ای اشاره کرد که نوع کاربرد هر یک بستگی به
جنس مواد دارد. سنگ شکن های ثابت در ابتدای خط تولید سیمان قرار دارند. مواد اولیه بوسیله
کامیون در داخل قیف این سنگ شکن ها تخلیه می شوند و پس از خردایش از طریق نوار نقاله راهی
سالن ذخیره می شوند.

ظرفیت سنگ شکن و ماشین آلات معدنی چنان انتخاب می شوند که با پنج روز کار در نقطه و
یک نوبت کار در هر روز نیاز کارخانه به مواد اولیه تأمین شود.

الف-۳-۳- مخلوط کردن اولیه و ذخیره سازی

قبل از انتقال مواد خرد شده از سنگ شکن به آسیاب مواد جهت پودر شدن، مواد خرد شده بداخل
سالن ریخته و انباسته می شوند تا به این ترتیب در ابتدا مواد اولیه با یکدیگر مخلوط شوند و در عین
حال ذخیره ای از مواد نیز حاصل شود.

نقش سالن مواد در خط تولید علاوه بر اختلاط اولیه و ذخیره سازی، کار پیوسته آسیاب مواد را
نیز تضمین می نماید.

در بعضی از کارخانجات انواع مواد خام بصورت جداگانه ذخیره می شوند و در برخی دیگر، تعدادی

¹ stationary crusher

از مواد اولیه نظیر سنگ آهک و خاک رس ضمن ذخیره شدن در سالن با یکدیگر نیز مخلوط می‌شوند. اختلاط اولیه مذکور نیازمند به استفاده از تجهیزاتی چون ریزنده و خراشنده است.

الف-۱-۴ خشک کردن مواد اولیه^۱

در برخی از کارخانجات سیمان، بدلیل موقعیت جغرافیایی خاص برخی از مواد اولیه (مخصوصاً خاک رس) دارای میزان رطوبت بالایی هستند که عملأً از آنها نمی‌توان در فرآیند تولیدی استفاده نمود. لذا لازم است تا قبل از ذخیره سازی مواد مذکور خشک شوند. بدین منظور ممکن است تا از خشک کن‌های مختلفی استفاده بعمل آید که از جمله آن‌ها می‌توان به خشک کن دور اشاره نمود که شباهت زیادی به کوره سیمان دارد. خشک کن‌ها عملأً می‌توانند رطوبت مواد را از ۲۵ درصد به ۳ درصد کاهش دهند.

الف-۱-۵ پودر کردن مخلوط مواد خام^۲

در فرآیند خشک تولید سیمان لازم است تا مواد خام قبل از ورود به کوره بصورت پودر درآیند. در ضمن جهت جلوگیری از کلوخه‌ای شدن و کاهش چسبندگی مواد، حتی الامکان قبل از فرستاد مواد خام به سیلوهای ذخیره می‌باشد خشک و رطوبت گیری شود. به این منظور از سیستم‌های مختلفی که بطور همزمان خشک و پودر می‌کنند استفاده می‌گردد از جمله معروف‌ترین سیستم پودر کردن که در صنعت سیمان کاربرد زیادی دارد، آسیاب مواد گلوله‌ای (شبکه‌ای) و آسیاب مواد غلظتکی می‌باشد.

الف-آسیاب مواد خام گلوله‌ای^۳

این نوع آسیاب متشکل از یک بشکه استوانه‌ای شکل، حاوی گلوله‌های فولادی است که سطح داخلی

¹ Drying

² Raw Material Grinding

³ Ball Mill

آن توسط زرههای شکل دار پوشیده است. استوانه دارای حرکت دورانی است و زرهها نقش حفاظت از بدنه و جهت دادن به حرکت مواد و گلوله‌های فولادی در داخل آسیاب را بر عهده دارند. داخل آسیاب به چند قسمت تقسیم شده که هر قسمت توسط صفحات مشبك به نام دیافراگم از یکدیگر جدا شده که به آن‌ها خانه گفته می‌شود.

در خانه‌های آسیاب گلوله‌های فولادی به قطر ۲۰ تا ۱۰۰ میلی‌متر به نسبت معین و وزن مشخص ریخته می‌شود از یک طرف آسیاب، موادی که می‌بایست پودر شوند وارد شده و در آن حرکت دورانی و وجود گلوله‌ها ترکیبی از فشار، سایش، ضربه و برخورد سبب می‌شود تا مواد ورودی ضمن طی مسیر آسیاب، پودر شوند.

با جریان دادن گاز گرم خروجی از کوره در آسیاب مواد خام عمل خشک کردن مواد نیز انجام می‌گردد. سپس مواد پودر شده توسط الواتور به دستگاه جدا کننده^۱ فرستاده می‌شود و در این دستگاه مواد ریز و درشت جدا و به آسیاب برگشت داده می‌شود، مواد نرم شده نیز به سیلوهای ذخیره مواد ارسال می‌گردد.

این نوع آسیاب‌ها با طرح‌های گوناگون برای پودر کردن مواد خام و همچنین کلینکر مورد استفاده می‌باشند.

ب- آسیاب‌های غلطکی^۲

این نوع آسیاب‌ها نیز دارای طرح‌های گوناگون می‌باشند. بدلیل سادگی سیستم، پایین بودن مصرف انرژی و قیمت این آسیاب‌ها، استفاده از این نوع آسیاب‌ها جهت پودر کردن مواد خام گسترش یافته

¹ Separator

² Roller Mill

است. این نوع آسیاب‌ها به طور کلی متشکل از یک صفحه گردان است که در روی آن تعدادی غلطک قرار دارد. مواد ورودی به آسیاب در فاصله بین غلطک‌ها و صفحه گردان قرار گرفته و بدليل فشار هیدرولیک یا مکانیکی و وزن غلطک‌ها ذرات خرد و پودر می‌شوند. گازهای گرم خروجی از کوره در داخل آسیاب جریان می‌یابند و هم سبب خشک شدن مواد و هم وسیله‌ای برای انتقال و جابجایی ذرات نرم به خارج از آسیاب شده و آن را به سمت سیلوهای مواد خام هدایت می‌کند.

الف ۱-۳-۶ تنظیم مواد خام^۱

پس از پودر شدن مواد خام، پودر حاصله در سیلوهای مواد خام ذخیره می‌گردد. پس از نمونه برداری از پودر حاصله و انجام آزمایشات فیزیکی بر آن و انجام تنظیم‌های لازم، مواد حاصل بنام خوراک کوره^۲ نامیده می‌شوند. در این مرحله عمدۀ ترین عواملی که مورد سنجش قرار می‌گیرند شامل مواردی چون درصد کربنات، درصد اشباع آهک (استاندارد آهک) مدول‌های مختلف، نرمی و رطوبت مواد خام می‌باشند.

برای دستیابی به سیمان با ترکیب مطلوب باید مخلوط مواد خام چنان ترکیبی داشته باشد که پس از پخت کلینکر با ترکیب لا زم بdst آید. در عمل ترکیبات مواد خام را بصورت نسبت‌هایی از درصد اکسیدهای عناصر موجود در مواد خام بیان می‌نمائید.

الف ۱-۳-۷ سیلوهای مواد خام^۳

عامل اصلی در یکنواخت بودن کار کوره و همچنین افزایش کیفیت کلینکر و در نتیجه سیمان، یکنواختی ترکیب خوراک کوره، خوب مخلوط شدن و همگن بودن آن است.

^۱ Raw Meal Correction

^۲ Kiln feed

^۳ Raw Meal Silo

به منظور همگن کردن یا هموژنیزه نمودن^۱ مطلوب مواد خام از سیلوهای ذخیره مجهز به سیستم‌های پنوماتیک استفاده می‌شود.

در هر کارخانه چندین سیلوی تنظیم و ذخیره مواد خام وجود دارد که در طرح‌ها و انواع مختلفی می‌باشند. مواد خام از بالای سیلو وارد می‌شود و پس از تنظیمات لازم از پایین سیلو تخلیه و به کوره تغذیه می‌گردد. ظرفیت سیلوها معمولاً معادل ۵ روز مصرف کوره است.

الف-۱-۳-۸ پیش‌گرمکن^۲

پس از تهیه و تنظیم مواد خام، مواد آماده فرآیند پخت در کوره می‌باشند. سیستم‌های مختلفی برای پخت سیمان وجود دارد که در اینجا به آخرین نوع این سیستم که استفاده از سیستم پیش‌گرمکن و پیش‌کلسیناتور می‌باشد اشاره می‌گردد:

در کوره مواد خام که متشکل از کربنات‌ها و سیلیکات‌ها می‌باشد پخته شده و بصورت اکسیدهای عناصر تشکیل دهنده مواد خام و (همچنین فازها و کریستال‌های) متشکل از این اکسیدها در می‌آیند. عمل پختن و تشکیل فازها در سه قسمت پیش‌گرمکن، کوره و خنک کن که تحت عنوان سیستم کوره نامیده می‌شوند، انجام می‌گیرد.

وظیفه پیش‌گرمکن اخذ رطوبت سطحی باقیمانده در مواد خام، آب تبلور، تجزیه مقدماتی سیلیکات‌ها و همچنین کلسینه کردن (آهکی کردن) بخشی از کربنات‌های موجود در مواد خام می‌باشد.

پیش‌گرمکن‌های سیکلونی معمولاً متشکل از چهار طبقه سیکلون^۳ هستند که مواد خام از طبقه

¹ Blending

² Preheater

³ Cyclone

سوم وارد آنها می‌شود. از پائین ترین قسمت پیش گرمکن، گازهای گرم خروجی از کوره وارد پائین ترین سیکلون می‌شوند. طرح سیکلون‌ها و نحوه جريان گاز و پودر مواد طوری است که ایجاد محیط گردبادی و شناور می‌شود و به دلیل ایجاد چنین محیطی تبادل گرما بین گاز و مواد به شدت صورت می‌گیرد بدلیل قیفی شکل بودن سیکلون‌ها ذرات جامد داغ شده از فاز گازی جدا می‌شوند.

در حال حاضر در برخی از کارخانه‌های سیمان در پائین ترین قسمت پیش گرمکن محفظه‌ای بنام تکلیس یا دستگاه پری‌کلسیناسیون^۱ قرار داده شده است این محفظه که معمولاً به شکل سیکلونی است مجهر به چند شکل بوده و سبب می‌شود، درصد بیشتری از گاز دی‌اکسیدکربن از کر بنات‌ها آزاد شود. در نتیجه مواد پخته تر وارد کوره شده و با حرارتی کوره کاهش می‌یابد. این امر سبب افزایش تداوم کار کوره و نیز افزایش ظرفیت آن خواهد شد.

الف-۱-۹-۳ کوره دوار^۲

بخش اصلی فرآیند پختن کلینکر در کوره دوار صورت می‌گیرد. کوره سیمان استوانه‌ای فلزی است که طول و قطر آن متناسب با ظرفیت کارخانه می‌باشد. این استوانه با شبک حدود ۳ تا ۴ درصد روی چند پایه مجهز به چند غلطک قرار گرفته و دارای حرکت دورانی می‌باشد. خوراک کوره پس از طی مسیر پیش گرمکن از انتهای کوره وارد کوره می‌شود بدلیل وجود شبک و حرکت دورانی مواد به سمت خروجی کوره و منطقه پخت سرازیر می‌شود.

در انتهای دیگر کوره مشعلی نصب شده است که با استفاده از سوخت‌های مختلف محیط حرارتی با دمای بالاتر از ۱۴۵۰ درجه سانتی‌گراد را ایجاد می‌نماید. بعلت مکش قوی موجود در کوره جهت شعله و مسیر حرکت گازهای حاصل از احتراق سوخت به سمت خروج از کوره و پیش گرم کن

¹ Precalculator

² Rotary Kiln

می باشد. بنابراین جریان گاز و مواد در داخل کوره در خلاف جهت یکدیگر می باشند.

خوارک کوره در ضمن طی مسیر کوره در ابتدا تکلیس می شود سپس با تکمیل عمل تجزیه سیلیکات ها در قسمت های بعدی ترکیب اکسیدها با یکدیگر به مرور شروع می گردد. دمای منطقه پخت چنان انتخاب می شود که خوارک کوره تا حد ذوب ناقص^۱ شده و مقداری فاز مایع بوجود آید. در محیط فاز مایع، فازها یا کریستال های کلینکر تشکیل می شود.

مقدار کلینکر خروجی از کوره حدوداً ۶۰٪ مقدار مواد خام ورودی به پیش گرمکن است ۴۰ درصد باقیمانده شامل رطوبت و گازهایی نظیر دی اکسید کربن می باشد که از تکلیس کربنات ها جدا شده و بهمراه گازهای کوره از سیستم خارج می شود.

الف-۱-۳-۲ خنک کننده^۲

کلینکر خروجی از کوره دارای دمایی حدود ۱۰۰۰ تا ۱۲۰۰ درجه سانتیگراد است بازیابی گرمایی و نیز مشکل بودن جابجایی کلینکر داغ ضرورت سرد کردن آن را در پی دارد بعلاوه مزیت اساسی دیگری که از سرد کردن کلینکر حاصل می شود تکمیل کریستال های کلینکر و افزایش کیفیت آن می باشد.

سیستم های خنک کننده مختلفی وجود دارد که در تمامی انواع مختلف آن هوای سرد محیط به داخل دمیده یا مکیده می شود . در اثر تماس هوای سرد محیط با کلینکر داغ ، کلینکر سرد شده و دمای آن تا حدود ۱۰۰ تا ۲۰۰ درجه سانتیگراد کاهش می یابد. هوای ورودی به خنک کن نیز پس از گرم شدن با دمای حدود ۸۰۰ تا ۶۰۰ درجه سانتی گراد وارد کوره می شود و بدین ترتیب بازیابی گرمایی نیز حاصل می شود.

¹ Sinter

² Cooler

انواع معروف خنک کن‌ها خنک کن گریت یا مشبک^۱، خنک کن سیارهای^۲، خنک‌کن دوار^۳ و خنک کن شفتی یا عمودی^۴ را می‌توان خاطر نشان ساخت.

الف-۱-۳-۱۱ سیلو (انبار) کلینکر^۵

کلینکر خروجی از خنک کن قبل از ورود به آسیاب سیمان در سیلو یا سالن ذخیره می‌شود زیرا این ذخیره سازی سبب می‌شود تا توقف آسیاب سیمان باعث توقف کوره نشده و نیز در فاصله ذخیره سازی کلینکر و ورود آن به آسیاب دمای کلینکر کمتر شده و همچنین کار آسیاب سیمان از نوسانات تولید کوره مستقل باشد. معمولاً ظرفیت انبار کلینکر معادل تولید یک ماه کوره در نظر گرفته می‌شود.

الف-۱-۳-۱۲ آسیاب سیمان^۶

برای پودر شدن کلینکر حاصل از پخت مواد نیز از آسیاب‌های گلوله‌ای استفاده می‌شود در این قسمت از خط تولید بهمراه کلینکر ورودی به آسیاب سیمان، مقداری گچ خام یا مواد افزاینده نظیر پوزولان‌ها و یا روباره نیز به آسیاب سیمان اضافه می‌شود که پودر حاصل همان محصول نهایی یعنی سیمان است.

جزء اساسی برخی آسیاب‌های گلوله‌ای دستگاه سپراتور (جدا کننده) می‌باشد که سیمان خروجی از آسیاب قبل از ورود به سیلوهای ذخیره سیمان وارد این دستگاه می‌شود. سپراتور نقش جدا کننده ذرات درشت سیمان از ذرات نرم و برگردانیدن ذرات درشت به داخل آسیاب جهت پودر شدن کامل تر

¹ Great

² Sattelite

³ Rotary

⁴ Shaft

⁵ Clinker Storage

⁶ Cement Mill

را دارد. بعضی از آسیاب‌های گلوله‌ای فاقد سپراتور هستند که این آسیاب‌ها به آسیاب‌های مدار باز^۱ موسوم می‌باشند.

الف-۱-۳-۱۳ سیلوهای سیمان^۲

سیلوهای سیمان، به منظور ذخیره سازی سیمان تولیدی توسط آسیاب سیمان ساخته می‌شوند معمولاً ظرفیت تولید آسیاب سیمان آنچنان در نظر گرفته می‌شود که با کار شبانه روزی جوابگوی تولید کوره باشد.

سیلوهای سیمان بتنی می‌باشد و همانند سیلوهای مواد خام کف آن‌ها توسط هوابر^۳ مفردهش است و متناوباً از طریق این هوابرهای هوای محیط به داخل سیمان دمیده می‌شود. هدف از این کار خنک کردن سیمان و پیشگیری از فشرده و کلوخ شدن سیمان در سیلوها می‌باشد.

انتقال سیمان از آسیاب سیمان به سیلوها بوسیله هوا صورت می‌گیرد. ظرفیت سیلوهای سیمان مجموعاً معادل دو هفته تولید کارخانه انتخاب می‌شود.

الف-۱-۳-۱۴ بارگیر خانه^۴

بارگیری سیمان به دو صورت کیسه‌ای و فله‌ای انجام می‌گیرد بارگیرخانه در انتهای خط تولید قرار دارد. سیمان بوسیله هوابر از سیلوها خارج می‌گردد سپس توسط بالابر کاسه‌ای به قسمت بالای بارگیرخانه و بداخل مخازن (قیف‌های) دستگاه بارگیری هدایت می‌شود. بارگیری فله‌ای بسیار ساده و ارزان آن انجام می‌شود برای این منظور سیمان به کمک هوا جابجا شد و وارد وسیله حمل می‌شود.

¹ open circuit

² Cement Silo

³ Air slide

⁴ Packing

برای بارگیری کیسه‌ای ابتدا سیمان وارد مخزن دستگاه بسته بندی^۱ می‌شود و سپس بعد از کیسه بندی شدن توسط نوار نقاله جهت حمل ارسال می‌شود.

الف-۲ بررسی صنعت سیمان از نقطه نظر مصرف انرژی

الف-۲-۱ الگوهای نمونه مصرف انرژی

فرآیندهای تولید سیمان چنانکه قبل‌نیز ذکر شده از دو نوع انرژی اولیه استفاده می‌کند، انرژی حرارتی که از احتراق سوخت‌های فسیلی مانند ذغال سنگ، گاز طبیعی و فرآورده‌های نفتی حاصل می‌گردد و انرژی مکانیکی که از تبدیل انرژی الکتریکی در دسترنس قرار می‌گیرد. انرژی حرارتی در حدود ۹۰ درصد از کل انرژی اولیه مصرفی در کارخانجات سیمان را در بر می‌گیرد که اساساً در کوره پخت جهت تولید کلینکر به مصرف می‌رسد نمونه‌ای از مصارف ویژه انرژی حرارتی و الکتریکی در فرآیندهای تولید سیمان در جدول (الف-۳) آرائه شده است [24].

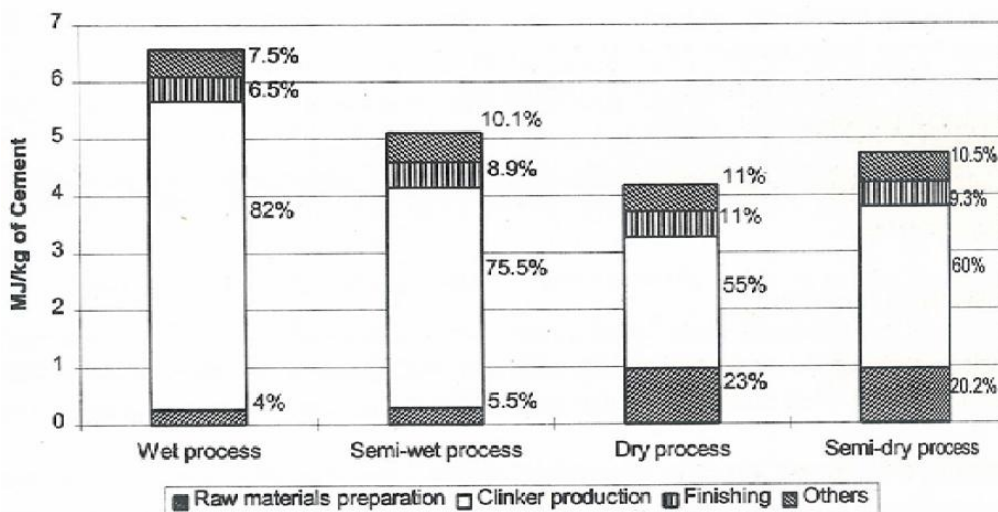
جدول (۲-۶): مصرف ویژه انرژی مخصوص حرارتی و الکتریکی برای تولید سیمان

فرآیند	انرژی حرارتی (گیگاژول برتن کلینکر)	برق (کیلووات ساعت برتن سیمان)
فرآیند مرطوب	۵/۴۳-۵/۰۲	۱۲۵-۷۰
فرآیند نیمه مرطوب	۳/۸۶-۳/۱۵	۱۲۵-۷۰
فرآیند خشک	۳/۴۰-۲/۸۸	۱۲۵-۱۱۰
فرآیند نیمه خشک	۳/۵-۳/۱	۱۲۵-۱۱۰

منابع انرژی ثانویه مورد استفاده در تولید سیمان گاز خروجی از کوره و گرمای حاصل از هوای داغ خروجی از خنک کننده کلینکر است.

^۱ packer

گرمای ثانویه موجود در گازهای خروجی از کوره ابتدا در پیش گرمکن (پری هیتر) و برای پیش گرم کردن مواد خام قبل از ورود آنها به کوره و آسیاب مواد خام مورد استفاده قرار می‌گیرد. همچنین از گرمای اتلافی موجود در هوای داغ خروجی از خنک کننده کلینکر برای پیش گرمایش هوای احتراق و نیز برای خشک کردن و پیش گرم کردن مواد خام قبل از ورود به آسیاب مواد و کوره بهره‌برداری می‌شود. مقادیر مصرف ویژه انرژی برای فرآیندهای مختلف تولید سیمان در شکل نشان داده شده است.



شکل (۶-۶): مقادیر مصرف ویژه انرژی برای تولید سیمان [24].

برای بهترین فن‌آوری تولید به روش خشک که در آن از پیش‌گرمکن‌های سیلکونی و $KCal/Kg$ clinker استفاده می‌شود. مصرف ویژه انرژی 3.05 MJ/Kg-Cl (حدود 700 می‌باشد. اما بهر حال برخی از کارخانجات سیمان در کشورهای در حال توسعه که هنوز از فرآیند مرطوب و فن‌آوری‌های قدیمی استفاده می‌کنند دارای مصرف ویژه انرژی تا 8 MJ/Kg-Cl هستند [12].

فهرست مراجع:

- 1 صفارزاده ج، (۱۳۹۱) "صنعت سیمان در گذر زمان (۱۳۹۰-۱۳۹۲)" جلد اول، چاپ اول، مرکز آموزش نیروی انسانی شرکت سیمان آبیک، تهران.
- 2 چهرگانی ح، (۱۳۹۱) "گزارشی از صنعت سیمان به مناسبت پایان سال ۱۳۹۰" **ماهnamه علمی - تخصصی فن آوری سیمان**، شماره ۴۹، ص ۵۱.
- 3 International Cement Review. (2011). "The Global Cement Report" **International Cement Review**, USA, 1th edition, pp 83.
- 4 امینی ی، (۱۳۹۰) "هزینه های انرژی و راه های بروز رفت از آن" **فناوری سیمان**، ۴۸، ص ۳۳
- 5 کریمی نیا غ، امینی ف، (۱۳۹۲) "تراز نامه انرژی سال ۱۳۹۰" جلد اول، چاپ اول، وزارت نیرو معاونت امور برق و انرژی، تهران، ص ۴۶
- 6 European Commission. (2010). "Reference document on best available techniques in the: cement and lime manufacturing industries". **Integrated Pollution Prevention and Control (IPPC)**, pp 44.
- 7 IEA. (2009). "Energy Technology Transitions for Industry". **Strategies for the Next Industrial Revolution**. Paris. pp 77.
- 8 World Business Council for Sustainable Development. (2009). "Cement Technology Roadmap 2009". **International Energy Agency**. Paris. pp 26.
- 9 Rasul M. G. Widianto W. & Mohanty B. (2005). "Assessment of the thermal performance and energy conservation opportunities of a cement industry in Indonesia". **Applied thermal engineering**. 25, 17, 2950-2965.
- 10 Schneider M. Romer M. Tschudin M. & Bolio H. (2011). "Sustainable cement production-present and future" **Cement and Concrete Research**, 41,7, pp 642-650.

- 11 Utlu Z. Sogut Z. Hepbasli A. & Oktay Z. (2006). "Energy and exergy analyses of a raw mill in a cement production". **Applied Thermal Engineering**, 26, 17, 2479-2489.
- 12 شفیعی م ، سبوحی ای، (۱۳۸۱)" مطالعات جامع انرژی در صنایع بشدت انرژی بر " پژوهشکده علوم و فناوری انرژی دانشگاه صنعتی شریف، تهران.
- 13 Khurana S. Banerjee R. & Gaitonde U. (2002). "Energy balance and cogeneration for a cement plant". **Applied Thermal Engineering**, 22, 5, 485-494.
- 14 Engin, T. & Ari V. (2005). "Energy auditing and recovery for dry type cement rotary kiln systems—A case study". **Energy Conversion and Management**, 46, 4, 551-562.
- 15 Madlool N. A. Saidur R. Hossain M. S. & Rahim N. A. (2011). "A critical review on energy use and savings in the cement industries". **Renewable and Sustainable Energy Reviews**, 15, 4, 2042-2060.
- 16 Ziya SÖĞÜT M. (2012)." A research on exergy consumption and potential of total CO_2 emission in the Turkish cement sector". **Energy Conversion and Management**, 56, 37-45.
- 17 عرب ق، کاظم زاده حنانی س، (۱۳۸۴)" تحلیل اگزرزی یک کارخانه سیمان" پنجمین همایش ملی انرژی، ۵.
- 18 Avami A. & Sattari S. (2007). "Energy conservation opportunities: cement industry in Iran". **International journal of Energy**, 1, 3, 65-71.
- 19 Worrell E. Martin N. & Price L. (2000)."Potentials for energy efficiency improvement in the US cement industry". **Energy**. 25, 12, 1189-1214.
- 20 Hasanbeigi A. Menke C. & Therdyothin, A. (2010). "The use of conservation supply curves in energy policy and economic analysis: the case study of Thai cement industry". **Energy Policy**, 38, 1, 392-405.
- 21 Legmann H. (2002). "Recovery of industrial heat in the cement industry by means of the ORC process". **Cement Industry Technical Conference**. IEEE-IAS/PCA 44, pp 29-35.

- 22 Wang J. Dai Y. & Gao L. (2009). "Exergy analyses and parametric optimizations for different cogeneration power plants in cement industry". **Applied Energy**, 86, 6, 941-948.
- 23 طائب ع، کوهی ف، (۱۳۷۷) "کتاب سیمان" جلد اول، چاپ دوم، انتشارات مرکز تحقیقات سیمان- دانشگاه علم و صنعت، تهران.
- 24 پایدار اردکانی ا، (۱۳۷۲) "سوخت در صنعت سیمان" جلد اول، چاپ اول، بخش آموزش مجتمع صنعتی سیمان آبیک، تهران، ص ۴۹.
- 25 Moran M. J. Shapiro H. N. Boettner D. D. & Bailey M. (2010), "**Fundamentals of engineering thermodynamics**", 7th edition, Wiley, UK. pp 300.
- 26 Peray, K. E. (1979). "**Cement manufacturer's handbook**" 1th edition, Chemical Pub, USA.
- 27 Cengel, Y. A. (2007). "**Heat & mass transfer: a practical approach**". 2th edition, Tata McGraw-Hill Education, USA.
- 28 Chen H. Goswami D. Y. & Stefanakos E. K. (2010). "A review of thermodynamic cycles and working fluids for the conversion of low-grade heat".**Renewable and Sustainable Energy Reviews**, 14, 9, 3059-3067.
- 29 صفریان بنا س، (۱۳۹۰)، پایان نامه ارشد: "ارزیابی بازیافت انرژی با استفاده از توسعه مدل سیستم انتقال گاز طبیعی"، دانشکده مهندسی انرژی، دانشگاه صنعتی شریف.
- 30 Dai Y. Wang J. & Gao L. (2009). "Parametric optimization and comparative study of organic Rankine cycle (ORC) for low grade waste heat recovery".**Energy Conversion and Management**, 50, 3, 576-582.
- 31 Tchanche B. F. Papadakis G. Lambrinos G. & Frangoudakis A. (2009)."Fluid selection for a low-temperature solar organic Rankine cycle". **Applied Thermal Engineering**, 29, 11, 2468-2476.
- 32 بهرامی م، اصغر حمیدی ع، عطایی آ، قدسی ر، (۱۳۹۲)" بررسی انرژتیک چرخه رانکین آلی برای تولید توان از حرارت‌های بازیافتی دما پایین کلکتور سهموی خطی خورشیدی با در نظر گرفتن

- ملاحظات زیست محیطی" نشریه انرژی ایران، شماره ۱، دوره ۱۶.
- 33 Zhang X. He M. & Zhang Y. (2012). "A review of research on the Kalina cycle". **Renewable and Sustainable Energy Reviews**, 16, 7, 5309-5318.
- 34 پژوهشکده علوم و فناوری انرژی شریف، (۱۳۹۰) "طرح بازیافت انرژی در کارخانه سیمان فراز فیروزکوه" پژوهشکده علوم و فناوری انرژی شریف، تهران.
- 35 Linnhoff B. & Hindmarsh E. (1983). "The pinch design method for heat exchanger networks". **Chemical Engineering Science**, 38, 5, 745-763.

Abstract

Nowadays, the use of cement in construction industry has increased significantly, in different areas such as construction of roads, buildings, bridges, harbors, silos, etc. Thus, currently cement consumption rate is known as one of the worldwide development indicators of societies especially amongst developing countries.

The aim of this project is to introduce a methodology for application of first and second laws of thermodynamics in analysis of a cement factory. In this thesis, after initial presentation of basics and underlying principles of the proposed methodology, a scheme of production of clinker in a cement factory will be introduced, and based on the aforementioned underlying principles we will analyze energy and exergy factors of each and every equipment in that factory. Using this analysis, efficiency of first and second laws of thermodynamics in every equipment will be obtained which will lead to calculation of cumulative energy and exergy efficiency of the factory. Next, a sensitivity analysis in equipments of the factory will be conducted and sensitive energy and exergy parameters of each equipment will be obtained. In the end, we have tried to evaluate the evolution and improvement rate of technologies related to cement use in construction industry using energy and exergy analysis with a focus on heat recovery systems.

Keywords: Cement Industry, WHRPG, Efficiency, Exergy